

الله
بِسْمِ اللّٰهِ الرَّحْمٰنِ الرَّحِيْمِ



دانکه‌پنجه‌شاد

دانشکده: مکانیک

گروه: طراحی جامدات

تحلیل دینامیکی استوانه جدار ضخیم تحت بار متحرک با

استفاده از تئوری تغییر شکل برشی مرتبه اول

دانشجو: مهدی اسدیان

استاد راهنما:

حمیدرضا ایپک چی

پایان نامه ارشد جهت اخذ درجه کارشناسی ارشد

تیر ماه ۱۳۸۸

دانشگاه صنعتی شهرود

دانشکده: مکانیک

گروه: طراحی جامدات

پایان نامه کارشناسی ارشد آقای مهدی اسدیان

تحلیل دینامیکی استوانه جدار ضخیم تحت بار متحرک با استفاده از تئوری تغییر شکل

برشی مرتبه اول

در تاریخ ۱۳۸۸/۴/۳۱ توسط کمیته تخصصی زیر جهت اخذ مدرک کارشناسی ارشد مورد ارزیابی

و با درجهمورد پذیرش قرار گرفت.

امضاء	اساتید مشاور	امضاء	اساتید راهنما
-----	نام و نام خانوادگی: -----	-----	نام و نام خانوادگی: دکتر حمید رضا ایپک چی
-----	نام و نام خانوادگی: -----	-----	نام و نام خانوادگی: -----

امضاء	نماینده تحصیلات تکمیلی	امضاء	اساتید داور
	نام و نام خانوادگی: دکتر حسن کیهانی		نام و نام خانوادگی: دکتر سید هادی قادری
			نام و نام خانوادگی: دکتر محمد جواد غربی
		-----	نام و نام خانوادگی: -----
		-----	نام و نام خانوادگی: -----

تشکر و قدردانی:

خداوند را سپاس که نعمت زندگی و توان را به من عطا فرمود و حرکات هرچند
اندک مرا برکت بخشید. اکنون که به یاری خداوند کارهای این پایان نامه به پایان
رسیده است و با امید به اینکه این پایان نامه، برای اینجانب شروعی مبارک بر
تلاشی مداوم برای دستیابی به افقهای جدید در این زمینه باشد، برخود لازم می
دانم که از خدمات عزیزانی که در راه انجام آن مرا یاری نمودند تشکر و قدردانی
نمایم، بویژه استاد ارجمند جناب آقای دکتر حمید رضا ایپک چی که از راهنمایی
های خالصانه ایشان در انجام این پژوهش بهرمند شدم و از جناب آقایان
دکترسید هادی قادری و دکتر محمدجواد مغربی که نظرات ارزشمندی در بهبود
این تحقیق ابراز داشتند کمال تشکر را دارم، و همچنین از جناب آقای دکتر
حسن کیهانی که در نشست بررسی این پایان نامه شرکت نمودند قدردانی می
نمایم.

دانشجو تأیید می نماید که مطالب مندرج در این پایان نامه نتیجه تحقیقات خودش می باشد و در صورت استفاده از نتایج دیگران مرجع آن را ذکر نموده است.

کلیه حقوق مادی مترتب از نتایج مطالعات، آزمایشات و نوآوری ناشی از این تحقیق موضوع این پایان نامه متعلق به دانشگاه صنعتی شاهروд می باشد.

۱۳۸۸ تیرماه

چکیده

در این تحقیق پاسخ دینامیکی یک استوانه الاستیک جدار ضخیم، تحت اثر بار متحرک مورد ارزیابی قرار گرفته است، میدان جابجایی به کمک تئوری تغییر شکل برشی مرتبه اول و معادلات حاکم بر حرکت پوسته استوانه ای جدار ضخیم با کمک اصل هامیلتون بدست آمده است. با استفاده از روش گالرکین معادلات المان محدود مساله، استخراج و به کمک تفاضلات محدود حل شده اند. با کمک نرم افزار Maple کد کامپیوتری این حل عددی نوشته و اجرا شده است. نتایج حاصل از این کد کامپیوتری با نتایج حاصل از تحلیل Abaqus مقایسه شده و تطابق خوب نتایج، نشان دهنده دقت روش انتخاب شده می باشد.

کلمات کلیدی: پاسخ دینامیکی، استوانه جدار ضخیم، بار متحرک، تئوری تغییر شکل برشی مرتبه اول، روش اجزای محدود،

فهرست

۱

پیشگفتار

فصل اول: مقدمه و تاریخچه تحقیقات

۲

۱-۱) مقدمه

۳

۲-۱) تئوریهای پوسته ها

۴

۳-۱) مرور تحقیقات انجام شده

فصل دوم: تحلیل پوسته های جدار ضخیم

۱۱

۱-۲) مقدمه

۱۱

۲-۲) تئوری تغییر شکل برشی

۱۵

۳-۲) معادلات حرکت

۱۶

۴-۲) رابطه تنש-کرنش

فصل سوم: روش ریاضی تحلیل پوسته ها

۱۹

۱-۳) روش Herrmann-Mirsky

۲۱

۲-۳) حل معادلات

۲۶

۳-۳) شرایط مرزی و پیوستگی

۲۶

۴-۳) ضریب تصحیح برشی

فصل چهارم: استفاده از روش گالرکین جهت حل معادلات حرکت

۲۹

۱-۴) مقدمه

۳۰

۲-۴) روش باقی مانده وزنی

۳۲	۴-۳) تعیین معادلات اجزای محدود به روش گالرکین
۳۹	۴-۴) بارگذاری
۴۰	۴-۵) شرایط مرزی
۴۶	فصل پنجم: روش عددی برای تحلیل دینامیکی پوسته
۴۶	(۱-۵) مقدمه
۴۶	(۲-۵) روش‌های مستقیم
۴۶	(۱-۲-۵) روش تفاضلات مرکزی
۴۷	(۲-۲-۵) سیکل تکرار دوگانه با قاعده ذوزنقه‌ای
۴۸	(۳-۵) روش‌های ضمنی
۴۸	(۱-۳-۵) روش Houbolt
۴۹	(۲-۳-۵) روش Wilson theta
۵۰	(۳-۳-۵) روش Park
۵۱	(۴-۵) کد نویسی برای نرم افزار Maple
۵۳	(۵-۵) تحلیل با Abaqus
۵۴	(۱-۵-۵) مقدمه
۵۴	(۲-۵-۵) معرفی کلی نرم افزار
۵۴	(۳-۵-۵) مدل نمودن در Abaqus
۵۸	(۶-۵) بررسی نتایج
۶۳	(۷-۵) دلایل خطأ

٦٤

فصل ششم : نتیجه گیری و پیشنهادها

٦٥

پیوست الف

٧١

فهرست مراجع

٧٤

واژگان

چکیده انگلیسی

پیشگفتار

با انجام این پایان نامه سه هدف زیر تحقق می یابد:

۱- دست یابی به روشی جهت تبدیل تحلیل سه بعدی استوانه جدار ضخیم به تحلیل در یک بعد همانند تحلیل یک میله.

۲- نوشتمن کد کامپیوتی مناسب جهت تحلیل، با استفاده از نرم افزار Maple

۳- مقایسه نتایج با انتخاب نرم افزار Abaqus، جهت اعتبار بخشیدن به نتایج حاصل از Maple

در فصل اول این پایان نامه پس از تعریف انواع تئوریهای پوسته ها، مروری بر تحقیقات مشابه انجام

شده در این زمینه آورده شده است. در فصل دوم مطابق با تئوری تغییر شکل بر شی مرتبه اول میدان

جابجایی تعریف شده و سپس با کمک از اصل هامیلتون معادلات حرکت پوسته استوانه ای جدار

ضخیم حاصل می گردد که در انتهای این فصل در جدولی بصورت مرکز آورده شده است. در فصل

سوم روش ریاضی Mirsky-Herrmann جهت حل معادلات حرکت پوسته استوانه ای جدار ضخیم

توضیح داده شده است. در فصل چهارم با استفاده از روش گالرکین معادلات اجزاء محدود پوسته بر

[M]{\ddot{x}} + [K]{X} = \{F(t)\} اساس روابط Mirsky-Herrmann استخراج شده و بصورت کلی

تبدیل شده اند. با تعریف شرایط مرزی پوسته که دو سرگیردار می باشد، نوع بار اعمالی به پوسته

یعنی بار پله ای، مقادیر ماتریس‌های جرم [M] و سختی [K] و بردار نیرو \{F(t)\} جهت این مسئله

بدست آورده شده است. در فصل پنجم در ابتدا روش‌های مختلف حل عددی جهت حل معادلات بیان

شده، سپس با انتخاب روش عددی تفاضلات مرکزی کد کامپیوتی جهت استفاده در نرم افزار

نوشته شده است سپس با انتخاب نرم افزار Abaqus، نتایج با یکدیگر مقایسه و مورد تحلیل Maple

قرار گرفته شده است، که تطابق خوب نتایج نشان دهنده صحت روش بکار گرفته شده می باشد.

پیشگفتار

با انجام این پایان نامه سه هدف زیر تحقق می یابد:

۱- دست یابی به روشی جهت تبدیل تحلیل سه بعدی استوانه جدار ضخیم به تحلیل در یک بعد همانند تحلیل یک میله.

۲- نوشتمن کد کامپیوترا مناسب جهت تحلیل، با استفاده از نرم افزار Maple

۳- مقایسه نتایج با انتخاب نرم افزار Abaqus، جهت اعتبار بخشیدن به نتایج حاصل از Maple

در فصل اول این پایان نامه پس از تعریف انواع تئوریهای پوسته ها، مروری بر تحقیقات مشابه انجام

شده در این زمینه آورده شده است. در ادامه در فصل دوم مطابق با تئوری تغییر شکل بر Shi مرتبا

اول میدان جابجایی تعریف شده و سپس با کمک از اصل هامیلتون معادلات حرکت پوسته استوانه ای

جدار ضخیم حاصل می گردد که در انتهای این فصل در جدولی بصورت متمرکز آورده شده است. در

فصل سوم روش ریاضی Mirsky-Herrmann جهت حل معادلات حرکت پوسته استوانه ای جدار

ضخیم توضیح داده شده است. در ادامه در فصل چهارم با استفاده از روش گالرکین معادلات اجزاء

محدود پوسته بر اساس روابط Mirsky-Herrmann استخراج شده و بصورت کلی

$$[M]\{\ddot{x}\} + [K]\{X\} = \{F(t)\}$$
 تبدیل شده اند. با تعریف شرایط مرزی پوسته که دو سرگیردار می باشد،

نوع بار اعمالی به پوسته یعنی بار پله ای، مقادیر ماتریس‌های جرم $[M]$ و سختی $[K]$ و بردار نیرو

$\{F(t)\}$ جهت این مسئله بدست آورده شده است. در فصل پنجم در ابتدا روش‌های مختلف حل عددی

جهت حل معادلات بیان شده، سپس با انتخاب روش عددی تفاضلات مرکزی کد کامپیوترا جهت

استفاده در نرم افزار Maple نوشته شده است. سپس با انتخاب نرم افزار Abaqus، نتایج با یکدیگر

مقایسه و مورد تحلیل قرار گرفته شده است، که تطابق خوب نتایج نشان دهنده صحت روش بکار

گرفته شده می باشد.

۱-۱ مقدمه :

اگرچه بررسی و مطالعه بروی رفتار دینامیکی پوسته استوانه‌ای الاستیک بیش از چند قرن سابقه دارد، اما تحقیق بروی متن‌های مختلف این امر را آشکار می‌سازد که بیشترین کار منتشر شده، در حوزه تئوری پوسته‌های استوانه‌ای جدار نازک می‌باشد، واقعیت این است که پوسته یک جسم سه بعدی است. به علت نبود حل تحلیلی برای مدل‌های سه بعدی در حالت کلی، از روش‌های تقریبی برای حل استفاده شده و گاه محققان برای ارائه حل تحلیلی مجبور به اعمال قیود خاص یا ارائه حل تحلیلی در حالات خاص هستند.

محققان با انجام آزمایشات گوناگون به این مسئله پی بردنده که استفاده از تئوری پوسته‌ی جدار نازک برای استوانه جدار ضخیم باعث بوجود آوردن خطأ در تعیین فرکانس طبیعی می‌گردد، یعنی تئوری کلاسیک پوسته جدار نازک نمی‌تواند باعث دست یافتن به دقت کافی برای حل پوسته جدار ضخیم گردد.

پوسته‌ی جدار ضخیم بطور مشخص دارای اختلافاتی با پوسته جدار نازک می‌باشد که یکی از این اختلافات در تغییر شکل برشی عرضی^۱ می‌باشد، به این معنا که در پوسته جدار ضخیم نمی‌توان اثر تغییر شکل برشی را نادیده فرض کرد.

در انواع بارهای وارد بروی پوسته جدار ضخیم، توزیع تنش شعاعی^۲ در پوسته مهم و ضروری است. از طرف دیگر در آنالیز پوسته جدار ضخیم، خیز اولیه^۳ نه تنها بروی نتایج ممان و تنش اثر می‌گذارد، بلکه باعث غیرخطی شدن توزیع تنش برشی عرضی در جهت ضخامت نیز می‌گردد. بنابراین با توجه به اختلافات گفته شده در بالا، طبیعی بنظر می‌رسد که تئوری پوسته‌های جدار نازک برای تحلیل پوسته جدار ضخیم دقت مناسبی ندارد.

¹ Transvers shear deformation.

² Radial stress.

³ Initial deflection.

۲-۱ تئوریهای پوسته ها

الف - تئوری غشائی [۱]

یک غشا می‌تواند مسطح یا خمیده باشد و مشابه ورقی است که قابلیت تحمل فشار عرضی را دارد. نیروهای غشائی کاملاً مستقل از خمش درنظر گرفته می‌شود و آن را برای پوسته‌های مختلف از قبیل پوسته فلزی - بتون مسلح - فیلم صابون و ... می‌توان بکار برد. در این تئوری فقط اثرنشاهی صفحه‌ای در نظر گرفته می‌شود.

ب - تئوری خمشی [۱]

نظریه خمشی غالباً از حل تئوری غشائی استفاده می‌کند که در نواحی دارای تأثیرات ناپیوستگی تصحیح شده است. در واقع هدف این نظریه، آنالیز تنش‌ها و کرنش‌های ناشی از نیروهای لبه‌ای و یا بارگذاری متمرکز است که با تئوری غشائی امکان پذیر نمی‌باشد.

بطور کلی روابط تئوری غشائی از تعادل پوسته بدست می‌آید و تابع جنس پوسته نیست ولی روابط تئوری خمشی محدود به پوسته همگن و ایزوتروپ می‌باشد.

ج : تئوری تغییر شکل برشی [۱]

در ورقهای ضخیم در واقع این فرض که مقاطع مسطح عمود بر صفحه میانی پس از تغییر شکل همچنان عمود بر صفحه میانی می‌مانند، در عمل صحیح نخواهد بود. با فرض اینکه خط عمود بر صفحه میانی بصورت مورب درآمده و چرخش داشته باشد ولی همچنان راست باقی بماند. می‌توان تغییر شکل را بصورت $U = u + z \cdot u$ تقریب زد که در آن u تغییر مکان صفحه میانی و z در راستای ضخامت پوسته که مبدأ آن بروی صفحه میانی قرار دارد و u چرخش می‌باشد و U نیز جابجایی است.

۱-۳ مروی بر تحقیقات انجام شده

در سال ۱۹۵۴ [۲] تئوری تغییر شکل برشی مرتبه اول^۱ را با استفاده از فاکتور ضریب تصحیح برشی بهبود بخشدید. این فاکتور بخاطر جبران خطای این فرض بود که کرنش برشی ثابت، تنش برشی ثابت در ضخامت پوسته را ایجاد می‌کند و بنابراین ناقص صفر بودن تنش برشی در سطح آزاد می‌باشد. مقدار این ضریب تصحیح برشی اغلب به خصوصیات مواد و پارامترهای فیزیکی و بارها و شرایط مرزی بستگی دارد. Reddy [۲] در ۱۹۸۴ پیشنهاد تئوری مرتبه دوم برای اصلاح وضعیت تنش برشی صفر در سطح آزاد را ارائه کرد. با تمام مطالعات و تحقیقات انجام شده، مرتبه تئوریها افزایش پیدا کرده، فرمولها پیچیده شده بودند و با اندک افزایش در ارائه دقت، محاسبات آنها برای استفاده از کار عملی نامناسب می‌شوند. در سال ۱۹۹۶ Siradas و همکارانش [۲] آزمایشی را انجام دادند که بر مبنای آن اثر فاکتور چرخش و دمپینگ برای ارتعاش آزاد پوسته استوانه‌ای جدار ضخیم بررسی شده بود. این کار با استفاده از روش اجزاء محدود و تئوری پوسته جدار ضخیم و با استفاده از نظریه تغییر شکل برشی واينرسی چرخشی انجام شد. Sivada [۲] در سال ۱۹۹۵ روش مشابهی را برای ارتعاشات آزاد یک پوسته استوانه مخروطی شکل جدار ضخیم با تنش اولیه و اثر دمپینگ به کار برد. ارتعاشات سه بعدی استوانه توپر با سطح مقطع دایره در سال ۱۸۷۶ توسط Pochhammer [۲] و در سال ۱۸۸۹ Tosschre [۲] بررسی شد که طول استوانه نامحدود فرض شده بود. در سال ۱۹۶۴ Mahan [۲] موفق به ارائه نتایج آزمایشگاهی برای فرکانس‌های طبیعی استوانه الاستیک توپر با شرایط تکیه گاهی آزاد گردید و در همان سال با روش عددی تفاضلات محدود نتایج جدیدی بدست آورد و آنها را با نتایج تجربی مورد ارزیابی قرار داد.

سال ۱۹۶۴ Johns, Bhuta [۳] سرعت رزونانس و پاسخ دینامیکی برای یک پوسته استوانه‌ای با طول نامحدود را که تحت اثر یک رینگ فشاری که با سرعت ثابت در حرکت است در هر دو جهت شعاعی و محوری مورد بررسی قرار دادند. از معادلات Timoshenko -Love جهت مدل سازی استفاده شد.

^۱ First order shear deformation theory(FSDT)

در سال ۱۹۹۰ [۴] و همکاران تحلیل یک پوسته جدار ضخیم استوانه‌ای با مقطع دایره‌ای تحت اثر بار نامتقارن با تکیه‌گاههای آزاد برای هر دو انتهای آنها را انجام دادند. آنها با استفاده از تئوریهای الاستیک سه دسته معادلات جابجایی بدست آورده و برای یک بار معین با خصوصیات و ضخامت‌های مختلف نتایج را مورد بررسی قرار دادند. آنها همگرائی نتایج بدست آمده از تحلیل خود را با نتایج تئوری کلاسیک پوسته‌ها و تئوری تغییر شکل مقایسه نمودند. در سال ۱۹۹۴ [۵] با در نظر گرفتن مدل استوانه توپر و جداسازی معادلات حرکت به دو تابع پتانسیل موج، مسئله ارتعاشات آزاد را برای شرایط مرزی در حالت نیروی برشی صفر و جابجایی محوری صفر در سطح انتهایی و تنش‌های سطحی صفر در سطح خمیده مورد ارزیابی قرار داد و فرکانس‌های ارتعاشات طبیعی بدست آورد.

در سال ۱۹۹۶ [۶] و همکاران پاسخ دینامیکی صفحات لایه‌ای ارتروپیک یک پوسته استوانه‌ای را مورد بررسی قرار داد. طول پوسته محدود و تکیه‌گاههای هر دو ابتدا و انتهای آن ساده فرض شده بود. او باتبدیل معادلات دیفرانسیل با مشتق جزئی مرتبه بالا به معادلات دیفرانسیلی معمولی، با ضرایب متغیر، بوسیله انتخاب حل بصورت سری‌های مثلثاتی در امتداد محوری و محیطی و سپس با استفاده از روش گالرکین به حل معادلات بدست آمده اقدام نمود. وی با حل عددی پوسته جدار ضخیم ارتروپیک و مقایسه نتایج حاصل با نتایج تئوری مرتبه اول تغییر شکل برشی نشان داد که این تئوری برای پوسته‌هایی با R/h بزرگتر از ۱۰ قابل قبول خواهد بود.

در سال ۱۹۹۸ [۷] اثر تقریبهای مرتبه بالای، تغییر شکل برشی بروی فرکانس طبیعی یک سیلندر استوانه‌ای جدار ضخیم را مورد مطالعه قرار داد. معادله‌های دو بعدی از اصل هامیلتون مشتق شده است. او مبنای کار را براساس بسط سری‌های توانی مؤلفه‌های جابجایی قرار داد. او در این مقاله با توجه به اطمینان از دقیقت تئوریهای ارائه شده، همگرائی فرکانس‌های طبیعی را بررسی کرده و نتایج آنرا با دیگر تئوریهای ارائه شده در این زمینه مقایسه کرد. تعیین اثر دینامیکی بار متحرک بروی سازه‌های الاستیک مخصوصاً برای پلها، یک مسئله مهم و پیچیده است و محققان زیادی جهت حل و

ارائه یک جواب قابل قبول تلاش داشته‌اند. از جمله آنها Michaltsos [۸] که پاسخ یک تیر یک دهانه تحت بار دینامیکی با سرعتهای مختلف و دامنه ثابت را مورد بررسی قرار داد. او این آزمایش را به دو روش انجام داد. در روش اول یک بار با جرم Mg روی تیر که تحت اثر نیروی اجباری $f(t)$ با سرعت $v(t)$ در حرکت است و در روش دوم یک تقریب نزدیک به ماشین که با نیروی اجباری $f(t)$ و سرعت $v(t)$ در حرکت است را مورد بررسی قرار داد. او سپس نتایج حاصل از هر دو آزمایش را با نتایج واقعی بدست آمده مقایسه نمود و مشاهده کرد نتایج بدست آمده از حالت دوم تنها $1/2$ تا $1/5$ درصد با نتایج واقعی متفاوت است.

در سال ۲۰۰۲ [۹] تیر با پهنهای ثابت تحت جرم متحرک با شتابهای مثبت و منفی را بررسی کرده است. علاوه بر بار تک محوره متتمرکز، بارهای دو محوره نیز مطالعه شده است. همچنین اثر میرایی نیز در تیر در نظر گرفته شده است.

در سال ۲۰۰۲ Wu و همکاران [۱۰] پاسخ ارتعاشات خمی شعاعی تحت بار متحرک با المان تیر خمیده^۱ را بررسی کردند. بجای توابع شکل پیچیده موجود، توابع شکل ساده‌ای که در ارتباط با جابجائی‌های چرخشی، مماسی، شعاعی المانهای تیر خمیده هستند بدست آمد. براساس روابط بین نیروهای گرهی با جابجائی‌های گرهی المان، ماتریس سختی المان تعیین شد و براساس روابط بین انرژی سینیتک و سرعتهای گرهی، ماتریس جرم مشخص شد. پس از آن بر پاسخ دینامیکی تیر دایره‌ای با خم ثابت براساس حرکت باد در امتداد محیط بحث شد. علاوه بر تیر دایره‌ای، تیرکمانی شکل ترکیبی، متتشکل از اجزای کمان دایره‌ای و دو قطعه تیر مستقیم ساده مورد مطالعه قرار گرفت. تمامی نتایج با نتایج حل اجزاء محدود براساس المان تیر مستقیم مقایسه گردید و نتایج مشابهی بدست آمد. تأثیر سرعت حرکت، نیروهای گریز از مرکز، نیروی اصطکاک بر رفتار دینامیکی تیر دایره‌ای و تیرهای ترکیبی مورد بررسی قرار گرفت.

^۱ Curved beam

Ganapathi وهمکاران [۱۱] در سال ۲۰۰۳ ارتعاشات آزاد یک پوسته کامپوزیتی استوانه‌ای غیردوار، غیر ایزوتروپ را با استفاده از تئوری تغییر شکل برشی مرتبه بالا مورد مطالعه قرار دادند. با استفاده از روش اجزاء محدود، معادلات حاکم حل شده و اثرات ضخامت، طول، پارامترهای خروج از مرکز، تعداد لایه‌ها برای یک پوسته غیردایره‌ای مورد مطالعه قرارگرفته است. با استفاده از بسط سری تیلور به عنوان تقریب حل، معادلات حاکم به فرم یک دستگاه معادلات دیفرانسیل تبدیل و حل شده است.

در سال ۲۰۰۴ Valsarajan وهمکاران [۱۲] آنالیز ارتعاشات آزاد صفحه‌های کامپوزیتی با استفاده از تئوری تغییر شکل برشی مرتبه بالا را ارائه کردند. در این تحقیق از یک مدل اجزاء محدود بر مبنای تئوری تغییر شکل برشی مرتبه سوم استفاده شده است و هدف، مطالعه رفتار خطی یا غیرخطی آنالیز ارتعاشات آزاد صفحات کامپوزیتی بوده است. آنها علت این تحقیق را کم بودن مقالات ارائه شده در آنالیز دینامیکی با دامنه بزرگ با استفاده از تئوریهای مرتبه بالا ذکر کرده‌اند و همچنین معتقد بودند اثر پارامترهای مختلف صفحه بر خطی یا غیرخطی بودن فرکانس اصلی ارتعاش تاکنون مطالعه نشده و آنها با انجام آزمایش به نتایج زیر دست یافتند. در هر دو حالت خطی یا غیرخطی با افزایش نسبت پهنا به ضخامت، فرکانسهای ارتعاشی افزایش می‌یابند؛ اثر حالت غیرخطی بودن صفحات که نسبت پهنا به ضخامت آن بزرگتر از ۴۰ باشد بخوبی قابل مشاهده است؛ همچنین وضعیت لبه‌ها نیز بر ارتعاشات فرکانسهای غیرخطی مؤثر می‌باشد. آنها از یک المان چهار گرهی جهت آنالیز ارتعاشات استفاده کردند. برای هر گره هفت درجه آزادی در نظر گرفته شده است. سپس اثر مواد ارتوتروپیک را مورد مطالعه قرار دادند و برای دو حالت متقارن و نامتقارن چیدمان لایه‌ها، به این نتیجه رسیدند که در حالت خطی با افزایش تعداد لایه‌ها مقدار فرکانس بطور تدریجی زیاد می‌شوند اما در حالت نامتقارن مقدار فرکانس بطور ناگهانی از ۲ به ۴ لایه، افزایش می‌یابد و از آن پس با یک نرخ آرام افزایش پیدا می‌کند.

در سال ۲۰۰۴ Nalchaie وهمکاران [۱۳] تحقیقی جهت بررسی فرکانسهای طبیعی یک صفحه کامپوزیتی چهارگوش با تکیه‌گاههای متفاوت در دو انتهای انجام دادند. آنها از تئوری تغییر شکل برشی

مرتبه سوم استفاده کردند. با روش گفته شده، سری جدیدی از معادلات خطی حرکت برای صفحات چندلایه‌ای را استخراج کردند. در نهایت این معادلات با روش اجزاء محدود، تحلیل و فرکانس‌های طبیعی آنها مشخص و نتایج حاصل، با نتایج صفحات تک لایه مقایسه شدند.

سال ۲۰۰۴ Valsarajan و همکاران [۱۴] رفتار صفحات کامپوزیتی را با استفاده از تئوری تغییر شکل برشی مرتبه بالا تحت بار استاتیکی و با استفاده از یک المان چهارگرهی که هر گره دارای هفت درجه آزادی است بررسی و اثرات پهنا، ضخامت صفحه، جهت فیبرها، تعداد لایه‌ها و شرایط مرزی را بر جابجائی و تنش را مطالعه کردند.

در سال ۲۰۰۴ Lepikhin و همکاران [۱۵] اثر فاکتور شدت تنش را در یک پوسته استوانه‌ای جدار ضخیم که دارای ترک است تحت بار دینامیکی مورد مطالعه قرار دادند. فرض آنها، تقارن محوری بوده و از معادلات مکانیک شکست مواد ترد استفاده کرده اند.

در سال ۲۰۰۵ Shufrin و همکاران [۱۶] تحقیقی جهت ارتعاشات صفحات با ضخامت متغیر با استفاده از تئوری تغییر شکل برشی مرتبه اول Mindline و تئوری تغییر شکل برشی مرتبه بالا Reddy انجام دادند.

Renard و همکاران [۱۷] در سال ۲۰۰۵ بررسی یک سیستم با طول نامحدود متشکل از ورقی در تماس با یک مایع را انجام داد. با سرعت ثابت مادون صوت از روی ورق عبور می‌کند. تحلیل به دو صورت ریاضی و عددی انجام شده است که در نهایت نتایج نشان دهنده همگرایی دو روش است.

Zhang و همکاران در سال ۲۰۰۶ [۱۸] مکانیزم پدیده تشدید و شرایط پدید آورنده آن را در سیستمهای پل و قطار بررسی کرده اند. تحقیقات به سه شیوه تئوری، عددی و آنالیز داده‌های تجربی انجام شده است. نتایج بیانگر این است که تشدید تحت تاثیر عرض پل، طول کل چرمگی پل، نحوه قرار گیری چرخهای قطار و همین طور فرکانس طبیعی وسیله نقلیه می‌باشد. با استفاده از نتایج این تحقیق می‌توان سرعت منجر به تشدید برای پل‌ها را محاسبه کرد.

در سال ۲۰۰۶ Teng و همکاران^۱ [۱۹] رفتار پوشش‌های FRP را بر لوله‌های استوانه‌ای فولادی، تحت فشار محوری، مورد بررسی قرار دادند. فیبر و پوشش‌های FRP بطور وسیعی برای مرز بتن‌های تقویت شده استفاده می‌گردند. آنها با این تحقیق، نشان دادند که این پوشش‌ها مقاومت چشم‌گیری را به لوله در مقابل فشار محوری اضافه نموده‌اند. آنها همچنین این پوشش را برای یک پوسته استوانه‌ای جدار نازک که تحت اثر ترکیبی از فشارهای محوری و داخلی بودند آزمایش نمودند و به این نتیجه رسیدند که این پوشش‌ها اثر بسیار خوبی در تقویت یک پوسته ضعیف مثل پایه‌های یک پل در حال ریزش دارد و می‌تواند عمر آنها را افزایش دهند.

در سال ۲۰۰۷ کنترل ارتعاشات یک تیر با تکیه‌گاه ساده تحت اثر بار متحرک با استفاده از دمپرهای ویسکوز‌توسط Museros و همکاران [۲۰] [۲۰] ارائه گردید. در این مقاله روش دیگری برای کاهش ارتعاش تشدید تیر با تکیه‌گاه ساده تحت بار متحرک بصورت عددی تخمین زده شده است. روش مورد بحث بر اساس استفاده از دمپرهای ویسکوز متصل کننده تیر حامل بار (تیراصلی) به تیر کمکی که در زیر آن قرار گرفته، می‌باشد. مطالعه نشان می‌دهد که پاسخ تشدید تیر اصلی شدیداً با این نوع وسایل کاهش می‌یابد. تیرهای اصلی که به سیستم دمپینگ مجهز شده است در معرض تحریکات سینوسی قرار می‌گیرد و بصورتی تحلیل می‌شود که دمپرهایی که پاسخ تشدید را حداقل می‌کنند مشخص شوند. به همین طریق ثابت بهینه دمپرها برای حداقل کردن ارتعاشات عمودی بدست می‌آید. این پارامترها برروی پل واقعی راه‌آهن که در معرض ترافیک قرار گرفته اعمال شده و صحت آنها برای محدوده وسیعی از سرعتها مشخص شده است. در نهایت کارآیی سازه اولیه با کارآیی سازه‌ای که با این دمپرها بهینه شده است مقایسه می‌گردد.

در سال ۲۰۰۶ Kandasamy و همکاران^۲ [۲۱] به حل عددی برنبنای روش Rayleigh-Ritz برای تحلیل یک پوسته استوانه‌ای باز با یک نیروی متغیر پرداخته‌اند. آنها با استفاده از هندسه سطح میانی و تعریف یک زاویه که انحناء لبه‌ها، طول و ضخامت را دربر می‌گیرد، یک میدان جابجایی بدست

^۱ Fibre-reinforced polymer

آوردن. برای حل از یک چند جمله‌ای مرتبه بالا استفاده نموده که در آن برای هر گره پنج درجه آزادی شامل سه مؤلفه مربوط به جابجایی در راستای مختصات قطبی و دو جابجایی دیگر مربوط به مؤلفه‌های چرخش سطح میانی بودند. معادلات حرکت به فضای حالت^۱، معادلات حاکم با استفاده از روش Runge-kutta حل و پاسخ‌گذرای پوسته با درنظر گرفتن استهلاک^۲ و بدون آن بدست آمده است.

در سال ۲۰۰۷ ملک‌زاده - کرمی - زاهدی [۲۲] بر ارتعاشات آزاد سه بعدی پوسته استوانه‌ای جدار ضخیم که روی پایه‌های الاستیک قرار گرفته‌اند تحقیقاتی را انجام دادند. آنها پاسخ محیط الاستیک را فرمول‌بندی نموده و از تئوری لایه‌ای جهت مشخص کردن معادلات حرکت و شرایط مرزی استفاده نمودند. از روش differential quadrature برای حل استفاده وجهت اعتبار بخشیدن به فرمولهای نتایج با حل دقیق و نرم‌افزار ANSYS مقایسه گردیده اند. در نهایت روابط بدست آمده برای یک پوسته جدار ضخیم تحت شرایط مرزی گوناگون و فونداسیون الاستیک، بکار برده شده و اثر برخی پارامترها، مورد بررسی قرار گرفته است.

^۱ State space.

^۲ Damping.

۱-۲ مقدمه :

در این فصل معادلات حرکت پوسته استوانه ای جدار ضخیم به کمک اصل هامیلتون به دست آورده شده است. میدان جابجایی، مطابق تئوری تغییر شکل برشی مرتبه اول فرض شده و فرضیات زیر نیز در نظر گرفته شده است.

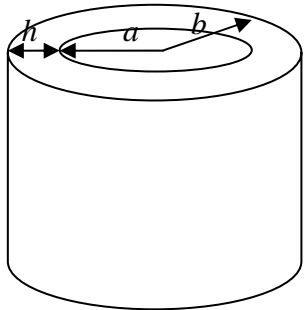
- ۱- پوسته همگن و ایزوتروپ است.
- ۲- بارگذاری بر پوسته بصورت متقارن محوری است.
- ۳- شعاع داخلی پوسته ثابت است.
- ۴- خطوط عمود بر صفحه میانی پس از تغییر شکل راست باقی مانده ولی عمود بر صفحه میانی باقی نمی مانند.

سپس معادلات حرکت به کمک روش گالرکین به شکلی مناسب برای استفاده در کد اجزای محدود، تبدیل شده است.

۲-۲ تئوری تغییر شکل برشی :

تجربه نشان می دهد تئوری Love (۱- پوسته نازک فرض می شود ۲- مقاطع عمود بر صفحه میانی پوسته بعد از تغییر شکل بصورت عمود بر صفحه میانی باقی می ماند) خیز را کمتر از مقدار واقعی و فرکانس طبیعی را بیشتر از مقدار واقعی پیش بینی می کند زیرا مطابق این نظریه از اثر برش عرضی صرفنظر می شود. کرنشهای عرضی هرچند کوچک هستند اما صفر نیستند، برای پوسته های ضخیم به ویژه در نواحی اعمال بار مرکز توزیع تنشهای برشی عرضی می تواند بزرگ باشد. با استفاده از تئوری تغییر شکل برشی مرتبه اول خیز هر نقطه ازورق $w(x,y,t)$ است. مختصات در نظر گرفته شده برای این پوسته استوانه ای بصورت (x,θ,z) می باشد که Z در جهت ضخامت پوسته، θ در جهت محیطی و X در جهت طولی پوسته است. با توجه به این که بارگذاری و هندسه مستقل از θ

می باشد مسئله متقارن محوری است، بنابراین $\frac{\partial}{\partial \theta} = 0$ است.



میدان جابجایی بصورت زیر در نظر گرفته شده است.

$$U_x = u(x, t) + z\psi_x(x, t) \quad (1-2)$$

$$U_z = w(x, t) + z\psi_z(x, t)$$

شکل ۱-۲ شماتیک پوسته

لازم به ذکر است که مطابق شکل ۱-۲ پوسته استوانه ای دارای شعاع داخلی a و شعاع خارجی b

، ضخامت پوسته $h=b-a$ بوده و شعاع میانگین $R=\frac{a+b}{2}$ است.

رابطه بین کرنش و جابجایی در مختصات استوانه ای با توجه به روابط فوق بصورت زیر است:

$$\begin{aligned} \varepsilon_{xx} &= \frac{\partial U_x}{\partial x} = \frac{\partial}{\partial x}(u + z\psi_x) = \frac{\partial u}{\partial x} + z \frac{\partial \psi_x}{\partial x} \\ \varepsilon_{\theta\theta} &= \frac{U_z}{R+z} = \frac{w}{R+z} + \frac{z\psi_z}{R+z} \end{aligned} \quad (2-2)$$

$$\gamma_{xz} = \left(\frac{\partial u_z}{\partial x} + \frac{\partial u_x}{\partial z} \right) = \frac{\partial w}{\partial x} + \psi_x + z \frac{\partial \psi_z}{\partial x}$$

$$\varepsilon_{zz} = \psi_z$$

$$\gamma_{x\theta} = 0$$

انرژی کرنشی سیستم بصورت زیر تعریف می گردد:

$$W = \frac{1}{2} \int (\sigma_{xx}\varepsilon_{xx} + \sigma_{\theta\theta}\varepsilon_{\theta\theta} + \sigma_{zz}\varepsilon_{zz} + \gamma_{xz}\sigma_{xz}) dV \quad (3-2)$$

چگالی انرژی کرنشی بصورت زیر است :

$$2W^* = \sigma_{xx}\varepsilon_{xx} + \sigma_{zz}\varepsilon_{zz} + \sigma_{\theta\theta}\varepsilon_{\theta\theta} + \sigma_{xz}\gamma_{xz} \quad (4-2)$$

با جایگذاری مقادیر از معادله (۱-۲) در معادله (۴-۲) نتیجه می شود:

$$2W^* = \sigma_{xx} \left(\frac{\partial u}{\partial x} + z \frac{\partial \psi_x}{\partial x} \right) + \sigma_{\theta\theta} \left(\frac{w}{R+z} + \frac{z}{R+z} \psi_z \right) + \sigma_{zz} \psi_z + \sigma_{xz} \left(\psi_z + \frac{\partial w}{\partial x} + z \frac{\partial \psi_z}{\partial x} \right) \quad (5-2)$$

انرژی کرنشی پوسته با انتگرال گیری بروی سطح مقطع و در امتداد $x = -l/2, l/2$ بصورت زیر به

دست می آید :

$$\frac{W}{\pi} = \int_{-l/2}^{l/2} [RN_{xx} \frac{\partial u}{\partial x} + RM_{xx} \frac{\partial \psi_x}{\partial x} + N_{\theta\theta}w + M_{\theta\theta}\psi_z + RN_{xx}\psi_z + RQ_x(\psi_x + \frac{\partial w}{\partial x}) + RM_{xz}\frac{\partial \psi_x}{\partial x}] dx \quad (6-2)$$

و یا :

$$\frac{\delta W}{2\pi} = \int_{-l/2}^{l/2} [RN_{xx}\delta \frac{\partial u}{\partial x} + RM_{xx}\delta \frac{\partial \psi_x}{\partial x} + N_{\theta\theta}\delta w + M_{\theta\theta}\delta \psi_z + RN_{xx}\delta \psi_z + RQ_x\delta(\psi_x + \frac{\partial w}{\partial x}) + RM_{xz}\delta \frac{\partial \psi_z}{\partial x}] dx \quad (7-2)$$

که منتجه های تنش بشرح زیر است :

$$N_{zz} = \int_{-h/2}^{h/2} \sigma_{zz} (1 + \frac{z}{R}) dz$$

$$M_{\theta\theta} = \int_{-h/2}^{h/2} \sigma_{\theta\theta} \cdot z \cdot dz$$

$$N_{xx} = \int_{-h/2}^{h/2} \sigma_{xx} (1 + \frac{z}{R}) dz$$

$$N_{\theta\theta} = \int_{-h/2}^{h/2} \sigma_{\theta\theta} dz$$

$$Q_x = \int_{-h/2}^{h/2} \sigma_{xz} (1 + \frac{z}{R}) dz$$

$$M_{xx} = \int_{-h/2}^{h/2} \sigma_{xx} (1 + \frac{z}{R}) z dz$$

$$M_{xz} = \int_{-h/2}^{h/2} \sigma_{xz} (1 + \frac{z}{R}) z dz$$

چگالی انرژی جنبشی T^* بصورت زیر تعریف می شود:

$$T^* = \frac{1}{2} \rho [(\frac{\partial U_x}{\partial t})^2 + (\frac{\partial U_z}{\partial t})^2] \quad (9-2)$$

با جایگذاری معادله (۲-۱) در معادله (۹-۲)، انرژی جنبشی به صورت زیر تبدیل خواهد شد :

$$\frac{\bar{T}}{\pi} = \int_{-\frac{h}{2}}^{\frac{h}{2}} \rho \left[\left(\frac{\partial}{\partial t} \left(u + z \frac{\partial \psi_x}{\partial x} \right) \right)^2 + \left(\frac{\partial}{\partial t} \left(w + z \frac{\partial \psi_z}{\partial z} \right) \right)^2 \right] dV \quad (10-2)$$

با انجام عملیات ریاضی برای معادله فوق نتیجه می شود :

$$\begin{aligned} \frac{\bar{T}}{\pi} = & \int_{-\frac{h}{2}}^{\frac{h}{2}} \rho \left[Rh \left(\frac{\partial u}{\partial t} \right)^2 + Rh \left(\frac{\partial w}{\partial t} \right)^2 + \frac{h^2}{6} \left(\frac{\partial u}{\partial t} \right) \left(\frac{\partial \psi_x}{\partial t} \right) + \right. \\ & \left. + \frac{h^3}{6} \left(\frac{\partial w}{\partial t} \right) \left(\frac{\partial \psi_z}{\partial t} \right) + \frac{Rh^3}{12} \left(\frac{\partial \psi_x}{\partial t} \right)^2 + \frac{Rh^3}{12} \left(\frac{\partial \psi_z}{\partial t} \right)^2 \right] dx \end{aligned} \quad (11-2)$$

و تغییرات آن:

$$\begin{aligned} \frac{\delta \bar{T}}{2\pi} = & \int_{-\frac{h}{2}}^{\frac{h}{2}} \rho \left[Rh \left(\frac{\partial u}{\partial t} \right) \delta \left(\frac{\partial u}{\partial t} \right) + Rh \left(\frac{\partial w}{\partial t} \right) \delta \frac{\partial w}{\partial t} + \frac{h^3}{12} \left(\frac{\partial u}{\partial t} \right) \delta \left(\frac{\partial \psi_x}{\partial t} \right) + \frac{h^3}{12} \left(\frac{\partial \psi_x}{\partial t} \right) \delta \left(\frac{\partial u}{\partial t} \right) \right. \\ & \left. + \frac{h^3}{12} \left(\frac{\partial w}{\partial t} \right) \delta \left(\frac{\partial \psi_z}{\partial t} \right) + \frac{h^3}{12} \left(\frac{\partial \psi_z}{\partial t} \right) \delta \left(\frac{\partial w}{\partial t} \right) + \frac{Rh^3}{12} \left(\frac{\partial \psi_x}{\partial t} \right) \delta \left(\frac{\partial \psi_x}{\partial t} \right) + \frac{Rh^3}{12} \left(\frac{\partial \psi_z}{\partial t} \right) \delta \left(\frac{\partial \psi_z}{\partial t} \right) \right] dx \end{aligned} \quad (12-2)$$

چنانچه f_x و f_z نیروهای خارجی بر واحد سطح روی سطح مرزی پوسته باشد در اینصورت کار

نیروهای خارجی عبارتست از :

$$\delta W_s = \iint_s (f_x \delta u_x + f_z \delta u_z) ds \quad (13-2)$$

حال با انتگرال گیری روی سطح پوسته می توان کارخارجی را بدست آورد. حدود انتگرال گیری روی سطح در جهت z از $-h/2$ تا $h/2$ و در جهت x از $-l/2$ تا $l/2$ قابل بررسی است بنابراین:

$$\delta W_s = 2\pi R \int_{-\frac{h}{2}}^{\frac{h}{2}} (F_x \delta u + m_x \delta \psi_x + q \delta w + m_z \delta \psi_z) dx + (2\pi r [N_{xx}^* \delta u + M_{xx}^* \delta \psi_x + Q_x^* \delta w + M_{xz}^* \delta \psi_z])_{x=-\frac{h}{2}}^{x=\frac{h}{2}}$$

$$\begin{aligned} F_x &= f_x \left(1 + \frac{z}{R} \right) \Big|_{z=-\frac{h}{2}}^{z=\frac{h}{2}} & N_{xx}^* &= \int_{-\frac{h}{2}}^{\frac{h}{2}} f_x \left(1 + \frac{z}{R} \right) dz \\ m_x &= f_x z \left(1 + \frac{z}{R} \right) \Big|_{z=-\frac{h}{2}}^{z=\frac{h}{2}} & M_{xx}^* &= \int_{-\frac{h}{2}}^{\frac{h}{2}} f_x z \left(1 + \frac{z}{R} \right) dz \end{aligned} \quad (14-2)$$

$$q = f_z \left(1 + \frac{z}{R}\right) \Big|_{z=-\frac{h}{2}}^{z=\frac{h}{2}} \quad Q_{xz}^* = \int_{-\frac{h}{2}}^{\frac{h}{2}} f_z \left(1 + \frac{z}{R}\right) dz$$

$$m_z = f_z \cdot z \left(1 + \frac{z}{R}\right) \Big|_{z=-\frac{h}{2}}^{\frac{h}{2}} \quad M_{xz}^* = \int_{-\frac{h}{2}}^{\frac{h}{2}} f_z \cdot z \left(1 + \frac{z}{R}\right) dz$$

که f_x تنش شعاعی و f_z تنش محوری است.

۳-۲ معادلات حرکت

اصل هامیلتون بصورت مقابله تعریف می شود :

$$\delta \int_{t_1}^{t_2} L dt = 0 \quad (15-2)$$

که :

$$\delta \bar{L} = \delta \bar{T} - \delta W + \delta W_s \quad (16-2)$$

بعد از انتگرال گیری جزئی جملات نتیجه می شود :

$$\begin{aligned} \delta \bar{L} &= \int_{-\frac{h}{2}}^{\frac{h}{2}} \int_{t_1}^{t_2} 2\pi \left[\left(-Rh\rho \ddot{u} - \frac{\rho h^3}{12} \psi_x' + RN_{xx}' + RF_x \right) \delta u - \left(-\frac{\rho h^3}{12} \dot{u} - \right. \right. \\ &\quad \left. \left(R \frac{\rho h^3}{12} \psi_x' - RQ_x + RM_{xx}' + Rm_x \right) \delta \psi_x + \left(-Rh\rho \dot{w} - \frac{\rho h^3}{12} \psi_x \right. \right. \\ &\quad \left. \left. - N_{\theta\theta} + RQ_x' + Rq \right) \delta w + \left(-R \frac{\rho h^3}{12} \psi_x' - \frac{\rho h^3}{12} \dot{w} - M_{\theta\theta} - RN_{zz} + RM_{xx}' \right. \right. \\ &\quad \left. \left. + Rm_z \right) \delta \psi_z \right] dx + 2\pi R \left[(N_{xx}^* - N_{xx}) \delta u + (M_{xx}^* - M_{xx}) \delta \psi_x \right. \\ &\quad \left. (Q_x^* - Q_x) \delta w + (M_{xz}^* - M_{xz}) \psi_z \right]_{x=-\frac{h}{2}}^{x=\frac{h}{2}} = 0 \end{aligned} \quad (17-2)$$

که در فرمول بالا علامت دو نقطه (...) مربوط به مشتق زمانی و علامت پریم (') مربوط به مشتق مکانی می باشد. برای مقادیر اختیاری ، δw و $\delta \psi_z$ δu و $\delta \psi_x$ باید ضرایب آنها مساوی صفر باشد بنابراین چهار معادله حرکت بر حسب منتجه تنش بصورت زیر بدست می آید:

$$\begin{aligned}
 N_{xx}' + F_x &= \rho h (\ddot{u} + \frac{h^2}{12R} \psi_x) \\
 M_{xx}' - Q_x + m_x &= \frac{\rho h^3}{12} (\psi_x + \frac{1}{R} \ddot{u}) \\
 Q_x' - \frac{N_{\theta\theta}}{R} + q &= \rho h (\ddot{w} + \frac{h^2}{12R} \psi_z) \\
 M_{xz}' - N_{zz} - \frac{M_{\theta\theta}}{R} + m_z &= \frac{\rho h^3}{12} (\psi_z + \frac{1}{R} \ddot{w})
 \end{aligned} \tag{18-۲}$$

جهت استفاده و کاربرد نیروی F نظریه یکتاتی نیومن جهت اختصاص دادن شرایط مرزی و شرایط

اولیه استفاده می شود براساس این نظریه :

الف) در هر انتهای پوسته حاصل هر کدام از $N_{xx}u$ و $M_{xz}\psi_x$ و $M_{xx}\psi_x$ و Q_xw باید معین و مشخص باشد.

ب) جابجایی و سرعتهای اولیه باید مشخص باشد.

۴-۲ رابطه تنش - کرنش :

رابطه میان تنش و کرنش پوسته را می توان با استفاده از قانون هوک بیان کرد.

برای یک جسم ایزوتروپیک:

$$\sigma_{xx} = (\lambda + 2\mu)\varepsilon_{xx} + \lambda(\varepsilon_{\theta\theta} + \varepsilon_{zz}) \tag{19-۲}$$

$$\sigma_{\theta\theta} = (\lambda + 2\mu)\varepsilon_{\theta\theta} + \lambda(\varepsilon_{xx} + \varepsilon_{zz})$$

$$\sigma_{zz} = (\lambda + 2\mu)\varepsilon_{zz} + \lambda(\varepsilon_{xx} + \varepsilon_{\theta\theta})$$

$$\sigma_{xz} = \mu \gamma_{xz}$$

که λ و μ ثابت‌های لامه هستند.

با قرار دادن کرنشهای بدست آمده در معادلات (۱۹-۲) و جایگزینی آنها در عبارات مربوط به منتجه

های تنش (۸-۲) و انتگرال گیری، نتیجه می شود:

$$N_{xx} = (\lambda + 2\mu)h(u' + \frac{h^2}{12R}\psi_x') + \lambda h(\psi_z + \frac{w}{R})$$

$$M_{xx} = \frac{(\lambda + 2\mu)h^3}{12R}(u' + R\psi_x') + \frac{\lambda h^3}{6R}\psi_z$$

$$N_{\theta\theta} = (\lambda + 2\mu)(\alpha w + \beta\psi_z) + \lambda h(u' + \psi_z)$$

$$M_{\theta\theta} = (\lambda + 2\mu)(\beta w + \eta\psi_z) + \frac{\lambda h^3}{12}\psi_x'$$

$$N_{zz} = (\lambda + 2\mu)h\psi_z + \lambda h(u' + \frac{w}{R} + \frac{h^3}{12R}\psi_x') \quad (20-2)$$

$$Q_x = \kappa^2 \mu h(\psi_x + w' + \frac{h^3}{12R}\psi_z')$$

$$M_{xz} = \kappa^2 \frac{\mu h^3}{12R}(\psi_x + w' + R\psi_z')$$

که در آن κ ضریب تصحیح برشی^۱ می باشد و

$$\alpha = \int_{-\frac{h}{2}}^{\frac{h}{2}} \frac{dz}{R+z} = \log \frac{1+h/2R}{1-h/2R} \quad \beta = \int_{-\frac{h}{2}}^{\frac{h}{2}} \frac{zdz}{R+z} = h - R\alpha \quad \eta = \int_{-\frac{h}{2}}^{\frac{h}{2}} \frac{z^2 dz}{R+z} = \alpha R^2 - Rh$$

(21-2)

و با جایگذاری منتجه های تنش در رابطه (18-2)، معادلات حاکم بر حسب جابجایی بصورت زیر بدست

می آید:

¹ Shear Coefficient

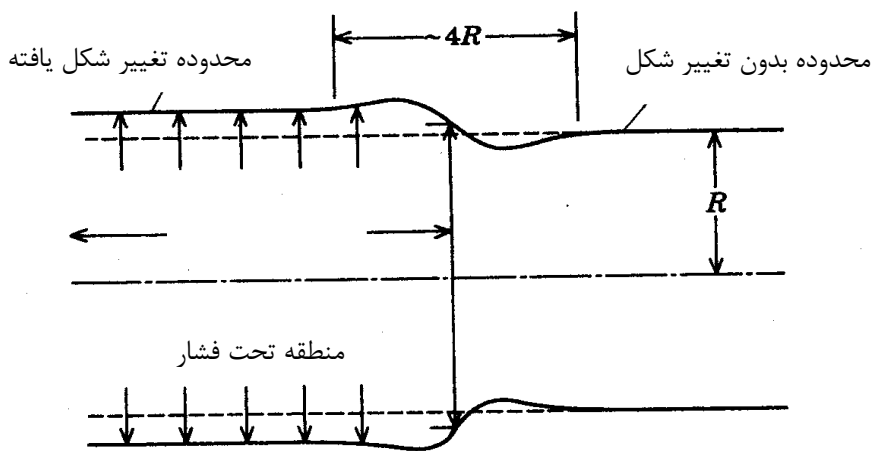
جدول (۱-۲) معادلات حرکت پوسته

$U_x(x, t)$	$\psi_x(x, t)$	$w(x, t)$	$\psi_z(x, t)$	
$(\lambda + 2\mu) \frac{\partial^2}{\partial x^2}$ $- \rho \frac{\partial^2}{\partial t^2}$	$[(\lambda + 2\mu) \frac{\partial^2}{\partial x^2}$ $- \rho \frac{\partial^2}{\partial t^2}] \frac{h^2}{12R}$	$\frac{\lambda}{R} \frac{\partial}{\partial x}$	$\lambda \frac{\partial}{\partial x}$	$\frac{f_x}{h}$
$\left[\begin{array}{l} (\lambda + 2\mu) \frac{\partial^2}{\partial x^2} - \\ \rho \frac{\partial^2}{\partial t^2} \end{array} \right] \frac{h^2}{12R}$	$(\lambda + 2\mu) \frac{h^2}{12} \frac{\partial^2}{\partial x^2}$ $- \rho \frac{h^2}{12} \frac{\partial^2}{\partial t^2} - \kappa^2 \mu$	$-\kappa^2 \mu \frac{\partial}{\partial x}$	$(2\lambda - \kappa^2 \mu) \frac{h^2}{12R} \frac{\partial}{\partial x}$	$\frac{m_x}{h}$
$-\frac{\lambda}{R} \frac{\partial}{\partial x}$	$\kappa^2 \mu \frac{\partial}{\partial x}$	$\kappa^2 \mu \frac{\partial^2}{\partial x^2}$ $- \frac{(\lambda + 2\mu)\alpha}{Rh}$ $- \rho \frac{\partial^2}{\partial t^2}$	$\frac{\kappa^2 h^2 \mu}{12R} \frac{\partial^2}{\partial x^2}$ $- \frac{(\lambda + 2\mu)\beta}{Rh}$ $- \frac{h^2}{12R} \frac{\partial^2}{\partial t^2}$	$\frac{q}{h}$
$-\lambda \frac{\partial}{\partial x}$	$-\frac{(2\lambda - \kappa^2 \mu)h^2}{12R} \frac{\partial}{\partial x}$	$\frac{\kappa^2 h^2 \mu}{12R} \frac{\partial^2}{\partial x^2}$ $- \frac{(\lambda + 2\mu)\beta}{Rh}$ $- \frac{h^2}{12R} \frac{\partial^2}{\partial t^2}$	$\frac{\kappa^2 h^2 \mu}{12R} \frac{\partial^2}{\partial x^2}$ $(\lambda + 2\mu) \left(1 + \frac{\eta}{Rh}\right)$ $- \rho \frac{h^2}{12} \frac{\partial^2}{\partial t^2}$	$\frac{m_z}{h}$

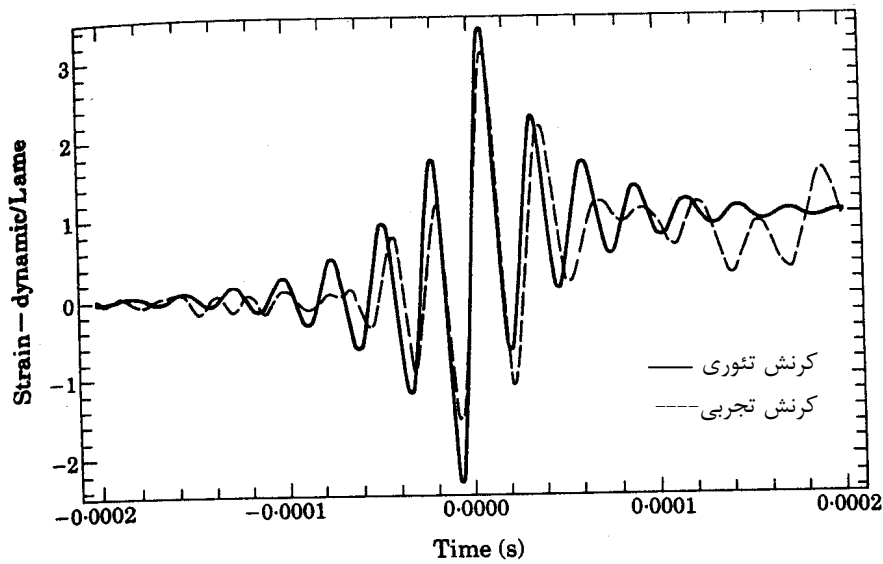
[۲۴] Herrmann-Mirsky ۱-۳ روش

یکی از کاربردهای این روش، بررسی حرکت گلوله در لوله می باشد. با توجه به اینکه محدوده اثر فشار در پشت گلوله با زمان در حال افزایش است، می توان آن را یک بار متحرک گستردۀ دانست.

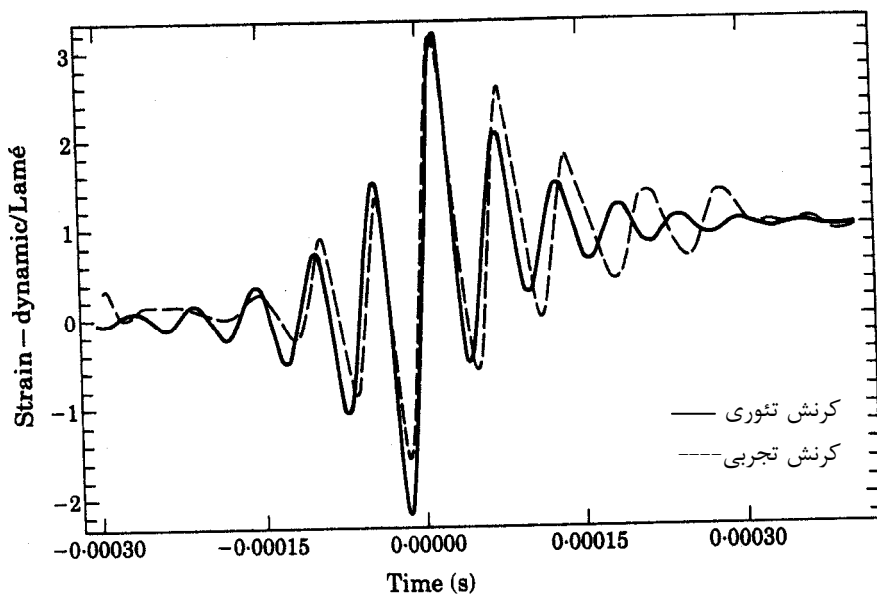
تجربه نشان می دهد که کرنشهای ایجاد شده در مخازن تحت بار متحرک با سرعت بالا تقریباً سه برابر بیشتر از آن چیزی است که در حالت استاتیکی وجود دارد. برای درک بهتر مسئله در شکل (۱-۳) کرنشهای در یک مخزن به طول 60 میلیمتر نشان داده شده است. در شکل، کرنش به شکل یک نوسان شدید در نزدیکی لحظه صفر (جایی که فشار در حال عبور از آن نقطه است) مشخص است. در شکل‌های (۲-۳) و (۳-۳) مقادیر کرنشهای نسبت به مقدار استاتیکی و در محدوده زمان کوچک نشان داده شده است. میزان تغییر شکل در جداره مخزن در منطقه فشار، به مقدار ماکزیمم میرسد بصورت مشابه در قسمتی که هنوز فشار به آن وارد نمی شود، پس از یک فاصله کوتاه، مقدار تغییر شکل صفر است. کلیه این فرایند در محدوده ای تقریباً چهار برابر شعاع متوسط مخزن اتفاق می افتد که در شکل (۱-۳) مشخص شده است.



شکل (۱-۳) تغییر شکل پوسته تحت فشار متحرک [۲۴]



شکل (۲-۳) مقایسه بین کرنش تئوری و کرنش تجربی در یک لوله توپ ۶۰ میلیمتری [۲۴]



شکل (۳-۳) مقایسه بین کرنش تئوری و کرنش تجربی در یک لوله توپ ۱۲۰ میلیمتری [۲۴]

۲-۳ حل معادلات [۲۴]:

برای حل معادلات از روش حل موج با تغییر متغیر زیر استفاده می شود.

$$\begin{bmatrix} u \\ \psi_x \\ w \\ \psi_z \end{bmatrix} = \begin{bmatrix} A \\ B \\ C \\ D \end{bmatrix} e^{-i\alpha(x-vt)} \quad \xi = x - vt \quad (1-3)$$

با حل اولین معادله از دستگاه هرمن-میرسکی و مساوی صفر قرار دادن آن:

$$(\lambda + 2\mu) \frac{\partial^2 u}{\partial x^2} - \rho \frac{\partial^2 u}{\partial t^2} + \frac{h^2}{12R} \left[(\lambda + 2\mu) \frac{\partial^2 \psi_x}{\partial x^2} - \rho \frac{\partial^2 \psi_x}{\partial t^2} \right] + \frac{\lambda}{R} \frac{\partial w}{\partial x} + \lambda \frac{\partial \psi_z}{\partial x} = 0 \quad (2-3)$$

با اعمال تغییر متغیر و تبدیل متغیرها به ξ :

$$[(\lambda + 2\mu) - \rho V^2] \frac{\partial^2 u}{\partial \xi^2} + \frac{h^2}{12R} [(\lambda + 2\mu) - \rho] \frac{\partial^2 \psi_x}{\partial \xi^2} + \frac{\lambda}{R} \frac{\partial w}{\partial \xi} + \lambda \frac{\partial \psi_z}{\partial \xi} = 0 \quad (3-3)$$

با انتگرال گیری نسبت به ξ

$$[(\lambda + 2\mu)h - \rho h V^2] \left(\frac{\partial u}{\partial \xi} + \frac{h^2}{12R} \frac{\partial \psi_x}{\partial \xi} \right) + \lambda h \left(\psi_z + \frac{w}{R} \right) = C \quad (4-3)$$

که C ثابت انتگرال است.

با در نظر گرفتن:

$$N_{xx} = [(\lambda + 2\mu)h \left(\frac{\partial u}{\partial \xi} + \frac{h^2}{12R} \frac{\partial \psi_x}{\partial \xi} \right) + \lambda h \left(\psi_z + \frac{w}{R} \right)] \quad (5-3)$$

اگر مقدار سرعت از سرعت موج های طولی خیلی کوچکتر باشد:

$$V \ll \sqrt{\frac{(\lambda + 2\mu)}{\rho}} \quad (6-3)$$

در این صورت $N_{xx} = C$ با توجه به اینکه در راستای تنفس صفر است $C = 0$

با استخراج مقادیر زیر از معادله اول:

$$\frac{\partial u}{\partial \xi} = \frac{-\lambda h \left(\psi_z + \frac{w}{R} \right)}{[(\lambda + 2\mu)h - \rho h V^2]} - \left(\frac{h^2}{12R} \frac{\partial \psi_x}{\partial \xi} \right) \quad (7-3)$$

$$\frac{\partial^2 u}{\partial \xi^2} = \frac{-\lambda h \left(\frac{\partial \psi_x}{\partial \xi} + \frac{1}{R} \frac{\partial w}{\partial \xi} \right)}{[(\lambda + 2\mu)h - \rho h V^2]} - \left(\frac{h^2}{12R} \frac{\partial^2 \psi_x}{\partial \xi^2} \right) \quad (8-3)$$

با در نظر گرفتن تبدیلات زیر:

$$()_{tt} = V^2 ()_{\xi\xi}, ()_x = ()_\xi, ()_{xx} = ()_{\xi\xi} \quad (9-3)$$

و با جایگذاری در سه معادله دیگر:

$$\left[(\lambda + 2\mu) \frac{\partial^2 \psi_x}{\partial x^2} - \rho \frac{\partial^2 \psi_x}{\partial t^2} \right] \frac{h^2}{12} - \kappa^2 \mu \psi_x - \kappa^2 \mu \frac{\partial w}{\partial x} + (2\lambda - \kappa^2 \mu) \frac{h^2}{12R} \frac{\partial \psi_x}{\partial x} = 0$$

$$(10-3)$$

$$\kappa^2 \mu \frac{\partial \psi_x}{\partial x} + \kappa^2 \mu \frac{\partial^2 w}{\partial x^2} - (\lambda + 2\mu) \frac{\sigma}{Rh} w - \rho \frac{\partial^2 w}{\partial t^2} + \frac{\kappa^2 \mu h^2}{12R} \frac{\partial^2 \psi_z}{\partial x^2}$$

$$- (\lambda + 2\mu) \frac{h^2}{12R} \frac{\beta}{Rh} \psi_z - \frac{\lambda}{R} \psi_z - \frac{\rho h^2}{12R} \frac{\partial^2 \psi_z}{\partial t^2} = 0$$

$$(11-3)$$

$$-(\kappa^2 \mu - 2\lambda) \frac{h^2}{12R} \frac{\partial \psi_x}{\partial x} + \frac{\kappa^2 \mu h}{12R} \frac{\partial^2 w}{\partial x^2} - (\lambda + 2\mu) \frac{\beta}{Rh} w - \frac{\lambda}{R} w - \frac{\rho h^2}{12R} \frac{\partial^2 w}{\partial t^2}$$

$$\frac{\kappa^2 \mu h}{12} \frac{\partial^2 \psi_z}{\partial x^2} - (\lambda + 2\mu) \left(1 + \frac{\eta}{Rh} \right) \psi_z - \frac{\rho h^2}{12} \frac{\partial^2 \psi_z}{\partial t^2} = 0 \quad (12-3)$$

با تبدیل مشتقات نسبت به t , X به مشتقات نسبت به ξ و جایگذاری در معادلات:

$$\left[(\lambda + 2\mu - \rho V^2) \frac{h^2}{12} \frac{\partial^2 \psi_x}{\partial \xi^2} \right] - \kappa^2 \mu \psi_x - \kappa^2 \mu \frac{\partial w}{\partial \xi} + (2\lambda - \kappa^2 \mu) \frac{h^2}{12R} \frac{\partial \psi_x}{\partial \xi} = 0 \quad (13-3)$$

$$-(\kappa^2 \mu - 2\lambda) \frac{h^2}{12R} \frac{\partial \psi_x}{\partial \xi} + \frac{\kappa^2 \mu h}{12R} \frac{\partial^2 w}{\partial \xi^2} - (\lambda + 2\mu) \frac{\beta}{Rh} w - \frac{\lambda}{R} w - \frac{\rho h^2}{12R} \frac{\partial^2 w}{\partial \xi^2} \\ \frac{\kappa^2 \mu h}{12} \frac{\partial^2 \psi_z}{\partial \xi^2} - (\lambda + 2\mu) \left(1 + \frac{\eta}{Rh} \right) \psi_z - \frac{\rho h^2}{12} \frac{\partial^2 \psi_z}{\partial \xi^2} = 0 \quad (14-3)$$

$$\kappa^2 \mu \frac{\partial \psi_x}{\partial \xi} + (\kappa^2 \mu - \rho V^2) \frac{\partial^2 w}{\partial \xi^2} - (\lambda + 2\mu) \frac{\sigma}{Rh} w - \left(\frac{\kappa^2 \mu h^2}{12R} - \frac{\rho V^2 h^2}{12R} \right) \frac{\partial^2 \psi_z}{\partial \xi^2} \\ - \left[(\lambda + 2\mu) \frac{\beta}{Rh} + \frac{\lambda}{R} \right] \psi_z = 0 \quad (15-3)$$

با در نظر گرفتن حل موج:

$$\begin{bmatrix} \psi_x \\ w \\ \psi_z \end{bmatrix} = \begin{bmatrix} A \\ B \\ C \end{bmatrix} e^{-i\alpha\xi} \quad (16-3)$$

و با جایگزین کردن در معادلات:

$$\left[(-\lambda - 2\mu + \rho V^2) \frac{h^2}{12} \alpha^2 A e^{-i\alpha\xi} \right] - \kappa^2 \mu A e^{-i\alpha\xi} + \kappa^2 \mu i \alpha \beta e^{-i\alpha\xi} + (2\lambda - \kappa^2 \mu) \frac{h^2}{12R} C i \alpha e^{-i\alpha\xi} = 0 \quad (17-3)$$

$$(2\lambda - \kappa^2 \mu) \frac{h^2}{12R} i \alpha A e^{-i\alpha\xi} + \frac{\kappa^2 \mu h^2}{12R} \alpha^2 B e^{-i\alpha\xi} - (\lambda + 2\mu) \frac{\beta}{Rh} B e^{-i\alpha\xi} \\ + \frac{\rho h^2 V^2}{12R} \alpha^2 B e^{-i\alpha\xi} - \frac{\kappa^2 \mu h^2}{12} \alpha^2 C e^{-i\alpha\xi} - (\lambda + 2\mu) \left(1 + \frac{\eta}{Rh} \right) C e^{-i\alpha\xi} \\ + \frac{\rho h^2 V^2}{12} \alpha^2 C e^{-i\alpha\xi} = 0 \quad (18-3)$$

$$\kappa^2 \mu A \alpha e^{-i\alpha\xi} + (-\kappa^2 \mu + \rho V^2) \alpha A e^{-i\alpha\xi} - (\lambda + 2\mu) \frac{\sigma}{Rh} B e^{-i\alpha\xi} - \left(\frac{\kappa^2 \mu h^2}{12R} - \frac{\rho V^2 h^2}{12R} \right) (-\alpha^2 C e^{-i\alpha\xi}) \\ - \left[(\lambda + 2\mu) \frac{\beta}{Rh} + \frac{\lambda}{R} \right] C e^{-i\alpha\xi} = 0$$

(۱۹-۳)

با فاکتور گیری از ضرایب A,B,C :

$$\left\{ \left[(\rho V^2 - \lambda - 2\mu) \frac{h^2}{12} \alpha^2 - \kappa^2 \mu \right] A + \kappa^2 \mu i \alpha \beta + (2\lambda - \kappa^2 \mu) \frac{h^2}{12R} C i \alpha \right\} e^{-i\alpha\xi} = 0$$

(۲۰-۳)

$$\left\{ \begin{aligned} & \left[\left(2\lambda - \kappa^2 \mu \right) \frac{h^2}{12R} i \alpha \right] A + \left[-\frac{\kappa^2 \mu h^2}{12R} \alpha^2 - (\lambda + 2\mu) \frac{\beta}{Rh} + \frac{\rho h^2 V^2}{12R} \alpha^2 - \frac{\lambda}{R} \right] B \\ & + \left[\frac{\rho h^2 V^2}{12} \alpha^2 - (\lambda + 2\mu) \left(1 + \frac{\eta}{Rh} \right) - \frac{\kappa^2 \mu h^2}{12} \alpha^2 \right] C \end{aligned} \right\} e^{-i\alpha\xi} = 0$$

(۲۱-۳)

$$\left\{ \begin{aligned} & \left[\kappa^2 \mu A \alpha + (\rho V^2 - \kappa^2 \mu) \alpha^2 \right] A - (\lambda + 2\mu) \frac{\sigma}{Rh} B + \\ & \left[\left(\frac{\kappa^2 \mu h^2}{12R} - \frac{\rho V^2 h^2}{12R} \right) \alpha^2 - (\lambda + 2\mu) \frac{\beta}{Rh} - \frac{\lambda}{R} \right] C \end{aligned} \right\} e^{-i\alpha\xi}$$

(۲۲-۳)

بنابراین:

$$\begin{bmatrix} G_{11} & G_{12} & G_{13} \\ G_{21} & G_{22} & G_{23} \\ G_{31} & G_{32} & G_{33} \end{bmatrix} \begin{pmatrix} \psi_x(x,t) \\ w(x,t) \\ \psi_z(x,t) \end{pmatrix} = \begin{pmatrix} 0 \\ -q/h \\ -m_z/h \end{pmatrix}$$

(۲۳-۳)

: که

$$G_{11} = \left[h^2 \left(\left(\frac{h}{12R} \right)^2 - \frac{1}{12} \right) (\lambda + 2\mu - \rho V^2)^2 \alpha^4 + \kappa^2 \mu (\lambda + 2\mu - \rho V^2) (-\alpha^2) \right] e^{-i\alpha\xi}$$

$$G_{12} = \left[(\lambda + 2\mu - \rho V^2)^2 i \alpha^3 \left[\frac{h^2}{12R^2} + \mu \kappa^2 \right] \right] e^{-i\alpha\xi}$$

$$\begin{aligned}
G_{13} &= \left[\left(\lambda + 2\mu - \rho V^2 \right) \left(\frac{h^2}{12R} \right) i\alpha^3 + \kappa^2 \mu - \lambda \right] e^{-i\alpha\xi} \\
G_{22} &= -\alpha^2 \left[\left(\frac{h}{R} \right)^2 + (\lambda + 2\mu - \rho V^2) (\rho V^2 - \kappa^2 \mu) \alpha^2 - (\lambda + 2\mu) \left(\frac{\sigma}{Rh} \right) \right] e^{-i\alpha\xi} \\
G_{23} &= -\alpha^2 \left[\frac{h^2}{R} + \left(\left(\frac{h^2}{12R} \alpha^3 (\rho V^2 - \kappa^2 \mu) \right) - \frac{\lambda}{R} - \left((\lambda + 2\mu) \frac{\beta}{Rh} \right) \right) (\lambda + 2\mu - \rho V^2) \right] e^{-i\alpha\xi} \\
G_{33} &= -\alpha^2 \left[\lambda^2 + \left(\left(\frac{h^2}{12} \alpha^2 (\rho V^2 - \kappa^2 \mu) \right) - \left((\lambda + 2\mu) \left(1 + \frac{\eta}{Rh} \right) \right) \right) (\lambda + 2\mu - \rho V^2) \right] e^{-i\alpha\xi}
\end{aligned} \tag{24-۳}$$

حال با صفر قرار دادن دترمینان ضرایب، مقادیر α بدست خواهد آمد. جواب کلی معادله بصورت زیر

است:

$$\begin{bmatrix} \psi_x \\ w \\ \psi_x \end{bmatrix}^{(1)} = \sum_{j=1}^3 a_j \begin{bmatrix} e_{j1} \\ e_{j2} \\ 1 \end{bmatrix} e^{-i\alpha_j \xi} + \begin{bmatrix} \psi_x \\ w \\ \psi_x \end{bmatrix}_p^{(1)} \tag{25-۳}$$

که e_j ، j امین بردار نرمالایزه شده ماتریس ضرایب با توجه به مقدار α است.

برای جواب خصوصی معادله از روش کرامر استفاده می شود:

$$\begin{bmatrix} G_{11} & G_{12} & G_{13} \\ G_{12} & G_{22} & G_{23} \\ G_{13} & G_{23} & G_{33} \end{bmatrix} \begin{bmatrix} \psi_x(x,t) \\ w(x,t) \\ \psi_z(x,t) \end{bmatrix} = \begin{bmatrix} 0 \\ -q/h \\ -m_z/h \end{bmatrix} \quad \xi < 0$$

$$\tag{26-۳}$$

مثلاً در منطقه ۱ جایی که فشار وجود دارد:

$$w_p^{(1)} = \lim_{\alpha \rightarrow 0} \left| \frac{\bar{G}(\alpha)}{G(\alpha)} \right| \tag{27-۳}$$

۳-۳ شرایط مرزی و پیوستگی [۲۴]:

برای بدست آوردن مقدار α_j در جواب عمومی به طریق زیر عمل می شود:

$$\begin{bmatrix} e_{11} & e_{21} & e_{31} & -e_{41} & -e_{51} & -e_{61} \\ -\alpha_1 e_{11} & -\alpha_1 e_{11} & -\alpha_3 e_{31} & \alpha_4 e_{41} & \alpha_5 e_{51} & \alpha_6 e_{61} \\ e_{12} & e_{22} & e_{32} & -e_{42} & -e_{52} & -e_{62} \\ -\alpha_1 e_{12} & -\alpha_2 e_{22} & -\alpha_3 e_{32} & \alpha_4 e_{42} & \alpha_5 e_{52} & \alpha_6 e_{62} \\ e_{13} & e_{23} & e_{33} & -e_{43} & -e_{53} & -e_{63} \\ -\alpha_1 e_{13} & -\alpha_2 e_{23} & -\alpha_3 e_{33} & -\alpha_4 e_{43} & -\alpha_5 e_{53} & -\alpha_6 e_{63} \end{bmatrix} \begin{bmatrix} a_1 \\ a_2 \\ a_3 \\ a_4 \\ a_5 \\ a_6 \end{bmatrix} = \begin{bmatrix} 0 \\ 0 \\ -w_p^{(1)} \\ 0 \\ -\psi_{zp}^{(1)} \\ 0 \end{bmatrix}$$

(۲۸-۳)

بررسی نتایج نشان می دهد که روش هرمن-میرسکی در مورد این مسئله و به طور کلی حالت هایی که سرعت زیر سرعت بحرانی است دقت خوبی دارد. بنابراین، این روش در مورد لوله سلاح ها دقیق و قابل قبول است. بنابراین به توصیه محقق در مواردی که مخازن جدار ضخیم تحت بار با سرعت نزدیک به سرعت بحرانی و کمتر از آن است بجای روش تبدیل فوریه بهتر است از این روش استفاده گردد. با این وجود ناهماهنگی هایی در فرکانس امواج ناشی از پاسخ های تجربی در قیاس با جوابهای تحلیلی دیده می شود که البته در مناطق دور از منطقه حساس ($\omega = 0$) هستند و از اعتبار روش کم نمی کند [۲۴].

۴-۳ ضریب تصحیح برشی [۲۵]:

معادلات حاکم بر یک پوسته در مختصات استوانه ای و در شرایط متقارن محوری به شکل زیر است:

$$(\lambda + 2\mu) \frac{\partial \Delta}{\partial z} + 2\mu \frac{\partial \omega_\theta}{\partial z} = \rho \frac{\partial^2 u_z}{\partial t^2} \quad (29-3)$$

$$(\lambda + 2\mu) \frac{\partial \Delta}{\partial x} - \frac{2\mu}{z} \frac{\partial(z\omega_\theta)}{\partial z} = \rho \frac{\partial^2 u_x}{\partial t^2} \quad (30-3)$$

که u_z جابجایی در جهت ساعی و u_x در جهت محوری است. همچنین Δ انبساط و ω_θ چرخش است و بصورت زیر تعریف می شود:

$$\Delta = \frac{1}{z} \frac{\partial(zu_z)}{\partial z} + \frac{\partial u_x}{\partial x} \quad (31-3)$$

$$\omega_\theta = \frac{1}{2} \left(\frac{\partial u_z}{\partial x} - \frac{\partial u_x}{\partial z} \right) \quad (32-3)$$

برای سطوح عاری از تنش های سطحی در $z = a$ و $z = b$ می توان نوشت:

$$\lambda \Delta + 2\mu \frac{\partial u_z}{\partial z} = 0 \quad (33-3)$$

$$\mu \left(\frac{\partial u_z}{\partial x} - \frac{\partial u_x}{\partial z} \right) = 0 \quad (34-3)$$

تلفیق معادلات حرکت و شرایط مرزی به معادله مشخصه زیر می انجامد:

$$f(K) = K_{10}(\beta)K_{01}(\gamma) + K_{01}(\beta)K_{10}(\gamma) + \frac{8}{\pi^2 \beta \gamma ab} + FK_{11}(\gamma)K_{00}(\beta) + \frac{1}{F} K_{11}(\beta)K_{00}(\gamma)$$

$$+ \frac{(1+\bar{B})^2}{F\gamma^2 ab} K_{11}(\beta)K_{11}(\gamma) - \frac{1+\bar{B}}{\gamma ab} [aK_{11}(\gamma)K_{10}(\beta) + bK_{11}(\gamma)K_{01}(\beta)]$$

$$- \frac{1+\bar{B}}{F\gamma ab} [aK_{11}(\beta)K_{10}(\gamma) + bK_{11}(\beta)K_{01}(\gamma)] = 0$$

(35-3)

که در آن:

$$K_{mn} = J_m(zb)Y_n(za) - J_n(za)Y_m(zb) \quad \beta^2 = \alpha^2 \left(\frac{c^2}{c_c^2} - 1 \right)$$

$$\beta^2 = \alpha^2 \left(\frac{c^2}{c_c^2} - 1 \right) \quad \beta = \frac{c}{2c_s} - 1$$

$$c_c^2 = \frac{(\lambda + 2\mu)}{\rho} \quad F = \frac{\alpha^2 \bar{B}}{\beta \gamma} \quad c_s^2 = \frac{\mu}{\rho}$$

که در آنها α شماره موج، Y توابع بسل، c سرعت فاز، L طول موج، h ضخامت پوسته و

سرعت موج برشی و c_c سرعت موج طولی هستند با فرض اینکه:

$$\delta = h/L, s = c/c_s \quad (36-3)$$

برای طول موجهای خیلی کوچک $\infty \rightarrow \delta$ ، ریشه معادله زیر برابر سرعت حد است:

$$(n^2 - s^2)(1 - s^2) = n \left(\frac{s^2}{2} - 1 \right)^2 \quad 0 < s < 1 \quad (37-3)$$

که در آن :

$$n^2 = 2(1-\nu)(1-2\nu) \quad (38-3)$$

در نهایت با در نظر گرفتن معادلات حرکت و بدست آوردن معادله مشخصه و بررسی

$$s^2 = \kappa^2 \quad \text{ریشه های}$$

$$[(n^2 - \kappa^2)(1 - \kappa^2)] = n \left(\frac{1}{2} \kappa^2 - 1 \right)^2 \quad 0 < \kappa < 1 \quad (39-3)$$

بنابراین κ وابسته به مقادیر ν بوده و چون $0 \leq \nu \leq 1/5$ تغییر می کند بنابراین:

$$0.86 < \kappa^2 < 0.91 \quad (40-3)$$

۱-۴ مقدمه:

برای مطالعه حرکت، باید حرکت را مدل کرد، این مدل معمولاً یک رابطه ریاضی است که موقعیت را بر حسب مکان و زمان توصیف می‌کند و به شکل این رابطه یک معادله دیفرانسیل یا معادله انتگرال می‌باشد.

برای حل معادلات حرکت دو روش وجود دارد :

۱- روش تحلیلی^۱ که یک فرمول ریاضی برای حل مسئله و معادله دیفرانسیل بدست می‌دهد. مانند استفاده از سری‌های توانی و ... این روش در صورتی قابل استفاده است که شکل معادله و شرایط مرزی آن ساده باشد.

۲- روش عددی^۲ که مبتنی بر روش‌های محاسبات عددی است و برای مدل‌های پیچیده با شرایط مرزی پیچیده قابل استفاده است که نتیجه، یک جدول از اعداد است. اعتبار نتیجه حل عددی به کمک روش‌های دیگر کنترل می‌شوند مانند روش‌های ریاضی یا سایر روش‌های عددی.

اجزاء محدود FE^۳ یک روش عددی است که برای حل معادلات دیفرانسیل استفاده می‌شود. در این روش:

۱) ناحیه مسئله به شکل‌های هندسی منظم (مانند مستطیل و ...) تقسیم می‌شود که به هر کدام از این شکل‌ها یا اجزاء، المان گفته و به این عمل Discretization گویند. هر المان با رأسهای آن مشخص می‌شود که به این نقاط رأس (Node) یا گره می‌گویند.

۲) فرض می‌شود معادله حاکم دیفرانسیل که بر کل محیط حاکم است بر هر المان نیز صادق است.

۳) با در نظر گرفتن بارگذاری سازه‌ای، شرایط مرزی، پیوستگی بین المانها و یک ضابطه بهینه سازی، ضرایب مجهول در هر المان بدست آمده و به این ترتیب مقادیر تابع مجهول در کل ناحیه قابل تعیین است.

¹ Analytical method.

² Numerical method.

³ Finite Elements

معمولًا از دو روش بهینه سازی استفاده شود.

۱) روش تغییراتی ریتز^۱

۲) روش باقی مانده وزنی^۲

۴-۲ روش باقی مانده وزنی :

این روش هنگامی استفاده می‌شود که معادله حاکم، معادله دیفرانسیل باشد

$$E.q : Du = f_1$$

$$B.C : Bu = f_2$$

(۱-۴)

باقی مانده مسئله و شرایط مرزی بصورت زیر می‌باشد :

$$R_D = Du - f_1 \quad R_B = Bu - f_2$$

(۲-۴)

که D و B اپراتورهای دیفرانسیلی هستند.

اگر u حل دقیق باشد باقی مانده صفر است ولی اگر $\tilde{u} = \tilde{u}$ (حل تقریبی) باشد، باقی مانده صفر

نخواهد بود و نتیجه می‌شود :

$$R_D\left(\tilde{u}\right) = D\tilde{u} - f_1$$

$$R_B\left(\tilde{u}\right) = B\tilde{u} - f_2$$

(۳-۴)

در روش باقی مانده وزنی فرض می‌شود حل آزمایشی بصورت $\tilde{u} = \sum_{i=1}^n \alpha_i \phi_i(x)$ است. مقادیر \tilde{u} در

عبارت باقی مانده جایگزین شده و ثابت‌های α_i بصورتی بدست می‌آید که باقی مانده نسبت به یک

میانگین وزنی صفر یا حداقل باشد یعنی :

$$\int R\left(\tilde{u}, \alpha_i\right) w_i(x) dx = 0$$

(۴-۴)

¹ Ritz Variational method

² Weighted Residual method

برای تعیین تابع وزنی (w_i) روش‌های زیر مطرح است :

۱) تابع وزنی، تابع دلتا δ است که این روش به روش نقطه یابی^۱ مشهور است.

$$w_i(x) = \delta(x - x_i)$$

$$\int R(\tilde{u}, \alpha_i, x) \delta(x - x_i) dx = 0 \quad (5-4)$$

$$\Rightarrow R(u, \alpha_i, x_i) = 0 \quad i = 1, \dots, n$$

به این ترتیب تعیین α_i ، به حل n معادله در نقاط x_1, x_2, \dots, x_n برای باقی مانده برمی‌گردد.

۲) تابع وزنی، R یا همان باقی مانده است که این روش به حداقل حداقل مربعات^۲ مشهور است.

$$w_i(x) = R(x) \quad (6-4)$$

در اینصورت ثابت‌ها بصورتی بدست می‌آیند که انتگرال زیر اکسترمم شود :

$$\int R \frac{\partial R}{\partial \alpha_i} d x = 0 \quad i = 1, 2, \dots, n \quad (7-4)$$

۳) روش گالرکین

در این روش تابع وزن، ϕ است.

$$\int R(\tilde{u}, \alpha_i) \phi_i(x) dx = 0 \quad i = 1, 2, \dots, n \quad (8-4)$$

که از حل n معادله حاصل، α_i بدست می‌آید. توابع ϕ شرایط مرزی هندسی^۳ را ارضا می‌کند.

بعد از مشخص شدن معادلات حاکم، از روش گالرکین جهت حل استفاده می‌شود. المان بصورت دو

گرهی و هر گره، شامل چهار درجه آزادی است. با اعمال روش گالرکین و با درنظر گرفتن جایجایی

بصورت زیر، معادلات حاکم در مدل FE می‌آید.

¹ Collocation.

² Least squared.

³ Essential.

۳-۴ تعیین معادلات اجزای محدود به کمک روش گالرکین

اگر چه روش‌های ریاضی همواره مهمترین مراجع در حل مسائل هستنداماً روش‌های عددی امروزه همپای روش‌های ریاضی گسترش یافته و اهمیتی ویژه دارند. اهمیت این روشها بویژه در مواردی که حل ریاضی بدلایل خاص امکان پذیر نیست بیشتر است.

پوسته ای جدار ضخیم تحت فشار داخلی متحرک مفروض است. دوسر پوسته گیردار فرض می شود. برای تعیین پاسخ دینامیکی سیستم، معادلات اجزای محدود سیستم به کمک روش گالرکین تعیین می شود:

معادله ۱ :

$$(\lambda + 2\mu) \frac{\partial^2 u}{\partial x^2} - \rho \frac{\partial^2 u}{\partial t^2} + \frac{h^2}{12R} \left[(\lambda + 2\mu) \frac{\partial^2 \psi_x}{\partial x^2} - \rho \frac{\partial^2 \psi_x}{\partial t^2} \right] + \frac{\lambda}{R} \frac{\partial w}{\partial x} + \lambda \frac{\partial \psi_z}{\partial x} + \frac{f_x}{h} = 0 \quad (9-4)$$

طبق روش گالرکین

$$\int_{-\frac{1}{2}}^{\frac{1}{2}} R \left(\tilde{u} \right) \phi_i dx = 0 \quad (10-4)$$

$$\begin{aligned} & \Rightarrow \int_{-\frac{1}{2}}^{\frac{1}{2}} (\lambda + 2\mu) \frac{\partial^2 u}{\partial x^2} \phi_i dx - \int_{-\frac{1}{2}}^{\frac{1}{2}} \rho \frac{\partial^2 u}{\partial t^2} \phi_i dx + \int_{-\frac{1}{2}}^{\frac{1}{2}} \frac{h^2 (\lambda + 2\mu)}{12R} \frac{\partial^2 \psi_x}{\partial x^2} \phi_i dx - \int_{-\frac{1}{2}}^{\frac{1}{2}} \frac{\rho h^2}{12R} \frac{\partial^2 \psi_x}{\partial t^2} \phi_i dx \\ & + \int_{-\frac{1}{2}}^{\frac{1}{2}} \frac{\lambda}{R} \frac{\partial w}{\partial x} \phi_i dx + \int_{-\frac{1}{2}}^{\frac{1}{2}} \lambda \frac{\partial \psi_z}{\partial x} \phi_i dx + \int_{-\frac{1}{2}}^{\frac{1}{2}} \frac{h^2 (\lambda + 2\mu)}{12R} \frac{\partial^2 u}{\partial x^2} \phi_i dx - \int_{-\frac{1}{2}}^{\frac{1}{2}} \frac{\rho h^2}{12R} \frac{\partial^2 \psi_x}{\partial t^2} \phi_i dx \\ & + \int_{-\frac{1}{2}}^{\frac{1}{2}} \frac{\lambda}{R} \frac{\partial w}{\partial x} \phi_i dx - \int_{-\frac{1}{2}}^{\frac{1}{2}} \lambda \frac{\partial \psi_z}{\partial x} \phi_i dx + \int_{-\frac{1}{2}}^{\frac{1}{2}} \frac{f_x}{h} \phi_i dx = 0 \end{aligned} \quad (11-4)$$

به کمک انتگرال جزء به جزء نتیجه می شود :

$$\begin{aligned} & \int_{-\frac{1}{2}}^{\frac{1}{2}} (\lambda + 2\mu) \frac{\partial^2 u}{\partial x^2} \phi_i dx \\ & \frac{\partial^2 u}{\partial x^2} \phi_i dx = \frac{\partial u}{\partial x} (\phi_i) - \frac{\partial u}{\partial x} \frac{\partial \phi_i}{\partial x} = \frac{\partial}{\partial x} \left(\phi_i \frac{\partial u}{\partial x} \right) - \left[\frac{\partial}{\partial x} \left(u \frac{\partial \phi_i}{\partial x} \right) - u \frac{\partial^2 \phi_i}{\partial x^2} \right] \end{aligned}$$

$$\Rightarrow \int_{-\frac{1}{2}}^{\frac{1}{2}} (\lambda + 2\mu) \frac{\partial^2 u}{\partial x^2} \phi_i dx = \int_{-\frac{1}{2}}^{\frac{1}{2}} \left[\frac{\partial}{\partial x^2} \left(\phi_i \frac{\partial u}{\partial x} \right) - \left[\frac{\partial}{\partial x} \left(u \frac{\partial \phi_i}{\partial x} \right) - u \frac{\partial^2 \phi_i}{\partial x^2} \right] \right] dx$$

$$= \left[\frac{\partial u}{\partial x} \phi_i - u \frac{\partial \phi_i}{\partial x} \right]_{-\frac{1}{2}}^{\frac{1}{2}} + \int_{-\frac{1}{2}}^{\frac{1}{2}} u \frac{d^2 \phi_i}{dx^2} dx \quad (12-4)$$

$$\int_{-\frac{1}{2}}^{\frac{1}{2}} \rho \frac{\partial^2 u}{\partial t^2} \phi_i dx = \rho \frac{\partial^2}{\partial t^2} \int_{-\frac{1}{2}}^{\frac{1}{2}} u \phi_i dx \quad (13-4)$$

$$\int_{-\frac{1}{2}}^{\frac{1}{2}} \frac{h^2 (\lambda + 2\mu)}{12R} \frac{\partial^2 \psi_x}{\partial x^2} \phi_i dx = \left[\frac{\partial \psi_x}{\partial x} \phi_i \Big|_{-\frac{1}{2}}^{\frac{1}{2}} - \psi_x \frac{\partial \phi_i}{\partial x} \Big|_{-\frac{1}{2}}^{\frac{1}{2}} \right] + \int_{-\frac{1}{2}}^{\frac{1}{2}} \psi_x \frac{\partial^2 \phi_i}{\partial x^2} dx \quad (14-4)$$

$$\int_{-\frac{1}{2}}^{\frac{1}{2}} \frac{\partial^2 \psi_x}{\partial t^2} \phi_i dx = \frac{\partial^2}{\partial t^2} \int_{-\frac{1}{2}}^{\frac{1}{2}} \psi_x \phi_i dx \quad (15-4)$$

$$\int_{-\frac{1}{2}}^{\frac{1}{2}} \frac{\partial w}{\partial x} \phi_i dx = [w \phi_i]_{-\frac{1}{2}}^{\frac{1}{2}} - \int_{-\frac{1}{2}}^{\frac{1}{2}} w \frac{d \phi_i}{dx} dx \quad (16-4)$$

$$\int_{-\frac{1}{2}}^{\frac{1}{2}} \frac{\partial \psi_z}{\partial x} \phi_i dx = [\psi_z \phi_i]_{-\frac{1}{2}}^{\frac{1}{2}} - \int_{-\frac{1}{2}}^{\frac{1}{2}} \psi_z \frac{d \phi_i}{dx} dx \quad (17-4)$$

نتیجہ میں ووڈ :

$$\begin{aligned} & (\lambda + 2\mu) \left[\frac{\partial u}{\partial x} \phi_i \Big|_{-\frac{1}{2}}^{\frac{1}{2}} - u \frac{\partial \phi_i}{\partial x} \Big|_{-\frac{1}{2}}^{\frac{1}{2}} \right] + (\lambda + 2\mu) \int u \frac{\partial^2 \phi_i}{\partial x^2} dx - \rho \frac{\partial^2}{\partial t^2} \int u \phi_i dx \\ & + \left(\frac{\lambda + 2\mu}{12R} \right) h^2 \left[\frac{\partial \psi_x}{\partial x} \phi_i \Big|_{-\frac{1}{2}}^{\frac{1}{2}} - \psi_x \frac{\partial \phi_i}{\partial x} \Big|_{-\frac{1}{2}}^{\frac{1}{2}} \right] + \frac{(\lambda + 2\mu) h^2}{12R} \int \psi_x \frac{d^2 \phi_i}{dx^2} dx - \\ & \frac{\rho h^2}{12R} \frac{\partial^2}{\partial t^2} \int \psi_x \phi_i dx + \frac{\lambda}{R} \left[w \phi_i \Big|_{-\frac{1}{2}}^{\frac{1}{2}} \right] - \frac{\lambda}{R} \int w \frac{\partial \phi_i}{\partial x} dx + \lambda \left[\psi_z \phi_i \Big|_{-\frac{1}{2}}^{\frac{1}{2}} \right] \\ & - \lambda \int \psi_z \frac{\partial \phi_i}{\partial x} dx + \int \frac{fx}{h} \phi_i dx + A_1 + A_2 + A_3 + A_4 = 0 \quad (18-4) \end{aligned}$$

: گر

$$A_1 = (\lambda + 2\mu) \left[\frac{\partial u}{\partial x} \phi_i \Big|_{-\frac{1}{2}}^{\frac{1}{2}} - u \frac{\partial \phi_i}{\partial x} \Big|_{-\frac{1}{2}}^{\frac{1}{2}} \right]$$

$$A_2 = \frac{(\lambda + 2\mu) h^2}{12R} \left[\frac{\partial \psi_x}{\partial x} \phi_i \Big|_{-\frac{1}{2}}^{\frac{1}{2}} - \psi_x \frac{d \phi_i}{dx} \Big|_{-\frac{1}{2}}^{\frac{1}{2}} \right]$$

$$A_3 = \frac{\lambda}{R} \begin{bmatrix} w\phi_i \\ \left| \begin{array}{c} \frac{1}{2} \\ -\frac{1}{2} \end{array} \right| \end{bmatrix}$$

$$A_4 = \lambda \begin{bmatrix} \psi_z \phi_i \\ \left| \begin{array}{c} \frac{1}{2} \\ -\frac{1}{2} \end{array} \right| \end{bmatrix} \quad (19-4)$$

با انتخاب میدان حل به صورت:

$$u = \sum_{j=1}^2 a_j(t) \phi_j(x), \quad w = \sum_{j=1}^2 b_j(t) \phi_j(x), \quad \psi_x = \sum_{j=1}^2 c_j(t) \phi_j(x), \quad \psi_z = \sum_{j=1}^2 d_j(t) \phi_j(x) \quad (20-4)$$

نتیجه می‌شود:

$$\begin{aligned} A_1 + (\lambda + 2\mu) \int \sum_{j=1}^2 a_j \phi_j \frac{\partial^2 \phi_i}{\partial x^2} dx - \rho \frac{\partial^2}{\partial t^2} \int \sum_{j=1}^2 a_j \phi_j \phi_i dx + \frac{(\lambda + 2\mu)h^2}{12R} \int \sum_{j=1}^2 c_j \phi_j \frac{\partial^2 \phi_i}{\partial x^2} \\ - \frac{\rho h^2}{12R} \frac{\partial^2}{\partial t^2} \int \sum_{j=1}^2 c_j \phi_j \phi_i dx + A_3 - \frac{\lambda}{R} \int \sum_{j=1}^2 b_j \phi_j \frac{\partial \phi_i}{\partial x} dx + A_4 - \lambda \int \sum_{j=1}^2 d_j \phi_j \frac{\partial \phi_i}{\partial x} dx + \int \frac{f_x}{h} \phi_j dx = 0 \quad (21-4) \\ \sum_{j=1}^2 \left\{ \left[(\lambda + 2\mu) \int \sum_{j=1}^2 \phi_j \frac{d^2 \phi_i}{dx^2} dx \right] a_j - \left[\rho \int \phi_i \phi_j dx \right] a_j + \left[\frac{(\lambda + 2\mu)h^2}{12R} \int \phi_j \frac{d^2 \phi_i}{dx^2} dx \right] c_j \right. \\ - \left[\frac{\rho h^2}{12R} \int \phi_i \phi_j dx \right] c_j - \left[\frac{\lambda}{R} \int \phi_j \frac{d \phi_i}{dx} dx \right] b_j - \left[\lambda \int \phi_j \frac{d \phi_i}{dx} dx \right] d_j + \int \frac{f_x}{h} \phi_j dx \\ \left. + A_1 + A_2 + A_3 + A_4 \right\} = 0 \quad (22-4) \end{aligned}$$

به همین طریق می‌توان برای معادلات دیگر نیز بدست آورد.

$$\begin{aligned} \sum_{j=1}^2 \left\{ \left[\frac{(\lambda + 2\mu)h^2}{12R} \int \phi_j \frac{\partial^2 \phi_i}{\partial x^2} dx \right] a_j - \left[\frac{\rho h^2}{12R} \int \phi_j \phi_i dx \right] a_j + \left[\kappa^2 \mu \int \phi_j \frac{\partial \phi_i}{\partial x} dx \right] b_j \right. \\ + \left[\frac{(\lambda + 2\mu)h^2}{12} \int \phi_j \frac{d^2 \phi_i}{dx^2} - \kappa^2 \mu \int \phi_j \phi_i dx \right] c_j - \left[\frac{\rho h^2}{12} \int \phi_j \phi_i dx \right] c_j \\ \left. - \left[(2\lambda - \kappa^2 \mu) \frac{h^2}{12R} \int \phi_j \frac{\partial \phi_i}{\partial x} dx \right] d_j + \int \frac{m_x}{h} \phi_i dx + B_1 + B_2 + B_3 + B_4 \right\} = 0 \end{aligned}$$

$$B_1 = \frac{(\lambda + 2\mu)h^2}{12R} \left[\frac{\partial u}{\partial x} \phi_i \Big|_{-\frac{1}{2}} - u \frac{\partial \phi_i}{\partial x} \Big|_{-\frac{1}{2}} \right] \quad (23-4)$$

$$B_2 = \frac{(\lambda + 2\mu)h^2}{12} \left[\frac{\partial \psi_z}{\partial x} \phi_i \Big|_{-\frac{1}{2}} - \psi_x \frac{\partial \phi_i}{\partial x} \Big|_{-\frac{1}{2}} \right]$$

$$B_3 = -\kappa^2 \mu \left[w \phi_i \Big|_{-\frac{1}{2}} \right]$$

$$B_4 = (2\lambda - \kappa^2 \mu) \frac{h^2}{12R} \left[\psi_z \phi_i \Big|_{-\frac{1}{2}} \right]$$

معادله سوم :

$$\begin{aligned} & \sum_{j=1}^2 \left[\frac{\lambda}{R} \int \phi_j \frac{d\phi_i}{dx} dx \right] a_j - \left[k^2 \mu \int \phi_j \frac{d\phi_i}{dx} dx \right] c_j + \left[\kappa^2 \mu \int \phi_j \frac{d^2 \phi_i}{dx^2} dx - \frac{(\lambda + 2\mu)}{Rh} \alpha \right. \\ & \left. \int \phi_j \phi_i dx \right] b_j - \rho \left[\int \phi_j \phi_i dx \right] \bar{b}_j + \left[\frac{\kappa^2 \mu h^2}{12R} \int \phi_j \frac{d^2 \phi_i}{dx^2} dx - \frac{(\lambda + 2\mu)\beta}{Rh} \int \phi_j \phi_i dx \right. \\ & \left. - \frac{\lambda}{R} \int \phi_j \phi_i dx \right] d_j - \left[\frac{\rho h^2}{12R} \int \phi_j \phi_i dx \right] \bar{d}_j + \int \frac{q}{h} \phi_i dx + D_1 + D_2 + D_3 + D_4 \right\} = 0 \end{aligned}$$

$$D_1 = -\frac{\lambda}{R} \left(u \phi_i \Big|_{-\frac{1}{2}} \right)$$

$$D_2 = \kappa^2 \mu \left(\psi_x \phi_i \Big|_{-\frac{1}{2}} \right) \quad (24-4)$$

$$D_3 = \kappa^2 \mu \left(\frac{\partial w}{\partial x} \phi_i \Big|_{-\frac{1}{2}} - w \frac{d\phi_i}{dx} \Big|_{-\frac{1}{2}} \right)$$

$$D_4 = \frac{\kappa^2 \mu h^2}{12R} \left[\frac{\partial \psi_z}{\partial x} \phi_i \Big|_{-\frac{1}{2}} - \psi_z \frac{d\phi_i}{dx} \Big|_{-\frac{1}{2}} \right]$$

معادله چهارم :

$$\begin{aligned} & \sum_{j=1}^2 \left[\lambda \int \frac{d\phi_i}{dx} \phi_j dx \right] a_j + \left[(2\lambda - \kappa^2 \mu) \frac{h^2}{12R} \int \phi_j \frac{d\phi_i}{dx} dx \right] c_j - \left[\frac{\rho h^2}{12R} \int \phi_j \phi_i dx \right] \bar{b}_j \\ & + \left[\frac{k^2 \mu h^2}{12R} \int \phi_j \frac{d^2 \phi_i}{dx^2} dx - \frac{(\lambda + 2\mu)\beta}{Rh} \int \phi_j \phi_i dx - \frac{\lambda}{R} \int \phi_j \phi_i dx \right] b_j - \left[\frac{\rho h^2}{12} \int \phi_j \phi_i dx \right] \bar{d}_j \end{aligned}$$

$$\left[\frac{k^2 \mu h^2}{12} \int \phi_j \phi_i dx - (\lambda + 2\mu) \left(1 + \frac{2}{Rh} \right) \int \phi_j \phi_i dx \right] d_j + \int \frac{m_z}{h} \phi_i dx + E_1 + E_2 + E_3 + E_4 = 0$$

$$E_1 = -\lambda \left(u \phi_i \Big|_{-\frac{1}{2}}^{-\frac{1}{2}} \right) \quad (25-4)$$

$$E_2 = -(2\lambda - \kappa^2 \mu) \frac{h^2}{12R} \left(\psi_x \phi_i \Big|_{-\frac{1}{2}}^{-\frac{1}{2}} \right)$$

$$E_3 = \frac{\kappa^2 \mu h^2}{12R} \left(\frac{\partial w}{\partial x} \phi_i \Big|_{-\frac{1}{2}}^{-\frac{1}{2}} - w \frac{d\phi_i}{dx} \Big|_{-\frac{1}{2}}^{-\frac{1}{2}} \right)$$

$$E_4 = \frac{\kappa^2 \mu h^2}{12} \left(\frac{\partial \psi_z}{\partial x} \phi_i \Big|_{-\frac{1}{2}}^{-\frac{1}{2}} - \psi_z \frac{d\phi_i}{dx} \Big|_{-\frac{1}{2}}^{-\frac{1}{2}} \right)$$

بنابراین چهار معادله زیر نتیجه می‌شود :

$$1) \sum_{j=1}^2 \left\{ \left[(\lambda + 2\mu) \int \sum_{j=1}^2 \phi_j \frac{d^2 \phi_i}{dx^2} dx \right] a_j - \left[\rho \int \phi_i \phi_j dx \right] b_j + \left[\frac{(\lambda + 2\mu) h^2}{12R} \int \phi_j \frac{d^2 \phi_i}{dx^2} dx \right] c_j \right. \\ \left. - \left[\frac{\rho h^2}{12R} \int \phi_i \phi_j dx \right] d_j - \left[\frac{\lambda}{R} \int \phi_j \frac{d\phi_i}{dx} dx \right] b_j - \left[\lambda \int \phi_j \frac{d\phi_i}{dx} dx \right] d_j + \int \frac{f_x}{h} \phi_j dx + A_1 + A_2 + A_3 + A_4 \right\} = 0 \quad (26-4)$$

$$2) \sum_{j=1}^2 \left\{ \left[\frac{(\lambda + 2\mu) h^2}{12R} \int \phi_j \frac{\partial^2 \phi_i}{\partial x^2} dx \right] a_j - \left[\frac{\rho h^2}{12R} \int \phi_j \phi_i dx \right] b_j + \left[\kappa^2 \mu \int \phi_j \frac{\partial \phi_i}{\partial x} dx \right] c_j \right. \\ \left. + \left[\frac{(\lambda + 2\mu) h^2}{12} \int \phi_j \frac{d^2 \phi_i}{dx^2} - \kappa^2 \mu \int \phi_j \phi_i dx \right] c_j - \left[\frac{\rho h^2}{12} \int \phi_j \phi_i dx \right] c_j \right. \\ \left. - \left[(2\lambda - \kappa^2 \mu) \frac{h^2}{12R} \int \phi_j \frac{\partial \phi_i}{\partial x} dx \right] d_j + \int \frac{m_x}{h} \phi_i dx + B_1 + B_2 + B_3 + B_4 \right\} = 0 \quad (27-4)$$

$$3) \sum_{j=1}^2 \left[\frac{\lambda}{R} \int \phi_j \frac{d\phi_i}{dx} dx \right] a_j - \left[k^2 \mu \int \phi_j \frac{d\phi_i}{dx} dx \right] c_j + \left[\kappa^2 \mu \int \phi_j \frac{d^2 \phi_i}{dx^2} dx - \frac{(\lambda + 2\mu)}{Rh} \alpha \right. \\ \left. \int \phi_j \phi_i dx \right] b_j - \rho \left[\int \phi_j \phi_i dx \right] b_j + \left[\frac{\kappa^2 \mu h^2}{12R} \int \phi_j \frac{d^2 \phi_i}{dx^2} dx - \frac{(\lambda + 2\mu) \beta}{Rh} \int \phi_j \phi_i dx \right]$$

$$-\frac{\lambda}{R} \int \phi_j \phi_i dx \Big] d_j - \left[\frac{\rho h^2}{12R} \int \phi_j \phi_i dx \right] \ddot{d}_j + \int \frac{q}{h} \phi_i dx + D_1 + D_2 + D_3 + D_4 \Big\} = 0 \\ (28-4)$$

$$4) \sum_{j=1}^2 \left\{ \left[\lambda \int \frac{d\phi_i}{dx} \phi_j dx \right] a_j + \left[(2\lambda - \kappa^2 \mu) \frac{h^2}{12R} \int \phi_j \frac{d\phi_i}{dx} dx \right] c_j - \left[\frac{\rho h^2}{12R} \int \phi_j \phi_i dx \right] \ddot{b}_j + \right. \\ \left[\frac{k^2 \mu h^2}{12R} \int \phi_j \frac{d^2 \phi_i}{dx^2} dx - \frac{(\lambda + 2\mu)\beta}{Rh} \int \phi_j \phi_i dx - \frac{\lambda}{R} \int \phi_j \phi_i dx \right] b_j - \left[\frac{\rho h^2}{12} \int \phi_j \phi_i dx \right] \ddot{d}_j + \\ \left. \left[\frac{k^2 \mu h^2}{12} \int \phi_j \phi_i dx - (\lambda + 2\mu) \left(1 + \frac{2}{Rh} \right) \int \phi_j \phi_i dx \right] d_j + \int \frac{m_z}{h} \phi_i dx + E_1 + E_2 + E_3 + E_4 \right\} = 0 \\ (29-4)$$

پس از این مرحله معادله را می‌توان به شکل ماتریسی زیر تبدیل کرد.

$$[M]\{\ddot{x}\} + [k]\{x\} = \{F\} \quad (30-4)$$

مقادیر ماتریس $\{X\}$ و $\{F\}$ بصورت زیر تبدیل خواهند شد.

$$[M] = \begin{bmatrix} -\rho \int \phi_j \phi_i dx & -\frac{\rho h^2}{12R} \int \phi_j \phi_i dx & 0 & 0 \\ -\frac{\rho h^2}{12R} \int \phi_j \phi_i dx & -\frac{\rho h^2}{12} \int \phi_j \phi_i dx & 0 & 0 \\ 0 & 0 & -\rho \int \phi_j \phi_i dx & -\frac{\rho h^2}{12R} \int \phi_j \phi_i dx \\ 0 & 0 & -\frac{\rho h^2}{12R} \int \phi_j \phi_i dx & -\frac{\rho h^2}{12} \int \phi_j \phi_i dx \end{bmatrix} \quad (31-4)$$

$$K = \begin{bmatrix} K_{1,1} & K_{1,2} & K_{1,3} & K_{1,4} \\ K_{2,1} & K_{2,2} & K_{2,3} & K_{2,4} \\ K_{3,1} & K_{3,2} & K_{3,3} & K_{3,4} \\ K_{4,1} & K_{4,2} & K_{4,3} & K_{4,4} \end{bmatrix}$$

$K_{1,1} = (\lambda + 2\mu) \int \phi_j \frac{d^2 \phi_i}{dx^2} dx$	$K_{1,2} = \frac{(\lambda + 2\mu)h^2}{12R} \int \phi_j \frac{d^2 \phi_i}{dx^2} dx$
$K_{1,3} = -\frac{\lambda}{R} \int \phi_j \frac{d \phi_i}{dx} dx$	$K_{1,4} = \lambda \int \phi_j \frac{d \phi_i}{dx} dx$

$K_{2,1} = \frac{(\lambda + 2\mu)h^2}{12R} \int \phi_j \frac{d^2 \phi_i}{dx^2} dx$	$K_{2,2} = \frac{(\lambda + 2\mu)h^2}{12} \int \phi_j \frac{d^2 \phi_i}{dx^2} dx - \kappa^2 \mu \int \phi_j \phi_i dx$
$K_{2,3} = -\kappa^2 \mu \int \phi_j \frac{d \phi_i}{dx} dx$	$K_{2,4} = \frac{-(2\lambda - \kappa^2 \mu)h^2}{12R} \int \phi_j \frac{d \phi_i}{dx} dx$

$K_{3,1} = \frac{\lambda}{R} \int \phi_j \frac{d \phi_i}{dx} dx$	$K_{3,2} = -\kappa^2 \mu \int \phi_j \frac{d \phi_i}{dx} dx$
$K_{3,3} = \kappa^2 \mu \int \phi_j \frac{d^2 \phi_i}{dx^2} dx - \frac{(\lambda + 2\mu)\alpha}{Rh} \int \phi_j \phi_i dx$	
$K_{3,4} = \frac{\kappa^2 \mu h^2}{12R} \int \phi_j \frac{d^2 \phi_i}{dx^2} dx - \frac{(\lambda + 2\mu)\beta}{Rh} \int \phi_j \phi_i dx - \frac{\lambda}{R} \int \phi_j \phi_i dx$	

$K_{4,1} = \lambda \int \phi_j \frac{d \phi_i}{dx} dx$	$K_{4,2} = \frac{(2\lambda - \kappa^2 \mu)h^2}{12R} \int \phi_j \frac{d \phi_i}{dx} dx$
$K_{4,3} = \frac{\kappa^2 \mu h^2}{Rh} \int \phi_j \frac{d^2 \phi_i}{dx^2} dx - \frac{(\lambda + 2\mu)\beta}{Rh} \int \phi_j \phi_i dx - \frac{\lambda}{R} \int \phi_j \phi_i dx$	
$K_{4,4} = \frac{\kappa^2 \mu h^2}{12} \int \phi_j \phi_i dx - (\lambda + 2\mu)(1 + \eta/Rh) \int \phi_j \phi_i dx$	

$$\{F\} = \begin{bmatrix} \int \frac{F_x}{h} \phi_i dx + A_1 + A_2 + A_3 + A_4 \\ \int \frac{m_x}{h} \phi_i dx + B_1 + B_2 + B_3 + B_4 \\ \int \frac{q}{h} \phi_i dx + D_1 + D_2 + D_3 + D_4 \\ \int \frac{m_z}{h} \phi_i dx + E_1 + E_2 + E_3 + E_4 \end{bmatrix} \quad \{x\} = \begin{bmatrix} a_i \\ c_i \\ b_i \\ d_i \end{bmatrix}$$

که f_x و f_z و m_z در رابطه (۱۴-۲) تعریف شده اند.

۴-۴ بارگذاری:

مقدمه [۲۶]:

بارهای متحرک بارهایی هستند که مختصات مکان اثرشان با زمان متغیر است. این بارها به دو دسته گستردگی و متمرکز تقسیم می شوند. بارهای متمرکز با استفاده از تابع دلتای دیراک شبیه سازی می

شود:

$$\delta(t) = \begin{cases} \lim_{\varepsilon \rightarrow 0} \frac{1}{\varepsilon} & -\frac{\varepsilon}{2} < t < \frac{\varepsilon}{2} \\ 0 & \text{else} \end{cases} \quad (32-4)$$

تابع دلتای دیراک برای شبیه سازی بارهای ناگهانی و ضربه ها و بارهای متمرکز استفاده می شود می

توان نشان داد :

$$\int_{-\infty}^{\infty} \delta(t) dt = 1 \quad (33-4)$$

برای بارهای گستردگی از تابع پله ای یا هویساید^۱ استفاده می شود. در این مسئله، بارگذاری، یک فشار

داخلی متحرک است که با تابع پله ای تعریف می شود:

$$f_z = P_0 (1 - H(x - Vt))$$

$$H(x - vt) = \begin{cases} 0 & x < Vt \\ 1 & x > Vt \end{cases} \quad (34-4)$$

¹ Heaviside

که v سرعت بار و H تابع هویسايد می باشد.

بنابراین مقادیر q و m_z عبارتست از:

$$q = P_0(1 - H(x - Vt)) \left(1 - \frac{h}{2R}\right)$$

$$m_z = -\left(\frac{P_0(1 - H(x - Vt))h}{2}\right) \left(1 - \frac{h}{2R}\right) \quad (35-4)$$

۴-۵ شرایط مرزی :

پوسته استوانه‌ای دو سر گیردار فرض شده است بنابراین خیز و شیب در دو انتهای پوسته مساوی با صفر خواهد شد.

حل مسئله به تعریف توابع شکل^۱ نیازمند است. برای این مسئله از توابع شکل بفرم ذیل استفاده شده است.

$$\phi_1 = \frac{x_2 - x}{x_2 - x_1}$$

$$\phi_2 = \frac{x - x_1}{x_2 - x_1} \quad (36-4)$$

توابع شکل ϕ_i دارای خاصیت $\phi_i(x_j) = \delta_{ij}$ می‌باشند که :

$$\phi_1 = \frac{x_2 - x}{x_2 - x_1} \rightarrow \frac{d\phi_1}{dx} = \frac{-1}{L} \quad \phi_2 = \frac{x - x_1}{x_2 - x_1} \rightarrow \frac{d\phi_2}{dx} = \frac{1}{L} \quad (37-4)$$

بنابراین :

$$\phi_1(x_1) = 1 \quad \phi_1(x_2) = 0$$

$$\phi_2(x_1) = 0 \quad \phi_2(x_2) = 1 \quad (38-4)$$

¹ Shape function.

با توجه به روابط فوق و استفاده از شرایط مرزی مقادیر $D_1 \cdots D_4, C_1 \cdots C_4, B_1 \cdots B_4, A_1 \cdots A_4$ را می‌توان تعیین کرد.

در این صورت نتیجه می‌شود :

$$\begin{aligned} A_1 &= \frac{\partial u(x,t)}{\partial x} \phi_i(x) \Big|_1^2 - u(x,t) \frac{\partial \phi_i(x)}{\partial x} \Big|_1^2 \\ &\quad \frac{\partial u(x,t)}{\partial x} \phi_i(x) \Big|_1^2 = \frac{\partial u(2,t)}{\partial x} \phi_i(2) - \frac{\partial u(1,t)}{\partial x} \phi_i(1) \quad (39-4) \\ i=1 \Rightarrow & \frac{\partial u(2,t)}{\partial x} \phi_i(2) - \frac{\partial u(1,t)}{\partial x} \phi_i(1) = -\frac{\partial u(1,t)}{\partial x} \\ i=2 \Rightarrow & \frac{\partial u(2,t)}{\partial x} \phi_2(2) - \frac{\partial u(1,t)}{\partial x} \phi_2(1) = -\frac{\partial u(2,t)}{\partial x} \end{aligned}$$

$$\begin{aligned} u(x,t) \frac{\partial \phi_i(x)}{\partial x} \Big|_1^2 &= u(2,t) \frac{\partial \phi_i(2)}{\partial x} - u(1,t) \frac{\partial \phi_i(1)}{\partial x} \\ i=1 \Rightarrow u(2,t) \frac{\partial \phi_i(2)}{\partial x} - u(1,t) \frac{\partial \phi_i(1)}{\partial x} &= +\frac{u(1,t)}{l} \\ i=2 \Rightarrow u(2,t) \frac{\partial \phi_2(2)}{\partial x} - u(1,t) \frac{\partial \phi_2(1)}{\partial x} &= +\frac{u(2,t)}{L} \quad (40-4) \end{aligned}$$

بنابراین با استفاده از $(4-4), (4-5)$ و $(4-5)$ برای یک المان :

$$A_1 = \left(-\frac{\partial u(1,t)}{\partial x} - \frac{\partial u(2,t)}{\partial x} \right) - \left(\frac{u(1,t)}{L} - \frac{u(2,t)}{L} \right) \quad (41-4)$$

$$\begin{aligned} : \frac{du(1,t)}{dx} &= 0, \quad \frac{u(2,t)}{L} \\ A_1 &= -\frac{\partial u(2,t)}{\partial x} + \frac{u(2,t)}{L} \quad (42-4) \end{aligned}$$

: A_2 و همین طور برای

$$A_2 = -\frac{\partial \psi_z(2,t)}{\partial x} + \frac{\psi_z(2,t)}{L} \quad (43-4)$$

$$A_3 = \frac{\lambda}{R} [w\phi_i]_{-\frac{1}{2}}^{\frac{1}{2}} \quad (44-4)$$

$$w\phi_i(x)|_1^2 = w\phi_i(2) - w\phi_i(1)$$

$$i=1 \rightarrow w\phi_1(2) - w\phi_1(1) = -w_1$$

$$i=2 \rightarrow w\phi_2(2) - w\phi_2(1) = -w_2$$

$$A_3 = -w_1 - (w_2)$$

$$A_3 = -w_2$$

$$A_4 = \lambda [\psi_z \phi_i]_{-\frac{1}{2}}^{\frac{1}{2}}$$

$$\psi_z \phi_i(x)|_1^2 = \psi_z \phi_i(1) \quad (45-4)$$

$$i=1 \rightarrow \psi_z \phi_1(2) - \psi_z \phi_1(1) = -\psi_{z1}$$

$$i=2 \rightarrow \psi_z \phi_2(2) - \psi_z \phi_2(1) = -\psi_{z2}$$

$$A_4 = -\psi_{z1} - \psi_{z2}$$

$$\text{همین طور برای سایر مقادیر ثابت } E, C, D \text{، مقادیر محاسبه می‌شود.}$$

با در نظر گرفتن چندین المان برای پوسته، باید در هر المان و المان بعد شرط پیوستگی رعایت

گردد. یعنی باید مقادیر شبیب و جابجایی برای هر دو المان مجاور یکسان باشد که با توجه به روابط

فوق، مجموع مقادیر شار در المانهای میانی پس از مونتاژ ماتریس‌های المان صفر خواهد شد. یعنی مثلاً

اگر پوسته دارای چهار المان باشد در اینصورت :

$$A_1 = -\frac{\partial u(2,t)}{\partial x} - \frac{u(2,t)}{L}$$

$$A_2 = \frac{\partial u(2,t)}{\partial x} + \frac{u(2,t)}{L} - \frac{\partial u(3,t)}{\partial x} - \frac{u(3,t)}{L}$$

$$A_3 = \frac{\partial u(3,t)}{\partial x} - \frac{u(3,t)}{L} - \frac{\partial u(4,t)}{\partial x} - \frac{u(4,t)}{L}$$

$$\text{کل } A_1 = A_{i1} + A_{i2} + A_{i3} \quad (46-4)$$

$$A_1 = -\frac{\partial u(2,t)}{\partial x} - \frac{u(2,t)}{L} + \frac{\partial u(2,t)}{\partial x} + \frac{u(2,t)}{L} - \frac{\partial u(3,t)}{\partial x} - \frac{u(3,t)}{L} + \frac{\partial u(3,t)}{\partial x} - \frac{u(3,t)}{L}$$

$$-\frac{\partial u(4,t)}{\partial x} - \frac{u(4,t)}{L} \Rightarrow A_1 - \frac{\partial u(4,t)}{\partial x} - \frac{u(4,t)}{L} \xrightarrow[\text{انتهایی}]{\text{با توجه به شرط مرزی}} A_1 = 0 \quad (47-4)$$

با توجه به فرمول (۱۲-۵-۴) برای سایر مقادیر ثابت D, C, B, A نیز به همین طریق اثبات

می‌شود که مقدار همگی آنها مساوی صفر خواهند بود بنابراین:

$$\{F\} = \begin{bmatrix} \int \frac{F_x}{h} \phi dx \\ \int \frac{m_x}{h} \phi dx \\ \int \frac{q}{h} \phi dx \\ \int \frac{m_z}{h} \phi dx \end{bmatrix} \quad (48-4)$$

جهت محاسبه، ماتریس $[M], [K]$ مطابق زیر عمل می‌شود :

$$a_{ij} = -\rho \int \phi_j \phi_i dx$$

$$1) i = j = 1 \Rightarrow M_{1,1} = a_{1,1} = \int_{-l/2}^{l/2} \phi_1(x) \phi_1(x) dx = \int \phi_1(x)^2 dx$$

$$\int_{-l/2}^{l/2} \left(\frac{L-2x}{2L} \right)^2 dx = \frac{(L-2x)^3}{24L^2} \Big|_{-l/2}^{l/2}$$

$$M_{1,1} = \frac{-1}{3} \rho L$$

(49-4)

$$2) i = 1, j = 6 \Rightarrow M_{1,6} = a_{1,2} = \rho \int_{-l/2}^{l/2} \phi_2(x) \phi_1(x) dx = \rho \int \left(\frac{2x+L}{2L} \right) \left(\frac{L-2x}{2L} \right) dx$$

$$\rho \int_{-l/2}^{l/2} \frac{(2x+L)(L-2x)}{4L^2} dx = \rho \frac{-\frac{4}{3}x^3 + L^2 x}{24L^2} \Big|_{-l/2}^{l/2}$$

$$M_{1,6} = -\frac{1}{6} \rho L \quad (50-4)$$

به همین طریق برای مابقی عناصر ماتریس به عناصر موجود در آن

$$\begin{aligned} \frac{d\phi_1}{dx} &= \frac{d}{dx} \left(\frac{L-2x}{2L} \right) = -\frac{1}{L} & \frac{d^2\phi_1}{dx^2} &= 0 \\ \frac{d\phi_2}{dx} &= \frac{d}{dx} \left(\frac{2x+L}{2L} \right) = \frac{1}{L} & \frac{d^2\phi_2}{dx^2} &= 0 \end{aligned} \quad (51-4)$$

بنابراین :

$$\begin{aligned} \int \phi_j \frac{d^2\phi_i}{dx^2} dx &= 0 \\ K_{ij} = w_{12} \int_{-l/2}^{l/2} \phi_j \frac{d\phi_i}{dx} dx &\Rightarrow K_{12} = b_{1,2} = w_{12} \int_{-l/2}^{l/2} \phi_2(x) \frac{d\phi_1(x)}{dx} dx \end{aligned} \quad (52-4)$$

$$\begin{aligned} &= w_{12} \int_{-l/2}^{l/2} \left(\frac{2x+L}{2L} \right) \left(\frac{L}{2} \right) dx \\ &= -w_{12} \frac{x^2 + Lx}{2L^2} \Big|_{-l/2}^{l/2} = -\frac{1}{2} w_{12} \\ K_{23} = b_{2,1} &= w_{12} \int_{-l/2}^{l/2} \phi_1(x) \frac{d\phi_2(x)}{dx} dx \\ &= w_{12} \int_{-l/2}^{l/2} \left(\frac{L-2x}{2L} \right) \left(\frac{-L}{2} \right) dx = \frac{Lx - x^2}{2L^2} \Big|_{-l/2}^{l/2} = \frac{1}{2} w_{12} \end{aligned} \quad (53-4)$$

بنابراین پس از محاسبه مقادیر ماتریس K , M بصورت زیر محاسبه می‌شود.

$$[M] = \begin{bmatrix} -\frac{1}{3}\rho l & -\frac{1}{3}wl & 0 & 0 & -\frac{1}{6}\rho l & -\frac{1}{6}wl & 0 & 0 \\ -\frac{1}{6}\rho l & -\frac{1}{6}wl & 0 & 0 & -\frac{1}{3}\rho l & -\frac{1}{3}wl & 0 & 0 \\ -\frac{1}{3}wl & -\frac{1}{3}w_l l & 0 & 0 & -\frac{1}{6}wl & -\frac{1}{6}w_l l & 0 & 0 \\ -\frac{1}{6}wl & -\frac{1}{6}w_l l & 0 & 0 & -\frac{1}{3}wl & -\frac{1}{3}w_l l & 0 & 0 \\ 0 & 0 & -\frac{1}{3}\rho l & -\frac{1}{3}wl & 0 & 0 & -\frac{1}{6}\rho l & -\frac{1}{6}wl \\ 0 & 0 & -\frac{1}{6}\rho l & -\frac{1}{6}wl & 0 & 0 & -\frac{1}{3}\rho l & -\frac{1}{3}wl \\ 0 & 0 & -\frac{1}{3}wl & -\frac{1}{3}w_l l & 0 & 0 & -\frac{1}{6}wl & -\frac{1}{6}w_l l \\ 0 & 0 & -\frac{1}{6}wl & -\frac{1}{6}w_l l & 0 & 0 & -\frac{1}{3}wl & -\frac{1}{3}w_l l \end{bmatrix} \quad (54-4)$$

$$[K] = \begin{bmatrix} 0 & 0 & -\frac{1}{2}w_{12} & -\frac{\lambda}{2} & 0 & 0 & -\frac{1}{2}w_{12} & -\frac{\lambda}{2} \\ 0 & 0 & -\frac{1}{2}w_{12} & -\frac{\lambda}{2} & 0 & 0 & -\frac{1}{2}w_{12} & -\frac{\lambda}{2} \\ 0 & -\frac{1}{6}w_{11}L & \frac{1}{2}w_{11} & -\frac{1}{2}w_6 & 0 & -\frac{1}{6}w_{11}L & \frac{1}{2}w_{11} & -\frac{1}{2}w_6 \\ 0 & -\frac{1}{6}w_{11} & \frac{1}{2}w_{11} & -\frac{1}{2}w_6 & 0 & -\frac{1}{6}w_{11} & \frac{1}{2}w_{11} & -\frac{1}{2}w_6 \\ -\frac{1}{2}w_{12} & \frac{1}{2}w_{11} & -\frac{1}{3}w_{10}L & -\frac{1}{6}(w_7 + w_{12})L & -\frac{1}{2}w_{12} & \frac{1}{2}w_{11} & -\frac{1}{3}w_{10}L & -\frac{1}{6}(w_7 + w_{12})L \\ -\frac{1}{2}w_{12} & \frac{1}{2}w_{11} & -\frac{1}{3}w_{10}L & -\frac{1}{6}(w_7 + w_{12})L & -\frac{1}{2}w_{12} & \frac{1}{2}w_{11} & -\frac{1}{3}w_{10}L & -\frac{1}{6}(w_7 + w_{12})L \\ -\frac{\lambda}{2} & -\frac{1}{2}w_6 & -\frac{1}{6}(w_7 + w_{12})L & \frac{1}{3}(w_8 - w_{12})L & -\frac{\lambda}{2} & -\frac{1}{2}w_6 & -\frac{1}{6}(w_7 + w_{12})L & \frac{1}{3}(w_8 - w_{12})L \\ -\frac{\lambda}{2} & -\frac{1}{2}w_6 & -\frac{1}{6}(w_7 + w_{12})L & \frac{1}{3}(w_8 - w_{12})L & -\frac{\lambda}{2} & -\frac{1}{2}w_6 & -\frac{1}{6}(w_7 + w_{12})L & \frac{1}{3}(w_8 - w_{12})L \end{bmatrix}$$

: ۴

$$w_4 = \frac{(\lambda + 2\mu)h^2}{12R}$$

$$w_1 = \frac{\rho h^2}{12}$$

$$w_5 = \frac{(\lambda + 2\mu)h^2}{12}$$

$$w_7 = \frac{(\lambda + 2\mu)\beta}{Rh}$$

$$w_9 = (\lambda + 2\mu) \left(1 + \frac{1}{Rh} \right)$$

$$w_8 = \frac{\kappa^2 \mu h^2}{12}$$

$$w_{10} = \frac{(\lambda + 2\mu)\alpha}{Rh}$$

$$w_{11} = -\kappa^2 \mu$$

$$w_{12} = -\frac{\lambda}{R}$$

(۵۵-۴)

۱-۵ مقدمه :

روشهای انتگرال گیری عددی بسیاری، جهت حل معادلات به فرم کلی :

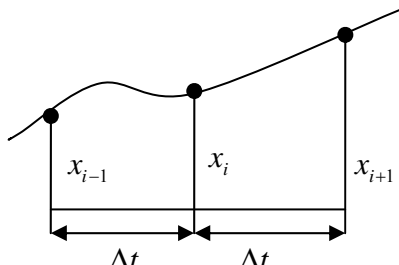
$$[M]\{\ddot{x}\} + [C]\{\dot{x}\} + [K]\{x\} = \{F(t)\} \quad (1-5)$$

ارائه شده است که در آن $[M][C][K]$ به ترتیب مقادیر ماتریس‌های سختی، دمپینگ و جرم بوده، بردارهای $\{\dot{x}\}, \{\ddot{x}\}$ به ترتیب بردارهای جابجایی، سرعت و شتاب است و $\{F(t)\}$ کار نیروهای خارجی می‌باشد که می‌توان آنها را به دو دسته مستقیم^۱ و ضمنی^۲ تقسیم کرد. در این فصل برخی از این روش‌ها تشریح و مسئله موردنظر به کمک آن حل می‌شود.

۲-۵ روش‌های مستقیم:

۲-۵-۱ روش تفاضلات مرکزی^۳

فرض می‌شود منحنی مکان-زمان همانند شکل (۱-۵) باشد



شکل ۱-۵ منحنی زمان-

معادله سرعت در زمان Δt بصورت:

$$\dot{x}_{i+1/2} = \frac{x_{i+1} - x_i}{\Delta t} \quad (2-5)$$

و شتاب بصورت:

$$\ddot{x}_i = \frac{\dot{x}_{i+1/2} - \dot{x}_{i-1/2}}{\Delta t} \quad (3-5)$$

با استفاده از تعریف سرعت در معادله (۲-۵) و جایگذاری در معادله (۳-۵):

$$\ddot{x}_i = \frac{1}{\Delta t^2} (x_{i+1} - 2x_i + x_{i-1}) \quad (4-5)$$

¹ Explicit Method

² Implicit Method

³ Centeral Difference Method

بنابراین فرمول تفاضل برای تفاضلات مرکزی بصورت:

$$\{\dot{x}_t\} = \frac{1}{2\Delta t} [\{x_{t+\Delta t}\} - \{x_{t-\Delta t}\}] \quad (5-5)$$

$$\{\ddot{x}_t\} = \frac{1}{2\Delta t} [\{x_{t+\Delta t}\} - 2\{x_t\} + \{x_{t-\Delta t}\}] \quad (6-5)$$

با جایگذاری معادلات (5-5) و (6-5) در معادله (1-5):

$$\begin{aligned} & \left(\frac{1}{\Delta t^2} [m] + \frac{1}{2\Delta t} [c] \right) \{x_{t+\Delta t}\} \\ &= \{Q_t\} - \left([k] - \frac{2}{\Delta t^2} [m] \right) \{x_t\} - \left(\frac{1}{\Delta t^2} [m] - \frac{1}{2\Delta t} [c] \right) \{x_{t-\Delta t}\} \end{aligned} \quad (7-5)$$

معادله فوق را می‌توان بصورت زیر نوشت:

$$[\bar{m}] \{x_{t+\Delta t}\} = \{\bar{Q}_t\} \quad (8-5)$$

$$\begin{aligned} & [\bar{m}] = \frac{1}{\Delta t^2} [m] + \frac{1}{2\Delta t} [c] \\ & \{\bar{Q}_t\} = \{Q_t\} - \left([k] - \frac{2}{\Delta t^2} [m] \right) \{x_t\} - \left(\frac{1}{\Delta t^2} [m] - \frac{1}{2\Delta t} [c] \right) \{x_{t-\Delta t}\} \end{aligned} \quad (9-5)$$

نکته مهم در تفاضل مرکزی انتخاب Δt است که با رابطه زیر محدود می‌شود:

$$\Delta t \leq \frac{2}{\omega_{\max}} \quad (10-5)$$

۲-۵ سیکل تکرار دوگانه با قاعده ذوزنقه ای^۱ [۲۷]

فرم معادلات بصورت زیر است:

$$[m] \{\Delta \ddot{x}_t\} = \{\Delta Q_t\} - [k] \{\Delta x_t\} - [c] \{\Delta \dot{x}_t\} \quad (11-5)$$

برای سیکل اول:

¹ Two-cycle iteration with trapezoidal rule

برای زمان اول:

زمانهای بعدی:

$$\{\Delta \dot{x}_t\} = \Delta t \{\ddot{x}_{t-\Delta t}\}$$

$$\{\dot{x}_t\} = \{\dot{x}_{t-\Delta t}\} - \{\Delta \dot{x}_t\}$$

$$\{\Delta x_t\} = \frac{\Delta t}{2} \{\dot{x}_{t-\Delta t}\} + \{\dot{x}_t\} \quad (12-5)$$

بنابراین برای سیکل اول شتاب بصورت زیر است:

$$\{\Delta \ddot{x}_t\} = [m]^{-1} (\{Q_t\} - [k]\{\Delta x_t\} - [c]\{\Delta \dot{x}_t\})$$

$$\{\ddot{x}_t\} = \{\ddot{x}_{t+\Delta t}\} + \{\Delta \ddot{x}_t\} \quad (13-5)$$

در سیکل دوم زمانی :

سرعت و شتاب بصورت زیر است:

$$\{\Delta \dot{x}_t\} = \frac{\Delta t}{2} \{\ddot{x}_{t-\Delta t}\} + \{\ddot{x}_t\}$$

$$\{\dot{x}_t\} = \{\dot{x}_{t-\Delta t}\} + \{\Delta \dot{x}_t\}$$

$$\{\Delta x_t\} = \frac{\Delta t}{2} (\{\dot{x}_{t-\Delta t}\} + \{\dot{x}_t\}) \quad (14-5)$$

در نهایت مقادیر $\{\Delta x_t\}$ و $\{\Delta \dot{x}_t\}$ از معادله (14-5) محاسبه شده و در معادله اول (4-5) جایگزین و

سپس از قسمت دوم معادله (13-5) شتاب جدید حاصل می شود.

۳-۵ روش های ضمنی

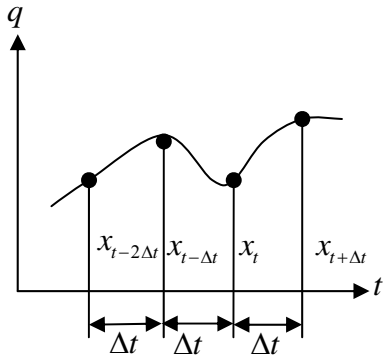
۱-۳-۵ [۲۷]Houbolt روش

این روش بر پایه میانیابی درجه سوم از جابجایی ها است. در روش هوبولت از عناصر جابجایی با

استفاده از روش دیفرانسیلی پس رونده^۱ جهت استخراج فرمولهای ضمنی سرعت و شتاب، که در

شکل (۱-۲-۵) آمده است استفاده می گردد.

¹ Backward differences



$$\begin{aligned}
 x_t &= x_{t+\Delta t} - \Delta t \dot{x}_{t+\Delta t} + \frac{\Delta t^2}{2} \ddot{x}_{t+\Delta t} - \frac{\Delta t^3}{6} \dddot{x}_{t+\Delta t} \\
 x_{t-\Delta t} &= x_{t+\Delta t} - (2\Delta t) \dot{x}_{t+\Delta t} + \left(2 \frac{\Delta t}{2}\right)^2 \ddot{x}_{t+\Delta t} - \left(\frac{2\Delta t}{6}\right)^3 \dddot{x}_{t+\Delta t} \\
 x_{t-2\Delta t} &= x_{t+\Delta t} - (3\Delta t) \dot{x}_{t+\Delta t} + \left(3 \frac{\Delta t}{2}\right)^2 \ddot{x}_{t+\Delta t} - \left(\frac{3\Delta t}{6}\right)^3 \dddot{x}_{t+\Delta t}
 \end{aligned} \quad (15-5)$$

شکل (۲-۵) منحنی زمان-مکان

در روش هوپولت

برای حل معادلات (۱۵-۵) باید مقادیر $\dot{x}_{t+\Delta t}$ و $\ddot{x}_{t+\Delta t}$ مشخص باشند بنابراین :

$$\ddot{x}_{t+\Delta t} = \frac{1}{\Delta t^2} (2x_{t+\Delta t} - 5x_t + 4x_{t-\Delta t} - x_{t-2\Delta t}) \quad (16-5)$$

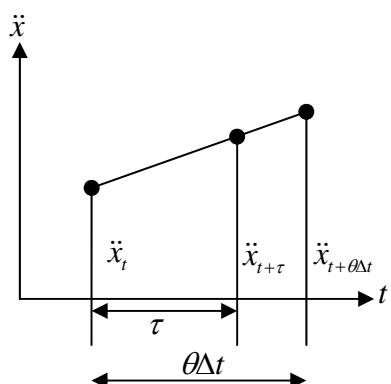
$$\dot{x}_{t+\Delta t} = \frac{1}{6\Delta t} (11x_{t+\Delta t} - 18x_t + 9x_{t-\Delta t} - 2x_{t-2\Delta t})$$

بنابراین :

$$\begin{aligned}
 \left(\frac{2}{\Delta t^2} [m] + \frac{11}{6\Delta t} [c] + [k] \right) \{x_{t+\Delta t}\} &= \{Q_{t+\Delta t}\} + \left(\frac{5}{\Delta t^2} [m] + \frac{3}{\Delta t} [c] \right) \{x_t\} \\
 &+ \left(\frac{4}{\Delta t^2} [m] + \frac{3}{2\Delta t} [c] \right) \{x_{t-\Delta t}\} + \left(\frac{1}{\Delta t^2} [m] + \frac{1}{3\Delta t} [c] \right) \{x_{t-2\Delta t}\}
 \end{aligned} \quad (17-5)$$

از معادله (۳-۱-۲-۵) مقدار جابجایی $x_{t+\Delta t}$ در زمان $t + \Delta t$ تعیین شده و با جایگذاری در معادلات

(۲-۱-۲-۵) مقادیر سرعت و شتاب در زمان $t + \Delta t$ تعیین می‌گردد.



شکل (۳-۵) تغییرات شتاب نسبت به

زمان در روش Wilson theta

[۲۷] Wilson theta ۲-۳-۵ روش

در این روش فرض می‌شود که برای یک افزایش

زمانی $\theta \Delta t$ ($\theta \geq 1.0$) مقدار شتاب بصورت خطی

افزایش پیدا می‌کند یا در طی این فاصله زمانی

خصوصیات دینامیکی سیستم ثابت باقی می‌ماند.

اگر τ افزایش زمان از t تا $t + \Delta t$ باشد،

$$\ddot{x}_{t+\Delta t} = \ddot{x}_t + \frac{\tau}{\theta \Delta t} (\ddot{x}_{t+\theta \Delta t} - \ddot{x}_t) \quad (18-5)$$

که در نهایت :

$$[\bar{m}] \{x_{t+\theta \Delta t}\} = \{\bar{Q}_{t+\theta \Delta t}\}$$

$$[\bar{m}] = \frac{6}{\theta^2 \Delta t^2} [m] + \frac{3}{\theta \Delta t} [c] + [k] \quad (19-5)$$

$$\begin{aligned} \{\bar{Q}_{t+\theta \Delta t}\} &= \{Q_{t+\theta \Delta t}\} + \left(\frac{6}{\theta^2 \Delta t^2} [m] + \frac{3}{\theta \Delta t} [c] \right) \{x_t\} + \left(\frac{6}{\theta \Delta t} [m] + 2[c] \right) \{\dot{x}_t\} + \\ &\quad \left(2[m] + \frac{\theta \Delta t}{2} [c] \right) \{\ddot{x}\} \end{aligned}$$

با حل معادله (19-5) مقدار $x_{t+\theta \Delta t}$ حاصل می شود و برای محاسبه شتاب و سرعت و جابجایی از

معادلات زیر استفاده می گردد.

$$\{\ddot{x}_{t+\Delta t}\} = \frac{6}{\theta^3 \Delta t^2} (\{x_{t+\theta \Delta t}\} - \{x_t\}) - \frac{6}{\theta^2 \Delta t} (\{\dot{x}_t\}) + \left(1 + \frac{3}{\theta} \right) \{\ddot{x}_t\} \quad (20-5)$$

$$\{\dot{x}_{t+\Delta t}\} = \{\dot{x}_t\} + \frac{\Delta t}{2} (\{\ddot{x}_{t+\Delta t}\} + \{\ddot{x}_t\})$$

$$\{x_{t+\Delta t}\} = \{x_t\} + \Delta t \{\dot{x}_t\} + \frac{\Delta t^2}{6} (\{\ddot{x}_{t+\Delta t}\} + 2\{\ddot{x}_t\})$$

مقدار $\theta \geq 1.37$ برای یک سیستم خطی باعث ناپایداری می شود. البته از مقدار $1/5$ برای سیستمهای غیر خطی استفاده می گردد.

[۲۷] Park ۳-۳-۵ روش

در این روش فرمولهای شتاب و سرعت به صورت زیر بیان می گردد:

$$\{\ddot{x}_{t+\Delta t}\} = \frac{1}{6\Delta t} [10\{\dot{x}_{t+\Delta t}\} - 15\{\dot{x}_t\} + 6\{\dot{x}_{t-\Delta t}\} - \{\dot{x}_{t-2\Delta t}\}] \quad (21-5)$$

$$\{\dot{x}_{t+\Delta t}\} = \frac{1}{6\Delta t} [10\{x_{t+\Delta t}\} - 15\{x_t\} + 6\{x_{t-\Delta t}\} - \{x_{t-2\Delta t}\}]$$

با جایگذاری معادلات (21-5) در معادله (1-5) مقدار جابجایی بصورت زیر حاصل می شود:

$$\left(\frac{100}{36\Delta t^2} [m] + \frac{10}{6\Delta t} [c] + [k] \right) \{x_{t+\Delta t}\} = \{Q_{t+\Delta t}\} + \frac{15}{6\Delta t} [m] \{\dot{x}_t\} - \frac{1}{\Delta t} [m] \{\dot{x}_{t-\Delta t}\} + \frac{1}{6\Delta t} [m] \{\dot{x}_{t-2\Delta t}\}$$

$$\left(\frac{150}{36\Delta t^2} [m] + \frac{15}{6\Delta t} [c] \right) \{x_t\} - \left(\frac{10}{6\Delta t} [m] + \frac{1}{\Delta t} [c] \right) \{x_{t-\Delta t}\} + \left(\frac{1}{36\Delta t^2} [m] + \frac{1}{6\Delta t} [c] \right) \{x_{t-2\Delta t}\} \quad (22-5)$$

با استفاده از معادله (22-5) مقدار جابجایی بدست آمده، در معادلات (21-5) جهت محاسبه سرعت و سپس شتاب جایگزین می گردد. در استفاده از این روش حدس اولیه جهت شروع می باشد.

۴-۵ کد نویسی برای نرم افزار Maple

برای حل معادله (30-۴)، یک کد در محیط Maple آماده شده است.

ورودیهای برنامه عبارتند از:

الف: مشخصات هندسی: شعاع- طول- ضخامت

ب: مشخصات جنس پوسته: چگالی- ضریب پواسون- مدول یانگ

ج: مشخصات بارگذاری: دامنه بار

جدول ۳-۵ مشخصات هندسی، جنس و باروارده بر پوسته

مقدار	واحد	مشخصات پوسته و بار
۰/۵	m	طول
۰/۰۸	m	شعاع میانی
۰/۰۱	m	ضخامت
۲۰۹	GPa	مدول الاستیسیته
۰/۳		ضریب پواسون
۷۹۴۰	Kg/m ³	چگالی
۱۲۴۲	m/s	سرعت
۵۰۰۰۰	Pa	فشار

تعداد المان : ne است. هرچه ne بیشتر باشد دقت بیشتر و محاسبات رطولانی تراست. معمولاً یک مقدار بهینه برای آن انتخاب می شود.

درجه آزادی کل : تعداد گرهها $nn = ne + 1$ است . هر گره چهار درجه آزادی دارد بنابراین درجه

آزاد کل عبارتست از حاصلضرب تعداد گرهها در درجه آزادی هر گره $\text{dim} = nn * nd$ ماتریس ارتباطی:^۱ مشخص کننده رابطه بین شماره هر گره در المان با شماره عمومی گره است.

بردار زمان: پس از تعریف زمان عبور فشار از کل پوسته و هر المان ، این مقادیر در بردار زمان ذخیره می گردد.

توابع شکل: با توجه به فصل چهارم توابع شکل تعریف می گردد.

ماتریسهای جرم و سختی برای یک المان : از توابع شکل و ماتریس ارتباطی ماتریسهای M ، K حاصل میشود ، مقادیر برای یک المان می باشد.

مونتاژ ماتریسهای جرم و سختی برای المانها: با مونتاژ ماتریس المان، با روش‌های متداول در FE انجام می شود.

گام زمانی: جهت محاسبه Δt یا گام زمانی که در واقع تقسیماتی است که برروی دوره زمانی مسئله صورت می گیرد تا پاسخهای صحیح و پایدار بدست آید، برای هر مسئله یک Δt_{cr} (گام زمانی بحرانی) وجود دارد که تحت هر شرایطی باید گام زمانی Δt از Δt_{cr} کوچکتر باشد.

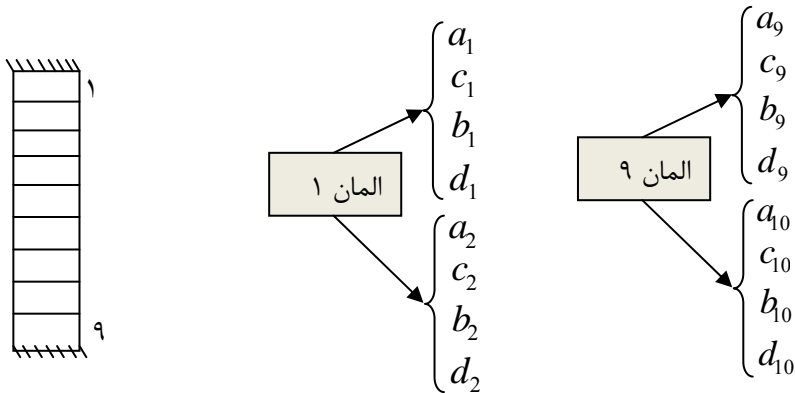
برای تعیین گام زمانی محققین ، پیشنهادهای متفاوتی دارند. برای مثال صدرنژاد [۲۹] مقدار $\frac{T}{\pi}$ را پیشنهاد می کنند که T زمان یک ارتعاش یا همان دوره تناوب نوسان است اما بهتر است که حتی الامکان گام زمانی کوچکتر درنظر گرفته شود. در صورتیکه مقدار گام زمانی بزرگتر از Δt_{cr} باشد، پاسخها پایدار نبوده و با تغییرات در تعداد المانها و مشبندی مسئله، پاسخها متفاوت خواهند بود و به یک مقدار همگرا نخواهد بود.

^۱ Connectivity.

محاسبه نیرو: با توجه به نوع بار (فشاری) و شکل مسئله مقدار نیروی f_x صفر بوده بنابراین مقادیر

نیروهای F_x و m_x صفر می باشد.

شرایط مرزی: با توجه به دوسر گیردار بودن پوسته :



شکل (۱-۵) شماتیک جابجایی ها در نقاط مرزی

برای المان بندی فرضی همانند شکل (۱-۵) مقادیر جابجایی $a_{10}, c_{10}, b_{10}, d_{10}$, a_1, c_1, b_1, d_1 همگی برابر صفر می باشند، بنابراین چهار ستون ابتدا و انتهای ماتریس‌های جرم و سختی و بردار نیرو

همگی برای المان بندی فرضی همانند شکل (۱-۵) مقادیر جابجایی های شعاعی و محوری بدست می آید.

محاسبه جابجایی المانها : پس از محاسبه مقادیر a_j, c_j, b_j, d_j در المانها با

$$\text{استفاده از معادله} \quad \begin{cases} u_x = u + z\psi_x \\ u_z = w + z\psi_z \end{cases} \quad \text{مقادیر جابجایی های شعاعی و محوری بدست می آید.}$$

[۲۸]Abaqus ۵-۵ تحلیل با

۱-۵-۵ مقدمه:

بدون شک استفاده از روش‌های المان محدود امروزه بسیار گسترده‌تر از قبل است که مهمترین دلیل آن ظهور کامپیوترها است که توانایی انجام محاسبات طولانی و با حجم زیاد را در اختیار محققان قرار می دهد. در حال حاضر علاوه بر نرم افزارهای ریاضی مانند Maple که امکان نوشتمن کد برای انجام محاسبات تکراری با مقادیر ورودی های مختلف را فراهم می آورند نرم افزارهایی مختص روش‌های المان محدود نیز موجود است.

از انواع این نرم افزارها می توان به Abaqus و Ansys و Algor, Adina و Nastran اشاره کرد که این امکان را فراهم می آورند تا مهندسان براحتی از نتایج المان محدود بهره‌مند شوند.

۲-۵-۵ معرفی کلی نرم افزار

یک نرم افزار تجاری در حل مسائل المان محدود است که توسط شرکت Simulia که زیر نظر مجموعه شرکت Dassault system است طراحی شده است. Abaqus دارای سه هسته اصلی است.

Abaqus/Standard یک تحلیلگر چند منظوره و برای مسائل استاتیکی و سایر مسائل مشابه بکار می رود.

Abaqus/Explicit برای حل مسائل المان محدود دینامیکی گذرا و بویژه غیر خطی و همچنین مسائل شبیه استاتیکی بکار می رود.

Abaqus/cae شامل محیط های طراحی (processing) و نمایش خروجی ها (post processing) می باشد.

Abaqus قابلیت تحلیل مسائل در سازه های آکوستیک^۱ پیزو الکتریک ، مسائل دمایی و... را دارد.اما مهمترین برتری این نرم افزار در محیط های غیر خطی و مواد الاستومریک^۲ (لاستیکی شکل) است. همچنین توان محاسباتی بالای نرم افزار اجازه می دهد تا بتوان از المانهای مختلف و بزرگ نسبتاً زیاد استفاده نمود.

۳-۵-۵ مدل نمودن در Abaqus

برای انجام مدل در Abaqus مراحل زیر باید انجام پذیرد:

Part

Property

Assemly

Step

¹ Acoustic

² Elastomeric

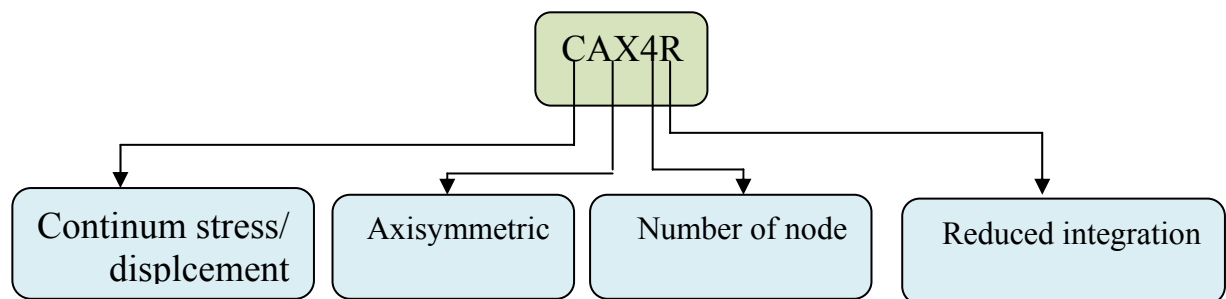
Interaction
 Load
 Mesh
 Job
 Visualization
 Sketch

جزئیات روش تحلیل با Abaqus در پیوست آورده شده است.

پوسته جدار ضخیم الاستیک و ایزوتروپ با خصوصیات ذکر شده در جدول (۱-۵) ذکر شده است.

انتخاب المان:

برای مدل نمودن مسئله از تقارن محوری استفاده می شود که بدلیل تقارن هندسه و بارگذاری مسئله است. یکی از متداولترین نوع المان در تقارن محوری المانهای CAX4R میباشد که:

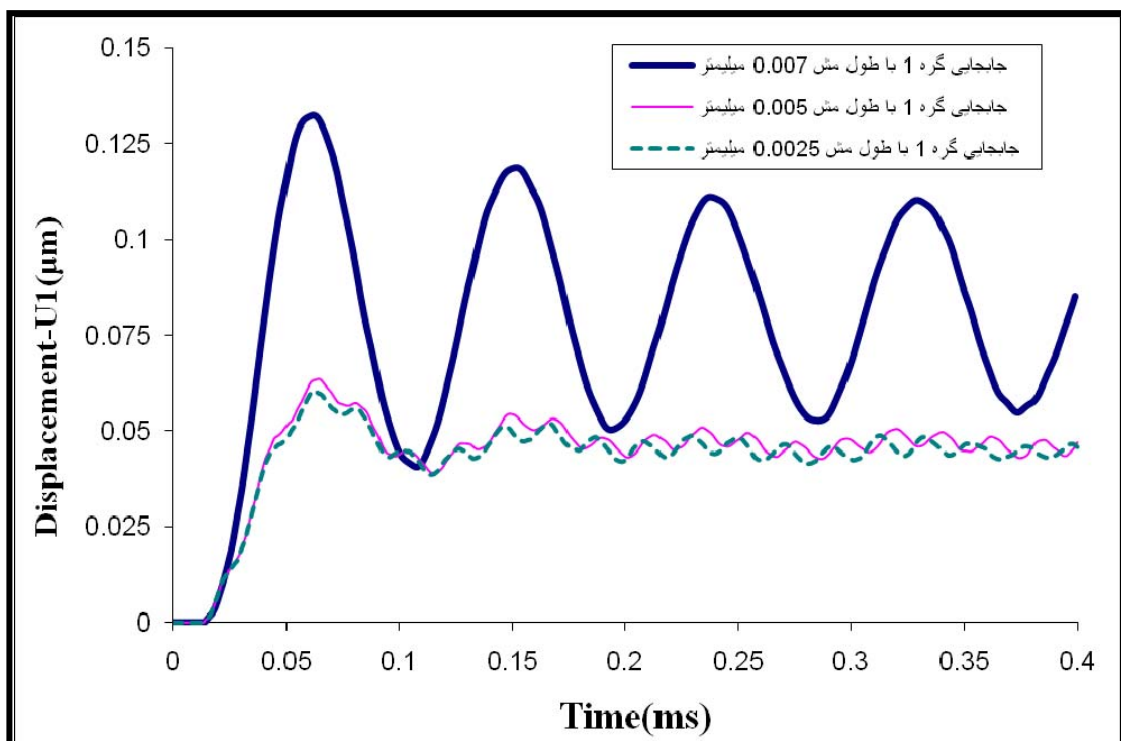


شکل ۲-۵ المان CAX4R

در این المان هر گره دارای دو درجه آزادی است و انواع بارهای متتمرکز و گستردگی و فشاری یا کششی را میتوان به این المان اعمال نمود. همچنین مش حاصل از این المان دارای هندسه بهتر و منظم تری است.

مش بندی:

در مش بندی علاوه بر توجه به تعداد المان توجه به هندسه مش نیز اهمیت دارد. برای انتخاب المان بهینه، باید از تعداد المانهای کم استفاده کرد و به تدریج آن را افزایش داد و این کار تا جایی ادامه پیدا کند که پاسخ‌ها به یک ثبات رسیده و تغییرات آن با تغییر المان ناچیز باشد. با توجه به اینکه مش‌ها مربع شکل می‌باشد مقدار جابجایی برای گره یک مطابق با شکل (۱۰-۵) برای مش با طول های ۰/۰۰۷ و ۰/۰۰۵ و ۰/۰۰۴ میلیمتر در شکل (۳-۵) رسم شده است. که مطابق آن المان با طول مش ۰/۰۰۲۵ میلیمتر به عنوان المان بهینه انتخاب شده است.



شکل ۳-۵ مقایسه اثر تغییرات تعداد المان در جابجایی‌ها برای گره ۱

تعریف بار:

در مسئله مورد بررسی، بار بصورت متحرک است. اما در نرم افزار چنین باری تعریف نشده است. اگر چه عدم تعریف بار متحرک باعث ایجاد خطا خواهد شداماً با تقسیم بندی بار به فاصله‌های مختلف

طول مخزن در زمانهای متوالی ، رفتار بار دینامیکی شبیه سازی می گردد. زمان اعمال بار به تعدادی زیر بازه تقسیم شده و با افزایش زمان سطح وسیعتری از مخزن تحت بار قرار گرفته و در نهایت این کار تا آنجا ادامه میابد که بار کل مخزن را فرا گیرد.

شرایط مرزی:

با توجه به اینکه شرایط مرزی دو سر گیر دار^۱ است ، کلیه درجات آزادی برای دوسر المان مساوی صفر است.

در شکل (۴-۵) المان بندی سازه نشان داده شده است.

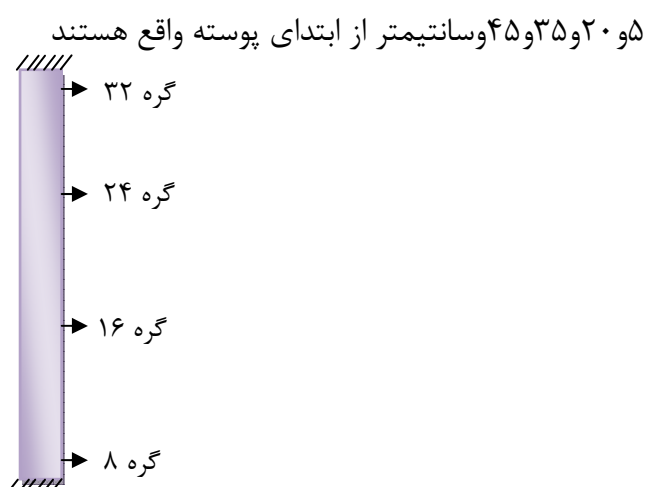


شکل (۴-۵) المان بندی سازه در Abaqus

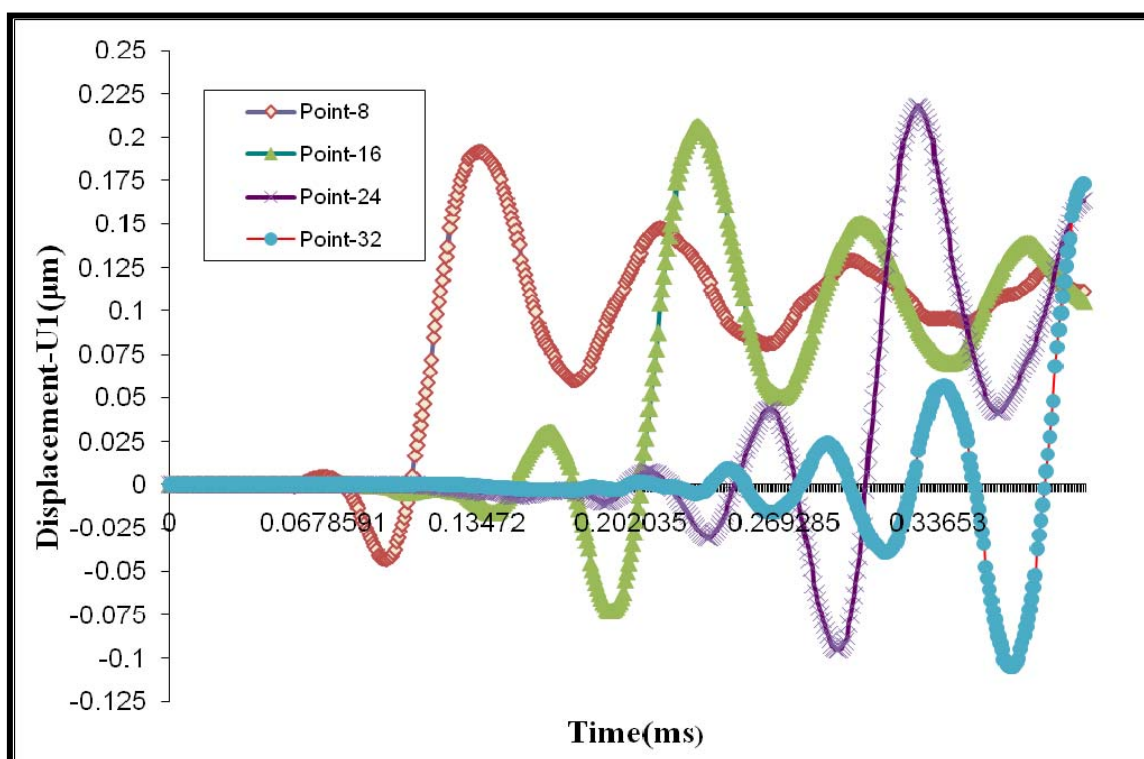
^۱ Clamped

۶-۵ بررسی نتایج:

در این بخش پاسخهای بدست آمده از نرم افزار های Maple و Abaqus مقایسه خواهند شد. در این نرم افزارها مقادیر جابجایی برای گره هایی واقع بر جدار داخلی پوسته، نمایش داده می شود. موقعیت شماتیک گره ها در شکل(۶-۵) نشان داده شده است. این گره ها به ترتیب در فاصله ۴۵ و ۳۵ و ۲۰ سانتیمتر از ابتدای پوسته واقع هستند.

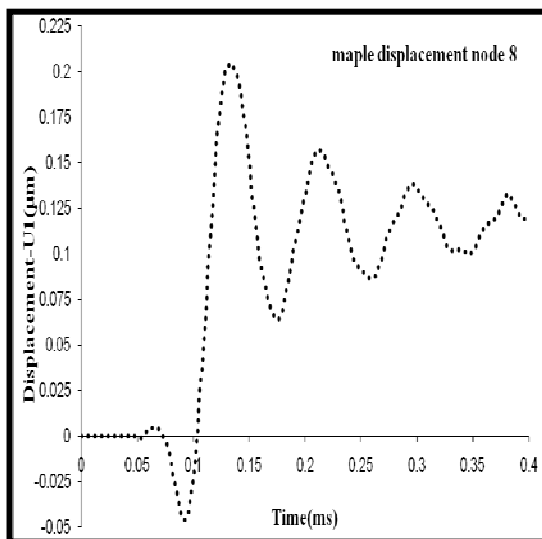


شکل ۶-۵ شماتیک گره ها

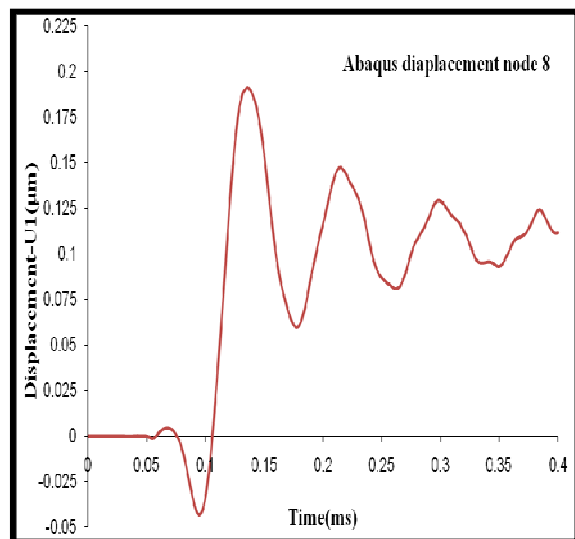


شکل(۶-۵) مقایسه جابجایی های شعاعی برای گره های ۸ و ۱۶ و ۲۴ و ۳۲ در Abaqus

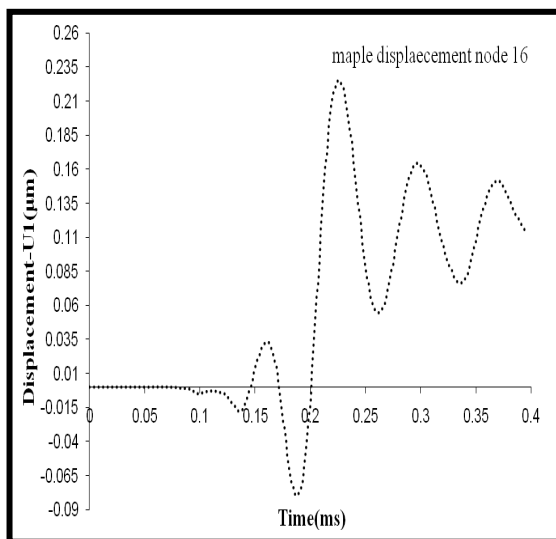
در شکل های (۷-۵) الی (۱۳-۵) جابجایی های شعاعی بر حسب زمان در نرم افزار Abaqus و Maple آورده شده است.



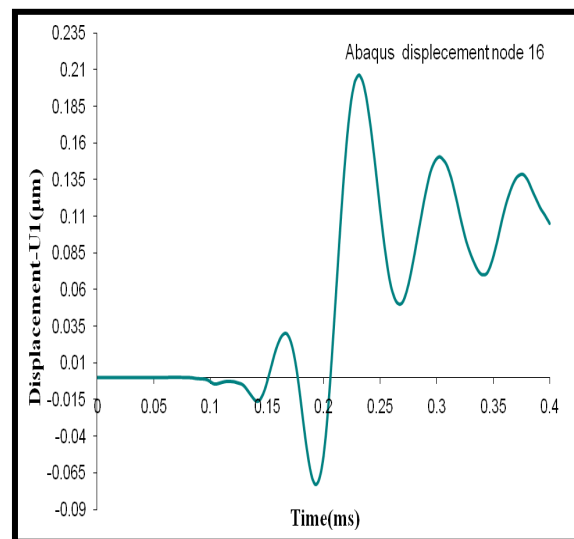
شکل(۷-۵) جابجایی شعاعی برای گره ۸ در نرم افزار Maple



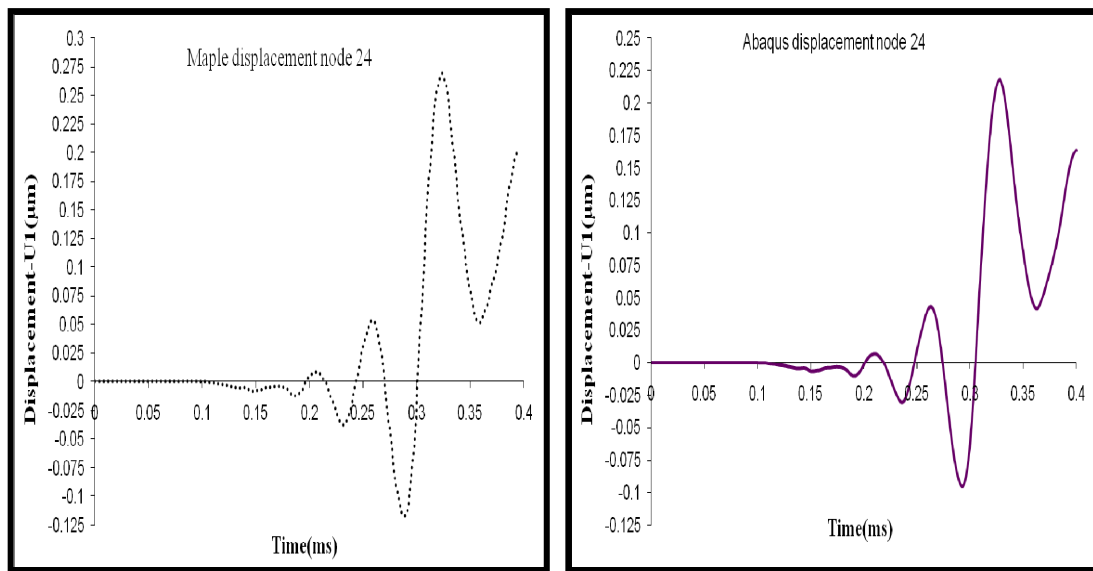
شکل(۸-۵) جابجایی شعاعی برای گره ۸ در نرم افزار Abaqus



شکل(۹-۵) جابجایی شعاعی برای گره ۱۶ در نرم افزار Maple

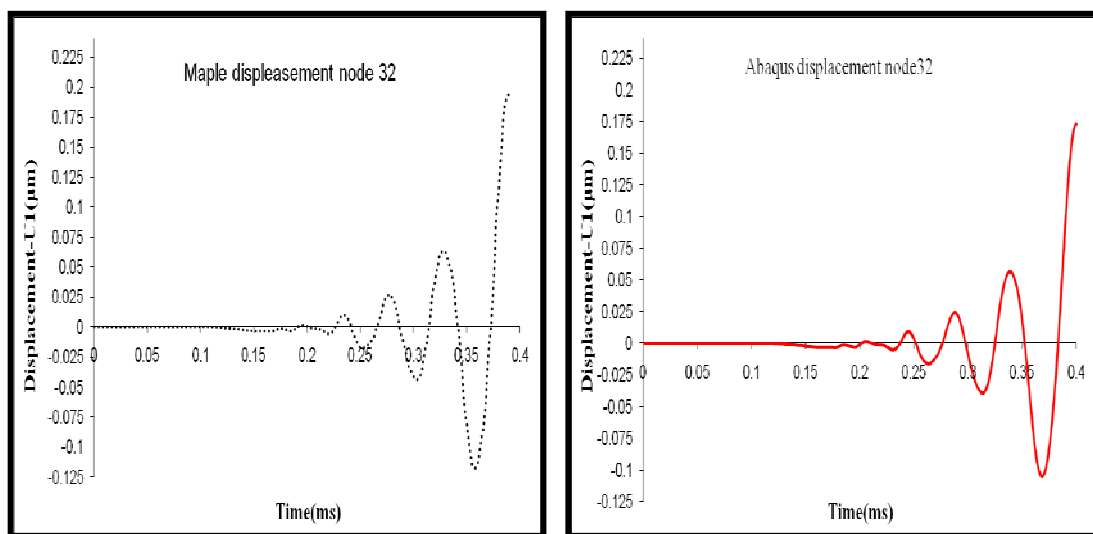


شکل(۱۰-۵) جابجایی شعاعی برای گره ۳۲ نرم افزار Abaqus



شکل (۱۱-۵) جابجایی شعاعی برای گره ۲۴ در نرم افزار Maple

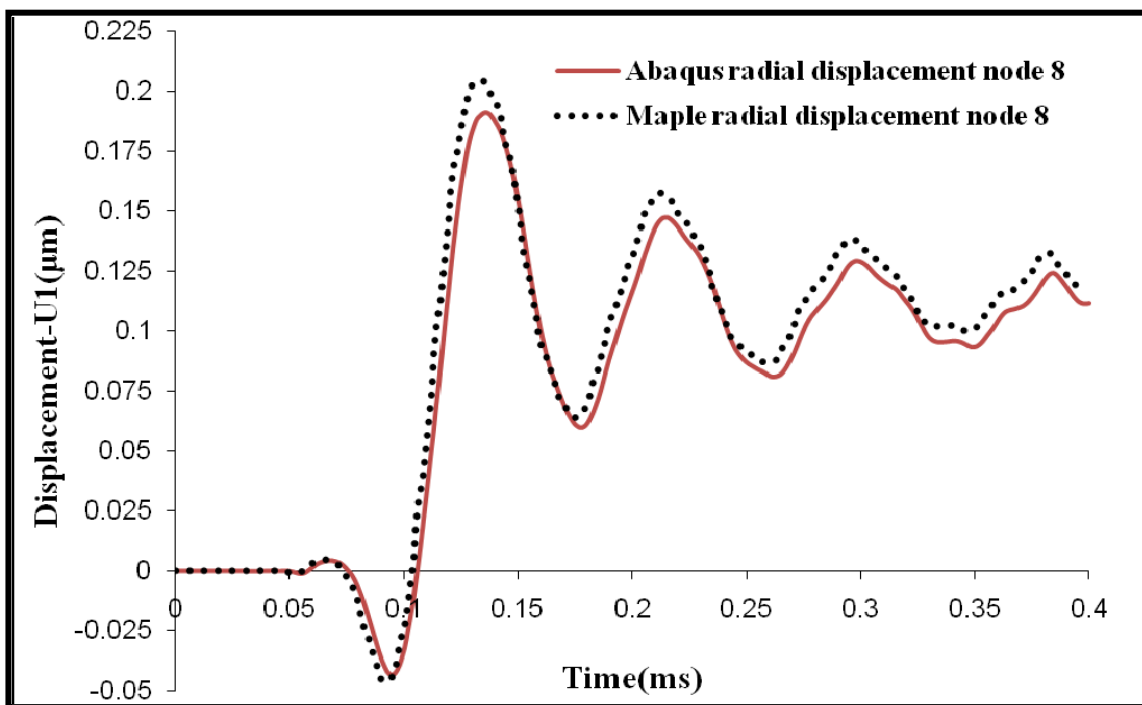
شکل (۱۲-۵) جابجایی شعاعی برای گره ۲۴ در نرم افزار Abaqus



شکل (۱۲-۵) جابجایی شعاعی برای گره ۳۲ در نرم افزار Maple

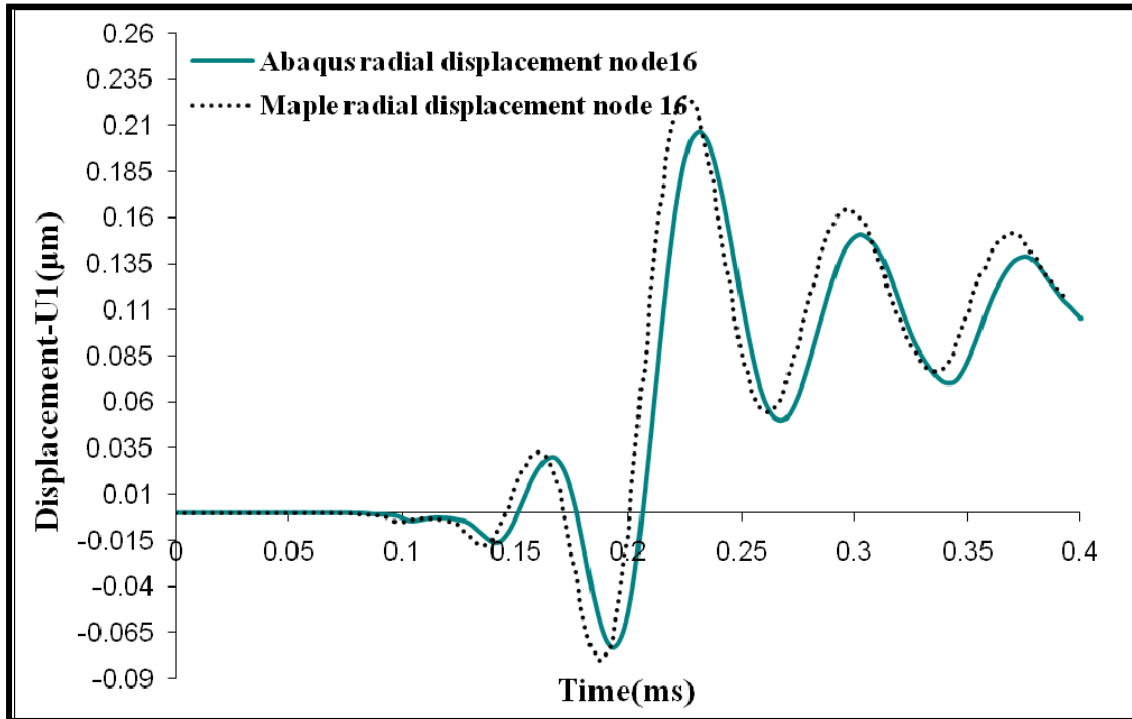
شکل (۱۲-۵) جابجایی شعاعی برای گره ۳۲ در نرم افزار Abaqus

در شکل (۱۴-۵)، نمودار مقایسه ای جابجایی های شعاعی برای دو نرم افزار Abaqus و Maple برای گره ۸ آورده شده است. همانگونه که مشاهده می شود تا قبل از اینکه بار به گره مورد نظر برسد، مقدار جابجایی برای دو نرم افزار صفر و یا خیلی ناچیز می باشد با نزدیک شدن بار به گره مورد بررسی جابجایی تا ماکریم مقدار خود می رسد و سپس نقطه مورد نظر با دامنه تقریباً ثابت، حول نقطه تعادل استاتیک، نوسان می کند. در سیستم میرایی تعریف شده است و علت کاهش دامنه نوسانات، اثر پذیری و اختلاف فاز جابجایی نقطه مورد نظر از نقطه مجاور خود می باشد.



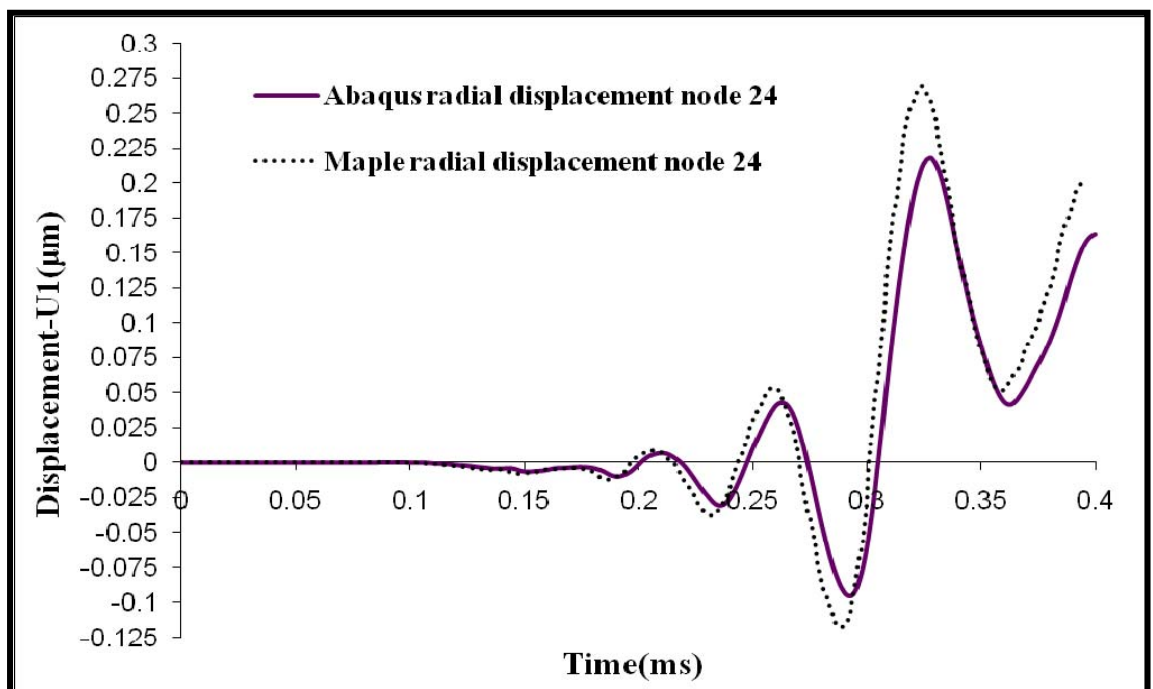
شکل (۱۴-۵) مقایسه جابجایی های شعاعی برای گره ۸ در Maple و Abaqus

همانطور که در شکل (۱۵-۵) مشاهده می شود در گره ۱۶ جابجایی های شعاعی در مقایسه با شکل (۱۴-۵) دیرتر آغاز می گردد علت آن دیرتر رسیدن بار به نقطه مورد نظر می باشد.



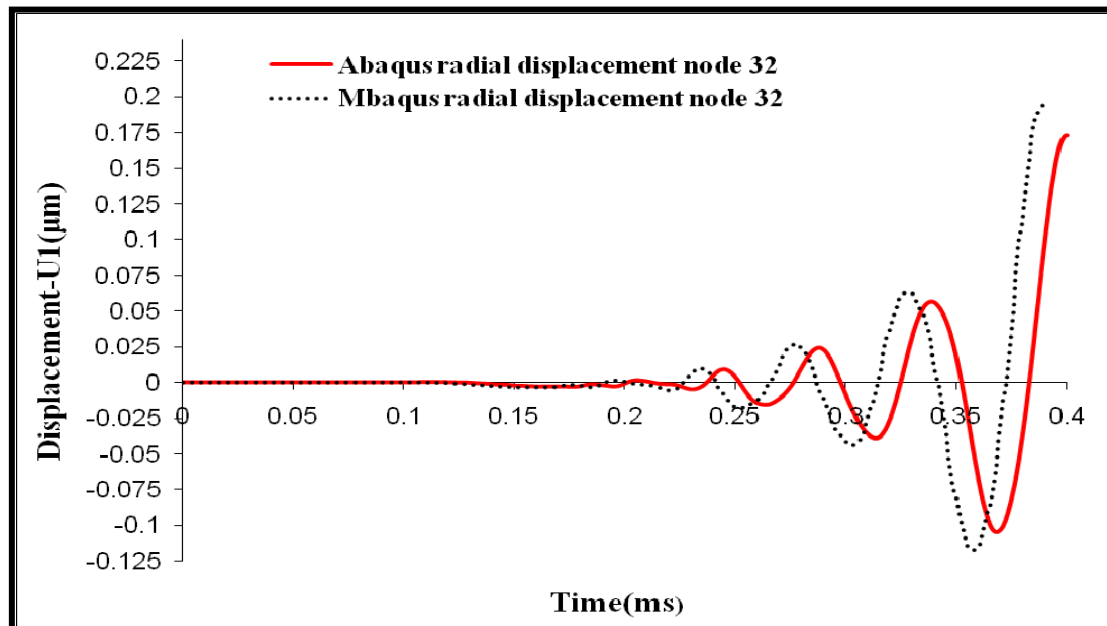
شکل (۱۵-۵) مقایسه جابجایی های شعاعی برای گره ۱۶ در Maple و Abaqus

همانطور که در شکل (۱۶-۵) مشاهده می شود میزان جابجایی در گره ۲۴ بیشترین مقدار خود را در بین تمام جابجایی ها دارد این امر را به خاطر دور بودن این نقطه از اثرات مرزی باید دانست. روند جابجایی ها در شکل های (۱۴-۵) تا (۱۶-۵) نشان دهنده این نکته می باشد.



شکل (۱۶-۵) مقایسه جابجایی های شعاعی برای گره ۲۴ در Maple و Abaqus

در نهایت در شکل (۱۷-۵) که در نزدیکی مرز می باشد دوباره کاهش مقدار جابجایی را نشان می دهد، از طرف دیگر میزان انحراف دو نرم افزار بیشتر می شود که علت آن در دلایل خطأ ذکر می گردد.



شکل (۱۶-۵) مقایسه جابجایی های شعاعی برای گره ۳۲ در Maple و Abaqus

۷-۵ دلایل خطأ:

هما نگونه که در شکل های (۷-۵) الی (۱۳-۵) دیده می شود جابجایی حاصل از کد Maple و نرم

افزار Abaqus حدود ۱۰٪ اختلاف دارند. برخی از دلایل به شرح زیر است:

۱- در تحلیل با نرم افزار Abaqus، تعریف بار متحرک ممکن نیست و ناچار بار باید شبیه سازی

گردد، در حالی که در Maple می توان بار را به صورت پیوسته تعریف کرد.

۲- Abaqus بر اساس تئوری سه بعدی الاستیسیته عمل می کند در حالی که Maple مبتنی بر

Z تئوری تغییر شکل برشی مرتبه اول است. در واقع Maple فرض می کند تغییرات جابجایی با

خطی است.

۳- خطای محاسبات عددی در هر روش به ویژه Maple موجود است در حالی که در Abaqus از

الگوریتم های بهینه در انجام محاسبات استفاده می کند.

در این پایان نامه، تحلیل دینامیکی استوانه جدار ضخیم تحت بار متحرک با استفاده از تئوری تغییر شکل برشی مرتبه اول انجام شد. واقعیت این که تحلیل استوانه، یک مسئله سه بعدی است. وقتی مسئله متقارن محوری باشد حل آن به دو بعد منجر می شود و وقتی از تئوری شکل برشی استفاده می شود حل آن به یک مسئله یک بعدی تبدیل می شود. در این پایان نامه به کمک المانهای یک بعدی (مشابه میله یا خرپا)، پاسخ دینامیکی استوانه جدار ضخیم با دقت مناسب ارائه شده و نتایج به دست آمده با حل سه بعدی به کمک نرم افزار تجاری Abaqus هم خوانی خوبی دارد. اختلاف ۱۰٪ در استفاده از تئوری مرتبه اول، در بسیاری از مقالات گزارش شده است و این خطأ، مovid این است که با یک کد تسبیتاً کوتاه و در زمان کم می توان پاسخ دینامیکی پوسته جدار ضخیم را با روش پیشنهاد شده به دست آورد. این روش برای تحلیل پوسته های جدار متغیر نیز قابل تعمیم است.

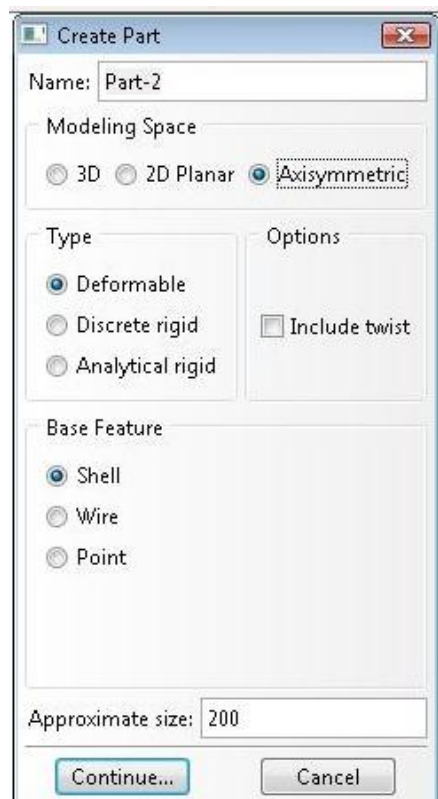
در این راستا، موارد زیر برای ادامه کار پیشنهاد می شود:

- ۱- تحلیل پوسته های کروی تحت بار دینامیکی به کمک تئوری تغییر شکل برشی.
- ۲- تحلیل پوسته های استوانه ای کامپوزیتی تحت بار متحرک به کمک تئوری تغییر شکل برشی و روش گالرکین.
- ۳- استفاده از تئوریهای مرتبه بالاتر.
- ۴- تحلیل پوسته های جدار متغیر.

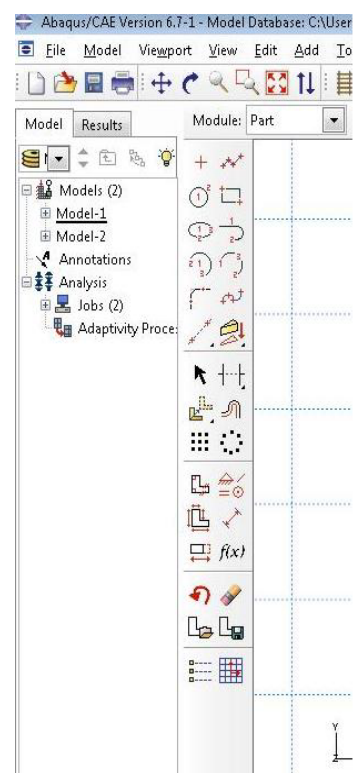
پیوست الف

مراحل تحلیل با نرم افزار Abaqus

۱: در قسمت creat part شکل شماره(الف ۱) خصوصیات کلی جسم با توجه به مسئله تعریف می گردد. پس از انتخاب در ادامه جسم ترسیم می گردد شکل شماره(الف ۲).

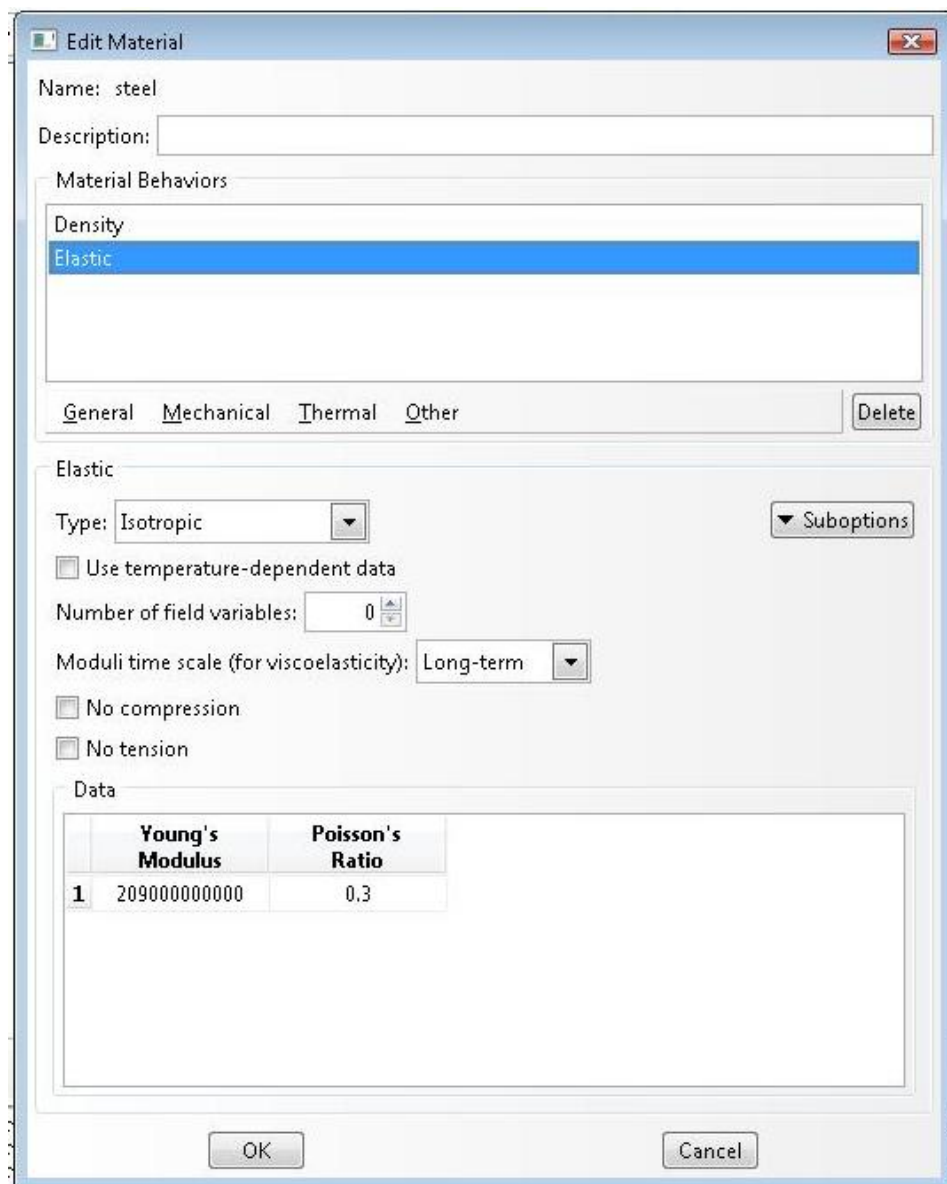


شکل(الف ۱)



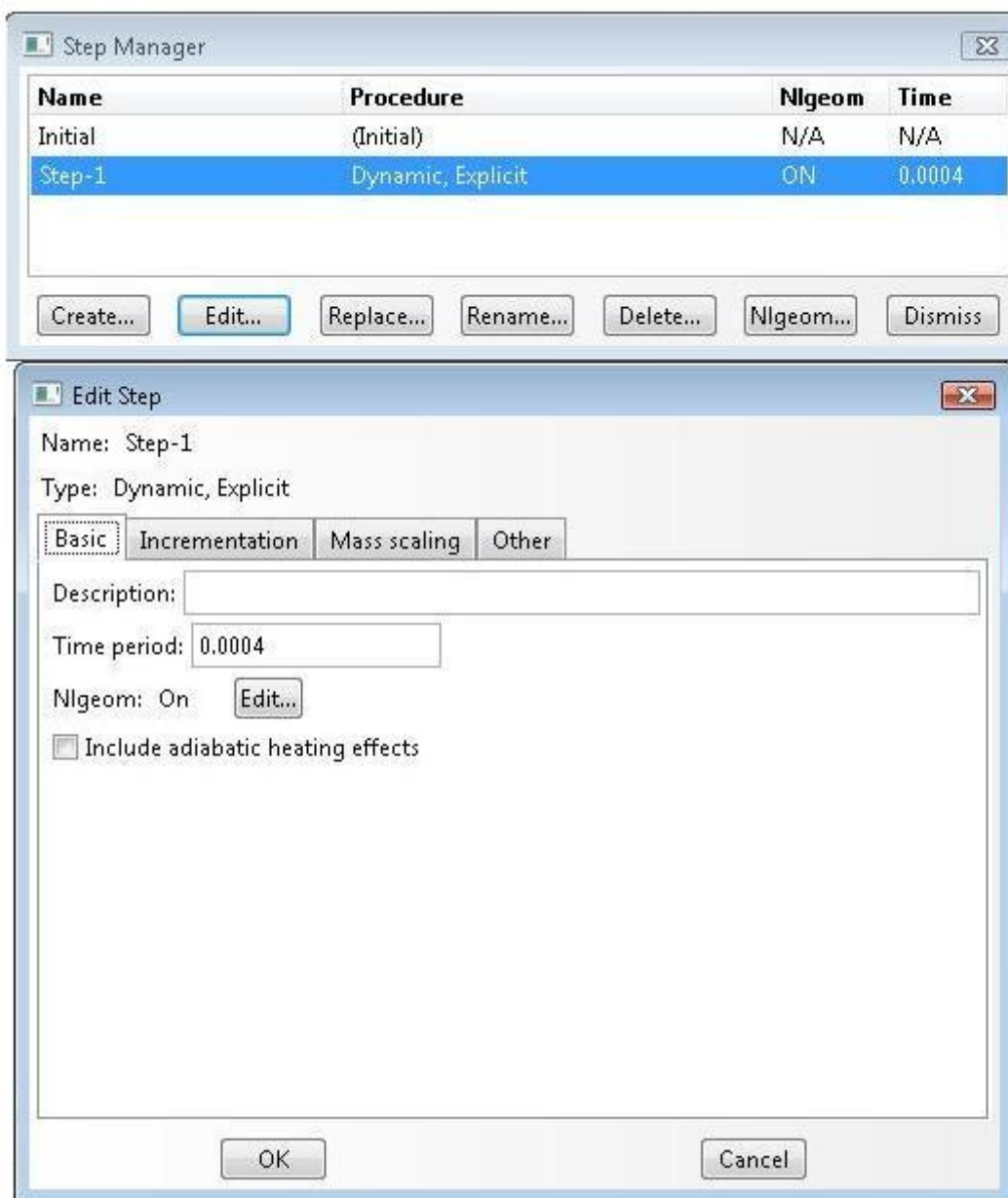
شکل(الف ۲)

۲) در قسمت property بخش Edit material خصوصیات مکانیکی جسم از قبیل مدول یانگ، ضریب پواسون، چگالی و... تعریف می‌گردد، شکل (الف ۳).



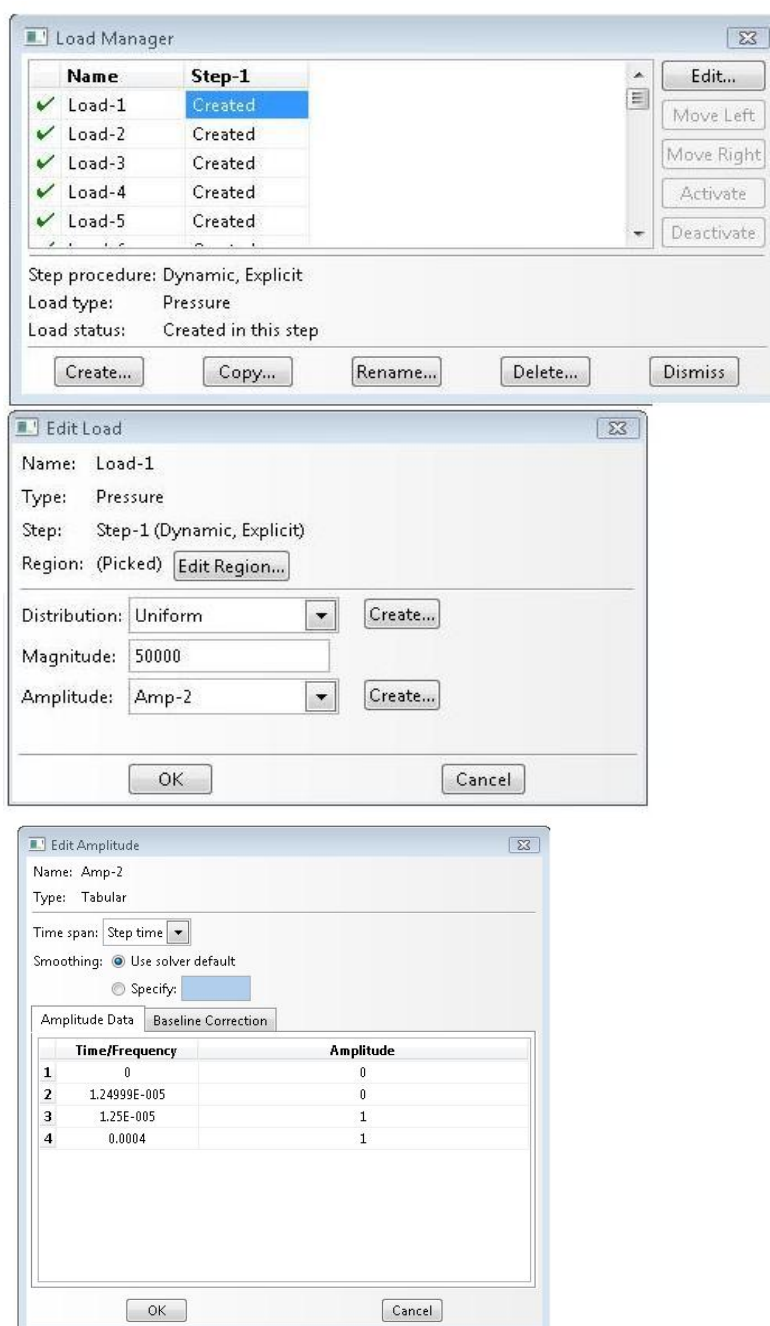
شکل (الف ۳)

(۳) بخش step manager را تعریف می کند. جایی است که زمان پریود کل، نوع رفتار(دینامیکی) و ... تعیین می گردد.(شکل الف ۴).



(شکل الف ۴)

قسمت Edit load : قسمت جایی است که مقدار فشار را برای هر دامنه بار تعریف میگردد و برای تعريف یک بار پله ای از قسمت Edit amplitude و Amplitude manager استفاده می گردد.

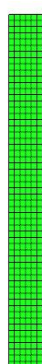
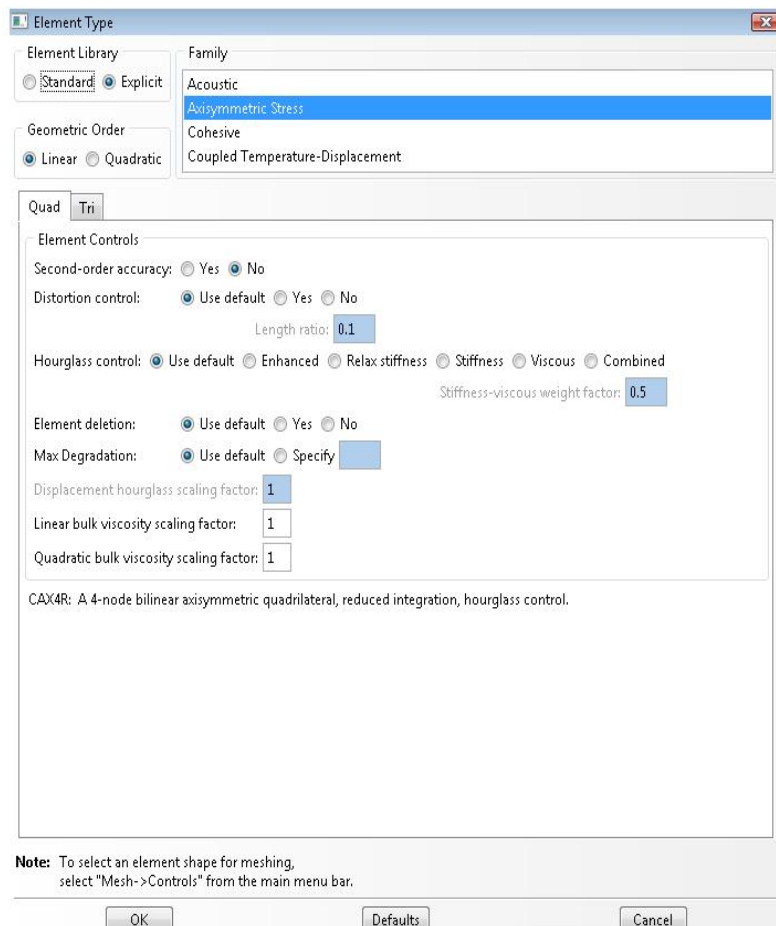


(شکل الف ۵)

۴) مش بندی: قسمت global seed و seed part instance مش بندی تعریف می

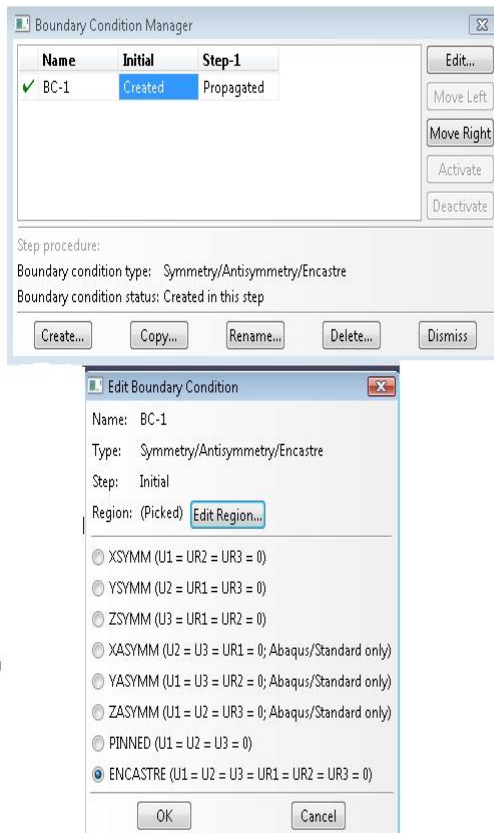
گردد. قسمت تنظیمات نوع مش بندی است که باید Linear Element type چهار گرهی انتخاب

گردد.



(شكل الف ۶)

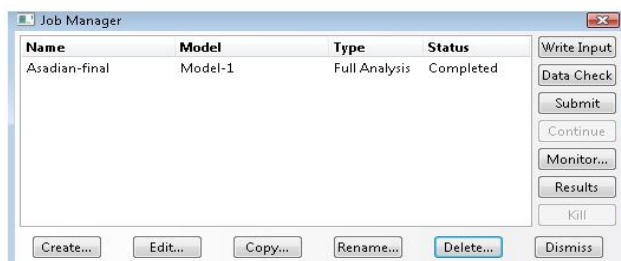
۵) جهت اعمال شرایط مرزی مسئله از قسمت Boundary condition manager استفاده می



(شکل الف ۷)

۶) با اجرای قسمت Job manager مسئله حل می گردد که پس از مشاهده پیغام completed

می توان از قسمت results نتایج را مشاهده نمود.



(شکل الف ۸)

فهرست مراجع:

- 1-A.C. Ugural,1981,Stresses in plates and shells, Mc Graw Hill
- 2-Huali,Khin,Yonglam,Teng,Yong Ng,2005,Rotating shell dynamics ,Studies in Applied Mechanics,50,Elsevier Book AID
- 3-J.P. Jones,P.G. Bhuta,1964,Response of cylindrical shell to moving load,J.Applied Mechanics, 86,105-111
- 4-K. Chadrashkhara,B.S. Kumar,1990,Analysis of a thick transversely isotropic circular shell subjected to asymmetric load,Acat Mechanica ,84,63-75
- 5-J.N. Reddy,W.C. chao1994,Acomparison of closed form and finite element solution of thick shell,Nucl-Engng Desing, 64,153,159
- 6-M. Shaker,Yas. MH ,1996,Dynamic Analysis of thick laminated circular cylindrical shell –Mechanics Acam, 96,383-387
- 7-H. Matsunaga,1998,Free vibration of thick circular cylindrical shell subjected to axial stresses,Journal of Sound and Vibration, 211,1-17
- 8-G.T. Michaltsos, 2001,Dynamic behaviour of a single-span beam subjected to load moving with variable speed, Journal of Sound and Vibration,258(2),359-372
- 9-G.T. Michaltsos, 2002 ,Vibration of beam under moving mass load,theory and experimental validation, Journal of Sound and Vibration,274,567-582
- 10-Jong-shyong wu,lieh-kwang chiang,2003,Dynamic analysis of an arch due to moving load, Journal of Sound and Vibration,259,511-534
- 11-M. Ganapathi,M. Haboussi,2003,Free vibration of thick laminated anisotropic non-circular cylindrical shell,composite structures, Journal of Sound and Vibration, 60,125-133

- 12-K.V. Valsarajan,K.S. Rao,2004,Free vibration analysis of laminated plates using higher-order shear deformation theory,IE(I)Journal-As,81,120-132
- 13-G. Nakhaie,M. Rastgaar,2004,Natural frequencies of laminated composite plates using third order shear deformation theory,Composite Structures, 72,273-279
- 14-K.V. Valsarajan,K.S. Rao,2004,Behaviour of laminated composite plates using higher-order shear deformation theory,IE(I)Journal,As,81,324-330
- 15-P.P. Lepikhin,V.A. Romashchenko,O.S. Beiner,2004, Numerical investigation of the dynamic strength of thick-walled cylindrical shells with cracklike technological defects,Journal Article , 37,55-63
- 16-I. Shufrin,M. Eisenberger,2005,Vibration of shear deformable plates with variable Thickness-first-order and highe order analyses,Journal of Sound and Vibration,290,465-489
- 17-J. Renard,A. Langlet,G. Airault,2005,Response of an infinite free plate-liquid system to moving load, Journal of Sound and Vibration,292,124-127
- 18-H. Xia,N. Zhang,W.W. Guo,2006,Analysis of resonance mechanism and conditions of train-bridge systems, Journal of Sound and Vibration,297,810-822
- 19-J.G. Teng,Y.M. Hu ,2006 ,Behaviour of FRP-jacketed circular steel tubes and cylindrical shell under axial compression, Construction and Building Material,21,827-838
- 20-P. Museros,M.D. Martinez,2007, Vibration control of simply supported beams under moving loads using fluid,viscous dampers, Journal of Sound and Vibration ,300,292-315
- 21-S. Kandasamy,Anand,V. Singh ,2006 , Transient vibration analysis of open circular cylindrical shell,J.Vib.Acoust ,128,366-375

22-P. Malekzadeh,M. Farid,P. Zahedinejad,G. Karami, 2007, Three-dimensional free vibration analysis of thick cylindrical shell resting on two –parameter elastic supports, Journal of Sound and Sibration, 313,655-675

23-I. Mirsky,G. Herrmann, 1958,Axially symmetric motion of thick cylindrical shell, J.Applied Mechanics , 25, 97-102

24-T.E. Simkins, 1992,Amplification of flexural waves in gun tube, Journal of Sound and Vibration, 172,145-154

25- G. Herrmann, I. Mirsky ,1956, Three dimensional and shell theory analysis of axially symmetric motion of cylinders, Journal of Sound and Vibration , 78, 563-568

۲۶-کلارنس ری وایلی-لوئیس سی برت ۱۹۸۵ "ریاضیات مهندسی پیشرفته "متجم:سیا مک کاظمی-موسسه انتشارات علمی دانشگاه صنعتی شریف

27- Dsouza ,A. Frank,K. Garg,1984,Advance dynamics modeling and analysis,Prentice-Hall

27-www.wikipedia.org,www.simulia.com,hellp Abaquse

۲۹-سید امیر الدین صدر نژاد ۱۳۸۰ "مقدمه ای بر روش اجزای محدود" انتشارات دانشگاه صنعتی خواجه نصیر الدین طوسی

واژگان

Acoustic	صوتی
Amplitude	دامنه
Amplification factor	ضریب تقویت دینامیکی
Analytical method	روش تحلیلی
Axisymmetric	متقارن محوری
Backward difference	تفاضل پسرو
Bending theory	تئوری خمی
Collocation method	روش نقطه یابی
Connectivity matrix	ماتریس ارتباطی
Clamped-Clamped	دوسرگیردار
Central difference predictor	تفاضل مرکزی
Concentrated force	بار متمرکز
Curved beam	تیر خمیده
Damping	استهلاک
Deflection	تغییر شکل
Dynamic response	پاسخ دینامیکی
Explicit method	روش ضمنی
First order shear deformation theory	تئوری تغییر شکل برشی مرتبه اول
Initial deflection	خیزاولیه
Implicit method	روش مستقیم
Least squared	حداقل مربعات

Membrane theory	تئوری غشایی
Mesh	شبکه، مش
Midplane	صفحه میانی
Moving load	بار متحرک
Node	گره
Numerical methods	روشهای عددی
Radial stress	تنش شعاعی
Ritz variational method	روش تغییراتی ریتز
Shell	پوسته
Shape functions	تابع شکل
Strain energy	انرژی کرنشی
Stress resultants	منتجه های تنش
Transvers shear deformation	تغییر شکل برشی عرضی
Thick walled cylinder	استوانه جدار ضخیم
Transient response	پاسخ گذرا
Two-Cycle interation with trapezoidal rule	سیکل تکرار دوگانه با روش ذوزنقه ای
Vibration	نوسان
Weighed residual method	روش باقی مانده وزنی

Abstract

In this research,**Dynamic response of an elastic thick cylindrical shell under moving load** has been evaluated. The displacement field has been considered based on the **First order shear deformation theory** and the motion equations have been derived using the Hamilton principle.These equations have been discritized with Galerkin weighted residual method. In addition by using the numerical centeral difference predictor ,the displacement has been calculated.A numerical code through the maple software has been prepared to calculate the displacements.The results of this code have been compared with the results obtained from Abaqus software .The conformity of the results show the validity of the used procedure.

Keywords: moving load, first order shear deformation theory, thick cylinder shell , dynamic response,finite element method.